



جامعة الموصل

كلية الطب البيطري

تأثير استخدام مستويات مختلفة من البسفينول أ في بعض الصفات الانتاجية والنسجية المرضية في فروج اللحم

إيمان يونس سليم العبيدي

رسالة ماجستير
الطب البيطري / أمراض دواجن

بإشراف
الأستاذ الدكتور
سيفان سعد فاضل محمود

تأثير استخدام مستويات مختلفة من البسيفينول أ في بعض الصفات الانتاجية والنسجية المرضية في فروج اللحم

رسالة تقدمت بها

إيمان يونس سليم

الى

مجلس كلية الطب البيطري قي جامعة الموصل
وهي جزء من متطلبات نيل شهادة الماجستير
في اختصاص الطب البيطري / أمراض الدواجن

بإشراف

الأستاذ الدكتور

سيفان سعد فاضل محمود

بِسْمِ اللَّهِ الرَّحْمَنِ الرَّحِيمِ

رَبِّ أَفْرِزْغَنِي أَنَّ أَشْكُرَ نِعْمَتَكَ الَّتِي أَنْعَمْتَ عَلَيَّ وَعَلَى وَالَّذِي

وَأَنْ أَعْمَلَ صَالِحًا تَرْضَاهُ وَأَذْخِلْنِي بِرَحْمَتِكَ فِي عِبَادِكَ

(الصَّالِحِينَ)

صَدَقَ اللَّهُ الْعَظِيمُ

سورة النمل الآية (١٩)

إقرار المشرف

أشهد بأن إعداد هذه الرسالة جرى تحت اشرافي في جامعة الموصل ، وهي جزء من متطلبات نيل درجة الماجستير في إختصاص الطب البيطري / أمراض الدواجن.

التوقيع :

الاسم : أ.د سيفان سعد محمود

التاريخ : ٢٠٢٢ / / م

إقرار المقوم اللغوي

أشهد بان هذه الرساله الموسومه (تأثيراستخدام مستويات مختلفة من البسفينول أ في بعض الصفات الانتاجية والنسجية المرضية في فروج اللحم) تمت مراجعتها من الناحية اللغويه وتصحيح ما ورد فيها من أخطاء لغوية وتعبيرية ، وبذلك اصبحت الرساله مؤهلة للمناقشة بقدر تعلق الأمر بسلامة الإسلوب وصحة التعبير.

التوقيع :

الاسم : أ.م.د احمد يحيى علي

التاريخ : ٢٠٢٢ / / م

إقرار رئيس فرع الامراض وامراض الدواجن البيطرية

بناءً على التوصيتين المقدمتين من قبل المشرف والمقوم اللغوي ، أرشح هذه الرساله للمناقشة.

التوقيع :

الاسم : أ.د هناء خليل اسماعيل

التاريخ : ٢٠٢٢ / / م

إقرار رئيس لجنة الدراسات العليا

بناء على التوصيات المقدمة من قبل المشرف والمقوم اللغوي ورئيس فرع الامراض وامراض الدواجن البيطرية ، أرشح هذه الرساله للمناقشة.

التوقيع :

الاسم : أ.د رعد عبد الغني السنجري

التاريخ: ٢٠٢٢ / /

إقرار لجنة المناقشة

نشهد بأننا أعضاء لجنة التقويم والمناقشة ، إطلعنا على هذه الرسالة وناقشتنا الطالبة أيمان يونس سليم في محتوياتها وفيما له علاقة بها بتاريخ / ٢٠٢٢ ، وإنها جديرة لنيل شهادة الماجستير في اختصاص أمراض الدواجن.

التوقيع

أ.م.د احمد قاسم هادي
عضو لجنة المناقشة

التوقيع

م.د وسيم حنا كرومي
عضو لجنة المناقشة

التوقيع

أ. د سيفان سعد محمود
عضو لجنة المناقشة (المشرف)

الاستاذ المتخصص الدكتور
طارق سالم قبع
رئيس لجنة المناقشة

قرار مجلس الكلية

اجتمع مجلس كلية الطب البيطري في جامعة الموصل بجلسته المنعقدة بتاريخ / ٢٠٢٢ وقرر منها درجة الماجستير في اختصاص الأمراض وأمراض الدواجن .

عميد الكلية

أ.د ظافر محمد عزيز
التاريخ : ٢٠٢٢ / /

مقرر مجلس الكلية

أ.د.برعد عبدالغبي السنجري
التاريخ : ٢٠٢٢ / /

الشكر والتقدير

الحمد لله رب العالمين والصلوة والسلام على أشرف الأنبياء والمرسلين سيدنا محمد وعلى آله وصحبه ومن تبعهم بإحسان إلى يوم الدين، وبعد

الحمد لله الذي وفقني لما أنا عليهاليوم فالفضل فضله والعطاء عطائه والمن منه.

كما اتقدم بوافر الشكر والتقدير والامتنان لعمادة كلية الطب البيطري والسيد رئيس الفرع للأمراض وأمراض الدواجن وأعضاء الهيئة التدريسية في الفرع وكافة الفروع العلمية في كلية لجهودهم الطيبة ودعمهم المتواصل طيلة فترة الدراسة.

أتقدم بالشكر الجليل والامتنان البالغ والعرفان لأستاذي ومشرفي الفاضل الدكتور سيفان سعد المحمود لإشرافه على إنجاز هذا العمل وتزويدي بكل مالديه من معلومات ومراجع شكرًا وعرفانًا.

ومن دواعي الوفاء والعرفان بالجميل أتقدم بجزيل الشكر والعرفان إلى زوجي وأفراد عائلتي لما قدموه لي من رعاية وعطف ومساندة.

مع خالص وفائي وتقديرني إلى كل يد امتدت لمساعدتي ولكل إنسان لم يدخل علي بنصيحة أو دعاء.

وعذرا إن كانت هذه السطور قد غيبت أسماء الكثيرين فذكرهم باقي لن يزول، وأسأل الله العظيم الموفقية للجميع

إيمان

الخلاصة

كان الهدف من هذه الدراسة هو التحري عن تأثيرات مستويات المختلفة للبسفينول أ البعض الانتاجية والنسجية المرضية في فروج اللحم. استخدمت في الدراسة الاولية ثمانية ذكور أفراخ فروج لحم من نوع روز بعمر يوم واحد بوزن 5 ± 35 غرام لتحديد الجرعة المميتة الوسطية للبسفينول أ عن طريق التجريغ الفموي وخلال ٢٤ ساعة، واستخدمت تقنية الصعود والنزول لهذا الغرض والتي حددت الجرعة المميتة الوسطية عند ٤١ ملغرام/كيلوغرام من وزن الجسم وبعمر يوم واحد.

استخدمت في هذه الدراسة أفراخ فروج لحم ١١٢ فرخاً من نوع روز بعمر يوم واحد، غير مجانية قسمت على أربع مجاميع (بواقع ٢٨ فرخاً لكل مجموعة)، المجموعة الأولى تركت بدون معاملة على طول مدة التجربة وعدت مجموعة السيطرة، أما المجموعة الثانية تم تجريعها فموياً بالبسفينول أ بجرعة ١٨٣,٧١ ملغرام / كغم من وزن الجسم بتركيز ٥٪ من الجرعة المميتة الوسطية والمجموعة الثالثة ٣٦٧,٤١ ملغرام/كيلوغرام من وزن الجسم بتركيز ١٠٪، والمجموعة الرابعة جرعت ٧٣٤,٨٢ ملغرام / كغم من وزن الجسم بتركيز ٢٠٪، تجريع عن طريق الفم بمعدل ثلاث مرات في الأسبوع ولمدة ثمانية وعشرون يوماً، عند بداية كل أسبوع أخذت المعايير الانتاجية مثل أوزان أفراخ أسبوعياً ولكلفة المجاميع، ثم قتل سبعة أفراخ من كل مجموعة، وجمعت عينات الدم في أنابيب لغرض قياس تركيز فيتامين د٣ وجمع الأعضاء المشمولة في الدراسة المرضية من الكبد والكلية وثبتت الأعضاء في محلول فورمالين ١٠٪ دأري متعادل، كما أخذت عينات من نسيج العضلات الصدرالرطب لغرض تقدير تركيز البسفينول أ في نسيج فروج اللحم.

أظهرت نتائج الدراسة الحالية أن معدل الوزن الأسبوعي للمجاميع المجرعة انخفض في معدل الوزن الأسبوعي بالمقارنة مع مجموعة السيطرة وفي الأسبوع كافة، باستثناء اليوم الأول لم يلاحظ أي فرق معنوي بين المجاميع المجرعة ومجموعة السيطرة.

فيما يخص تأثير البسفينول أ على معدل وزن النسبي للكبد في فروج اللحم فقد أشارت نتائج الدراسة إلى أن وزن الكبد النسبي في مجموعة السيطرة لم يسجل فروقات معنوية بينها وبين المجاميع الثلاثة المعاملة بالبسفينول أ خلال مدة التجربة.

كما لوحظت نتائج وزن النسبي للكبد خلال مدة التجربة لمجموعة السيطرة مقارنة مع المجاميع كافة لم تسجل أي فرق معنوي للمجاميع المجرعة مع المجموعة السيطرة وخلال مدة التجربة.

أشارت نتائج الدراسة الحالية إلى أن تركيز فيتامين د ٣ في المصل لوحظ ارتفاعاً معنوياً في المجاميع المجرعة بالبسفينول أ عند المقارنة مع مجموعة السيطرة في الأسبوع الأول ووجود فرق معنوي بين المجموعة الثانية والثالثة والرابعة وفي الأسبوع الثاني والثالث والرابع ومع تقدم مدة التجربة.

أما فيما يخص تركيز البسفينول أ في نسيج العضلات، أشارت النتائج إلى وجود فروقات معنوية في تركيز المادة المجرعة مابين مجموعة السيطرة والمجاميع المعاملة، إذ أوضحت مجموعة السيطرة انخفاض معنوي ولكل الأسابيع مقارنة مع المجاميع المعاملة، وأرتفاع معنوي بين المجاميع المجرعة وكل الأسابيع ومع تقدم مدة التجربة.

أشارت نتائج الدراسة المرضية النسجية إلى ظهور افات مرضية في نسيج كل من الكبد والكلية، إذ لوحظ في نسيج الكلية وجود تغيرات مرضية تنكسية في اليوم السابع مع انتشار التكيس الفجوي فضلاً عن ارتشاح بسيط للخلايا الالتهابية، وفي اليوم الرابع عشر لوحظ وجود النخر التجلطي وتورم الخلية الضبوبي، أما في اليوم الحادي والعشرين فقد لوحظ ارتشاح كثيف للخلايا الالتهابية أحادية النواة وبالأخص اللمفية مع انتشار واضح للتخر التجلطي في نسيج الكلية، أما في اليوم الثامن والعشرين فقد لوحظ التخر التجلطي منتشرًا في كامل نسيج الكلية مع تحطم في اللمة الكبيبية فضلاً عن ارتشاح الخلايا اللمفية. أما نسيج الكبد فقد أظهرت المقاطع النسيجية في اليوم السابع إلى وجود تكيس فجوي في عدد من الخلايا الكبدية، أما في اليوم الرابع عشر فقد لوحظ انتشار للتکيس الفجوي وتتخر الخلايا الكبدية حول الوريد المركزي، أما في اليوم الحادي والعشرين فقد لوحظ وجود التخر التجلطي مع ارتشاحات بسيطة للخلايا الالتهابية أحادية النواة في نسيج الكبد وحول الباحة البابية وفي اليوم الثامن والعشرين فقط لوحظ فرط تنسج القنية الصفراوية مع التكيس الفجوي في الخلايا الكبدية.

نستنتج من الدراسة الحالية أن معاملة البسفينول أ لفروج اللحم في الدواجن ولمدة ثمانية وعشرون يوماً وبحرع مختلفة وبتركيز ١٠٪ ، ٥٪ ، ٢٠٪ لمدة ثلاثة مرات أسبوعياً أحدث تغيرات في الوزن الأسبوعي لفروج اللحم ، مع وجود تغيرات مرضية نسجية في كل من نسيج الكبد والكلية ، وعدم وجود فرق بالأوزان النسبية في كل من الكبد والكلية .

فضلاً عن ارتفاع تركيز البسفينول أ في العضلات مع تقدم عمر التجربة والتي ترافقت مع ارتفاع تركيز فيتامين د ٣ في المصل مع زيادة الجرعة .

ثبُت المحتويات

| رقم الصفحة | الموضوع |
|------------|---|
| أ - ب | الخلاصة |
| ٥ - ج | ثبُت المحتويات |
| ز | ثبُت الجداول |
| ح | ثبُت الأشكال والمخططات |
| ك - ط | ثبُت الصور |
| ١ - ٣ | الفصل الأول : المقدمة |
| ٤ - ١٤ | الفصل الثاني : استعراض المراجع |
| ٤ | ١-٢ البسفينول أ وتركيبه الكيميائي |
| ٤ | ٢-٢ نظرة تاريخية عن البسفينول أ |
| ٥ | ٣-٢ الصفات الكيميائية والفيزيائية للبسفينول أ |
| ٥ | ٤-٢ أنتاجه وأستخدامه |
| ٧ | ٥-٢ مسأوى البسفينول أ |
| ٨ | ٦-٢ إليه التعرض وأمتصاص وأيضاً مادة البسفينول أ |
| ٨ | ٧-٢ التأثيرات السمية للبسفينول أ |
| ٨ | ٧-٢-١ في الإنسان |
| ٩ | ٧-٢-٢ في الحيوانات |
| ١٠ | ٣-٧-٢ في الدجاج والسمان |
| ١٠ | ٢-٨ تأثير سمية البسفينول أ على الكبد |
| ١٢ | ٥-٧-٢ تأثير سمية البسفينول أ على الكلية |
| ١٣ | ٢-٨ النشاط الحيوي للبسفينول أ |
| ١٤ | ٩-٢ تأثير البسفينول أ على فيتامين (د٣) في فروق فروج اللحم |
| ١٥ - ٢٧ | الفصل الثالث : المواد وطرق العمل |
| ١٥ | ١-٣ أفراخ الدجاج |
| ١٥ | ٢-٣ ثنائي الفينول (البسفينول أ) |

| | |
|-------|--|
| ١٦ | ٣-٣ الأجهزة والمواد المستخدمة في الدراسة الحالية |
| ١٧ | ٣-٣-١ الأجهزة المستخدمة |
| ١٧ | ٣-٢-٢ المواد والمستلزمات المستخدمة في التجربة |
| ١٨ | ٣-٣ تحضير محلول المنظم المتعادل |
| ١٨ | ٣-٤ تصميم التجارب |
| ١٨ | ٣-٥-٢ المحور الأول : تحديد الجرعة الوسطية المميتة للبسفينول أ في فروج اللحم |
| ٢٠ | ٣-٥-٣ المحور الثاني : دراسة التأثيرات المرضية والانتاجية للبسفينول أ في فروج اللحم |
| ٢٠ | ٣-٦ تصميم تجريبي لمجاميع الأفراخ المستخدمة للدراسة |
| ٢١ | ٣-٧ حساب معدل الوزن الأسبوعي |
| ٢١ | ٣-٨-٢ إجراء الصفة التشريحية |
| ٢١ | ٣-٩ العمليات النسجية المرضية |
| ٢٢ | ٣-١٠-٢ اختبار الانزيم المناعي الممتاز لتركيز البسفينول أ في نسيج عضلات الصدر |
| ٢٢ | ٣-١١-٣ مبدأ تقنية الانزيم المناعي الممتاز |
| ٢٣ | ٣-١٢-٣ المواد والأدوات المستخدمة في الفحص |
| ٢٣ | ٣-١٣-٣ خطوات الاختبار |
| ٢٤ | ٣-١٤-٣ تقدير مستوى فيتامين د _٣ (Cholcaliceferol) في المصل |
| ٢٦ | ٣-١-١٤ تقدير فيتامين د _٣ في مصل الدم |
| ٢٦ | ٣-٢-١٤-٣ خطوات العمل |
| ٢٧ | ٣-٣-١٤ الكواشف |
| ٤٢-٢٨ | الفصل الرابع : النتائج |
| ٢٨ | ٤-١ التجربة الأولى |
| ٢٩ | ٤-١-١-٤ الجرعة المستخدمة في الدراسة الحالية |
| ٢٩ | ٤-٢ معدل الزيادة الوزنية الأسبوعي لأفراخ فروج اللحم |
| ٣٠ | ٤-٣ وزن الكبد النسبي |
| ٣١ | ٤-٤ وزن الكلية النسبي |
| ٣٢ | ٤-٥ تأثير مادة البسفينول أ على تركيز فيتامين د _٣ في مصل دم فروج اللحم |
| ٣٤ | ٤-٦ تأثير البسفينول أ في نسيج عضلات فروج اللحم |

| | |
|-------|---|
| ٣٥ | ٤- التغيرات المرضية النسجية |
| ٤٦-٤٣ | الفصل الخامس : المناقشة |
| ٤٣ | ١- تأثير البسفينول أ على معدل الوزن الاسبوعي |
| ٤٣ | ٢- تأثير البسفينول أ على وزن النسبي للكبد |
| ٤٤ | ٣- تأثير مادة البسفينول أ على الوزن النسبي للكلية |
| ٤٤ | ٤- تأثير البسفينول أ على تركيز فيتامين D3 |
| ٤٥ | ٥- التغيرات المرضية النسجية في الكبد والكلية |
| ٤٨-٤٧ | الفصل السادس : الاستنتاجات والتوصيات |
| ٤٧ | ٦- الاستنتاجات |
| ٤٨ | ٧- التوصيات |
| ٧٠-٤٩ | المصادر |
| ٤٩ | أ- المصادر باللغة العربية |
| ٤٩ | ب- المصادر باللغة الانكليزية |

ثبٌثُ الجداول

| رقم الصفحة | عنوان الجدول | رقم الجدول |
|------------|--|------------|
| ١٦ | جدول الاجهزه والمواد المستخدمة في الدراسة | ١-٣ |
| ١٧ | جدول المواد والمستلزمات المستخدمة في التجربة | ٢-٣ |
| ١٩ | يبين قيمة (k) الجدولية الثابتة | ٣-٣ |
| ٢٨ | الجرعة المميتة الوسطية للبسفينول أ في افراخ فروج اللحم | ١-٤ |
| ٣٠ | تأثير البسفينول على معدل الوزن الأسبوعي في فروج اللحم | ٢-٤ |
| ٣١ | تأثير البسفينول على الوزن النسبي للكبد في فروج اللحم | ٣-٤ |
| ٣٢ | تأثير البسفينول على الوزن النسبي للكلية في فروج اللحم | ٤-٤ |
| ٣٣ | تأثير البسفينول أ على تركيز فيتامين د ٣ في مصل دم فروج اللحم | ٥-٤ |
| ٣٥ | تركيز البسفينول في نسيج عضلات فروج اللحم | ٦-٤ |

ثبت الأشكال والمخططات

| رقم الصفحة | عنوان الشكل | رقم الشكل |
|------------|--|-----------|
| ٤ | التركيب الكيميائي للبسفينول أ | ١-٢ |
| ١٣ | مسارات الجينومية والمسارات الغير جينومية | ٢-٢ |
| ١٥ | صورة لنموذج مادة ثنائي الفينول (البسفينول أ) المستخدمة | ١-٣ |
| ٢٠ | تصميم التجريبي لمجاميع الافراخ المستخدمة للدراسة | ٢-٣ |
| ٢٥ | المنحنى القياسي للبسفينول أ | ٣-٣ |

ثبت الصور

| رقم الصفحة | عنوان الصور | رقم |
|------------|---|-----|
| ٣٦ | الشكل ١-٤: مقاطع نسجية في الكلية (A) والكبد (B) لليوم ٧ في المجموعة المعاملة باستخدام ٥ % من الجرعة المميتة الوسطية للبسفينول أ، إذ يلاحظ النخر التجلطي مع انفاس خلوية (السهم)، التنسك الفجوي (السهم)، ارتشاح خلايا التهابية (السهم)، تحطم في اللمة الكبيبية مع توسيفها بشكل انفاس خلوية (السهم)، الهيماتوكتسيلين والأيوسين. ×٤٠٠. | ١-٤ |
| ٣٦ | الشكل ٢-٤: مقاطع نسجية في الكلية(A) والكبد(B) لليوم ١٤ في المجموعة المعاملة باستخدام ٥ % من الجرعة المميتة الوسطية للبسفينول أ، إذ يلاحظ النخر التجلطي مع انفاس خلوية (السهم)، التنسك الفجوي (السهم)، ارتشاح خلايا التهابية (السهم)، تحطم في اللمة الكبيبية مع توسيفها بشكل انفاس خلوية (السهم). الهيماتوكتسيلين والأيوسين. ×٤٠٠. | ٢-٤ |
| ٣٧ | الشكل ٣-٤: مقاطع نسجية في الكلية(A) والكبد (B) لليوم ٢١ في المجموعة المعاملة باستخدام ٥% من الجرعة المميتة الوسطية للبسفينول أ، إذ يلاحظ النخر التجلطي مع انفاس خلوية (السهم)، التنسك الفجوي (السهم)، ارتشاح خلايا التهابية (السهم)، تحطم في اللمة الكبيبية مع توسيفها بشكل انفاس خلوية (السهم). الهيماتوكتسيلين والأيوسين. ×٤٠٠. | ٣-٤ |
| ٣٧ | الشكل ٤-٤: مقاطع نسجية في الكلية(A) والكبد (B) لليوم ٢٨ في المجموعة المعاملة باستخدام ٥% من الجرعة المميتة الوسطية للبسفينول أ، إذ يلاحظ النخر التجلطي مع انفاس خلوية (السهم)، التنسك الفجوي (السهم)، ارتشاح خلايا التهابية (السهم)، تحطم في اللمة الكبيبية مع توسيفها بشكل انفاس خلوية (السهم). الهيماتوكتسيلين والأيوسين. ×٤٠٠. | ٤-٤ |
| ٣٨ | الشكل ٤-٥: مقاطع نسجية في الكلية (A) والكبد(B) (لليوم ٧)في المجموعة المعاملة باستخدام ١٠ % من الجرعة المميتة الوسطية للبسفينول أ، إذ يلاحظ النخر التجلطي مع انفاس خلوية (السهم)، التنسك الفجوي (السهم) ، تحطم في اللمة الكبيبية مع توسيفها بشكل انفاس خلوية (السهم)، النزف الخلالي (السهم). الهيماتوكتسيلين والأيوسين. ×٤٠٠ | ٥-٤ |

| | | |
|----|---|------|
| ٣٨ | <p>الشكل ٦-٤: مقاطع نسجية في الكلية (A) والكبد (B) لليوم ٤ في المجموعة المعاملة باستخدام ١٠٪ من الجرعة المميتة الوسطية للبسفينول أ، إذ يلاحظ النخر التجلطي مع انفاس خلوية (السهم)، التنسك الفجوي (السهم)، ارتشاح خلايا التهابية (السهم)، تحطم في اللمة الكبيبية مع توسيفها بشكل انفاس خلوية (السهم)، الهيماتوكسىلين والايوسين. ×٤٠٠</p> | ٦-٤ |
| ٣٩ | <p>الشكل ٧-٤: مقاطع نسجية في الكلية (A) والكبد (B) لليوم ٢١ في المجموعة المعاملة باستخدام ١٠٪ من الجرعة المميتة الوسطية للبسفينول أ، إذ يلاحظ النخر التجلطي مع انفاس خلوية (السهم)، التنسك الفجوي (السهم)، ارتشاح خلايا التهابية (السهم)، تحطم في اللمة الكبيبية مع توسيفها بشكل انفاس خلوية (السهم)، الهيماتوكسىلين والايوسين. ×٤٠٠</p> | ٧-٤ |
| ٣٩ | <p>الشكل ٨-٤: مقاطع نسجية في الكلية (A) والكبد (B) لليوم ٢٨ في المجموعة المعاملة باستخدام ١٠٪ من الجرعة المميتة الوسطية للبسفينول أ، إذ يلاحظ النخر التجلطي مع انفاس خلوية (السهم)، التنسك الفجوي (السهم)، ارتشاح خلايا التهابية (السهم)، تحطم في اللمة الكبيبية مع توسيفها بشكل انفاس خلوية (السهم)، النزف الخلالي (السهم)، فضلاً عن التليف (السهم). الهيماتوكسىلين والايوسين. ×٤٠٠</p> | ٨-٤ |
| ٤٠ | <p>الشكل ٩-٤: مقاطع نسجية في الكلية (A) والكبد (B) لليوم ٧ في المجموعة المعاملة باستخدام ٢٠٪ من الجرعة المميتة الوسطية للبسفينول أ، إذ يلاحظ النخر التجلطي مع انفاس خلوية (السهم)، التنسك الفجوي (السهم)، ارتشاح خلايا التهابية (السهم)، الهيماتوكسىلين والايوسين. ×٤٠٠</p> | ٩-٤ |
| ٤٠ | <p>الشكل ١٠-٤: مقاطع نسجية في الكلية (A) والكبد (B) لليوم ٢١ في المجموعة المعاملة باستخدام ٢٠٪ من الجرعة المميتة الوسطية للبسفينول أ، إذ يلاحظ النخر التجلطي مع انفاس خلوية (السهم)، التنسك الفجوي (السهم)، فضلاً عن التليف (السهم). الهيماتوكسىلين والايوسين. ×٤٠٠</p> | ١٠-٤ |
| ٤١ | <p>الشكل ١١-٤: مقاطع نسجية في الكلية (A) والكبد (B) لليوم ٢٨ في المجموعة المعاملة باستخدام ٢٠٪ من الجرعة المميتة الوسطية للبسفينول أ، إذ يلاحظ النخر التجلطي مع انفاس خلوية (السهم)، التنسك الفجوي (السهم)، ارتشاح خلايا التهابية (السهم)، تحطم في اللمة الكبيبية مع توسيفها بشكل انفاس خلوية (السهم)، النزف الخلالي (السهم)، فضلاً عن التليف (السهم). الهيماتوكسىلين والايوسين. ×٤٠٠</p> | ١١-٤ |

| | | |
|----|--|------|
| ٤١ | <p>الشكل ١٢-٤: مقاطع نسجية في الكلية (A) والكبد (B) لليوم ١٤ في المجموعة المعاملة باستخدام ٢٠٪ من الجرعة المميتة الوسطية للبسفينول أ، إذ يلاحظ النخر التجلطي مع انفاس خلوية (السهم)، التنسك الفجوري (السهم)، ارتتاح خلايا التهابية (السهم)، تحطم في اللمة الكبيبية توسفها بشكل انفاس خلوية (السهم)، النزف الخلالي (السهم)، فضلاً عن التأيف (السهم). الهيماتوكسيلين والأيوسين. ٤٠٠ ×.</p> | ١٢-٤ |
| ٤٢ | <p>الشكل ١٣-٤: مقاطع نسجية في الكلية (A) والكبد (B) للأيام ٧، ١٤، ٢١ و ٢٨ في مجموعة السيطرة، إذ يلاحظ التركيب السوي لللمة الكبيبية (السهم)، النببات الكلوية (السهم)، الخلايا الكبدية (السهم)، الوريد المركزي (السهم). الهيماتوكسيلين والأيوسين. ٤٠٠ ×.</p> | ١٣-٤ |

الفصل الأول

المقدمة

Introduction

أدى النمو السريع في عدد السكان العالم في العقود الأخيرة إلى زيادة الطلب على أماكن المعيشة ومصادر الطاقة والأمن الغذائي لما لها من تأثير على الكائنات الحية وعلى البيئة ككل، وتتدخل العديد من المواد الناتجة عن نشاط الإنسان الصناعي مع الوظائف الفسلجية لكل من الحيوان والأنسان ومن ثم تؤثر سلباً على الحالة الصحية (Khan and Ahmed, 2015). ومن أهم هذه المواد هو البسفينول أ وهو مركب كيميائي عضوي صناعي ويدعى ملوثاً بيئياً بالاسم الكيميائي 2,2 bis(4-hydroxyphenyl) propane (Michalowicz, 2014; Geens et al., 2010; Almeida et al., 2018).

تم اكتشافه لأول مرة على يد الكيميائي الروسي الكساندر ديباينن والذي يمتاز بوزن جزيئي ٢٩٨,٢٩ دالتون والصيغة الكيميائية له $C_{15}H_{16}O_2$ (Corrales et al., 2015). إذ يتم تصنيعه باستخدام تفاعل كيميائي يعمل من خلال تكثيف الفينول مع الأسيتون في وجود محفز حمضي (Geens et al., 2012). يتم إنتاجها على نطاق واسع في العالم ليدخل في صناعة العديد من المنتجات الاستهلاكية، بما في ذلك مواد التعبئة والتغليف مثل إنتاج القفافي البلاستيكية للمياه، ومستحضرات التجميل، والأصباغ، والورق الحراري ، ومانع تسرب المياه والرطوبة (Fleisch et al., 2010; Liao and Kannan , 2013) وفي علبة حفظ الأغذية (Vandenberg , 2010).

كما تدخل مادة البسفينول أ كمواد مضافة إلى صناعة راتنجات الإيبوكسي ومتعدد الكاربونات البلاستيكية للمنتجات الاستهلاكية الصناعية والطبية بما في ذلك علب الأدوية واللقاحات والأجهزة الطبية وفي بطانية معلبات المواد الغذائية (Greiner et al., 2007; Fahrenkopf and Rubin et al., 2001) كما يستخدم في تغليف خزانات المياه (Wagner, 2020).

كما يدخل بشكل أساسي في صناعة المواد البلاستيكية المستخدم في حقول الدواجن في حاويات العلف والمياه (Eldefrawy et al., 2021). تم استخدامه البسفينول أ بشكل واسع ومتزايد ومستمر منذ عام ١٩٤٠ في صناعة المواد البلاستيكية لما له من خصائص ذات قيمة

عالية لكونه يعطي مرونة وقدرة على التحمل وطول العمر للمواد التي يدخل في صناعتها (Greiner *et al.*, 2007; Rubin *et al.*, 2001) ، فضلاً عن مقاومته للكسر ودرجة الحرارة العالية عند إضافته إلى البولي كاربونات البلاستيكية وراتنجات الأيبوكسي إليه (Bondesson *et al.*, 2009)

وصل إنتاج البسفينول أ في العام ٢٠١٣ إلى أكثر من ٣.١ مليون طن (Cabaton *et al.*, 2013). ويتميز البسفينول أ بأنه لا يرتبط بأصارة تساهمية مع المواد المضاف إليها وهذا أدى إلى تحرره بمرور الوقت وبالخصوص بعد الاستخدام المستمر والتعرض إلى أشعة الشمس المباشرة أو عند التعرض لدرجات الحرارة الأكثـر من ٢٧ درجة مئوية أو عند إضافته في بيئـة ذات أس حامضي أقل من أربعة درجات (Cimmino *et al.*, 2019; Vandenberg *et al.*, 2007) وبنـدـلـكـ يـكـونـ تـحـرـرـهـ مـنـ الـمـوـادـ الـمـرـتـبـطـ مـعـهـ سـهـلـاـ جـداـ وـيـسـبـبـ التـلـوـثـ الـبـيـئـيـ لـكـلـ مـنـ الـهـوـاءـ وـالـتـرـبـةـ وـالـمـيـاهـ الـمـلـامـسـةـ لـهـ وـالـتـيـ تـعـدـ بـدـورـهـ مـصـدـرـاـ إـضـافـيـاـ إـلـاـ حـادـثـ التـسـمـ (Kang *et al.*, 2006) ومن المثير للاهتمام أن البسفينول أ قد يستخدم في منتصف القرن العشرين كمحفز للنمو في صناعـاتـ الـماـشـيـةـ وـالـدـواـجـنـ وـلـكـنـ أـثـبـتـ الـدـرـاسـاتـ تـأـثـرـاتـ السـمـيـةـ لـلـإـنـسـانـ لـاحـقاـ،ـ (Erler and Novak, 2010)،ـ إذـ سـبـبـ زـيـادـةـ فـيـ الإـجـهـادـ التـأـكـسـدـيـ (Oxidative stress)،ـ المرـتـبـطـ بـارـتـقـاعـ إـنـتـاجـ الجـذـورـ الـحـرـةـ (ROS)ـ (Rahman *et al.*, 2016; Rahman *et al.*, 2020)ـ يـرـتـبـطـ التـعـرـضـ لـلـبـسـفـيـنـوـلـ أـ فـيـ إـلـاـنـسـانـ بـأـمـرـاضـ القـلـبـ وـالـأـوـعـيـةـ الـدـمـوـيـةـ،ـ وـتـشـوـهـاتـ فـيـ نـمـوـ الدـمـاغـ وـالـسـمـنـةـ،ـ وـإـرـتـقـاعـ ضـغـطـ الدـمـ،ـ وـعـطـلـ فـيـ وـظـائـفـ الـغـدـةـ الـدـرـقـيـةـ،ـ مـرـضـ السـكـرـيـ،ـ وـسـرـطـانـ الثـديـ فـيـ الـأـشـخـاصـ الـبـالـغـيـنـ وـالـأـطـفـالـ عـلـىـ حدـ سـوـاءـ (Rochester, 2013).ـ كـمـ يـتـدـاـخـلـ فـيـ سـمـيـتـهـ مـنـ خـالـلـ تـدـاـخـلـ عـمـلـهـ مـعـ عـلـمـ الـغـدـدـ الصـماءـ مـحـدـثـاـ اـضـطـرـابـاتـ تـنـاسـلـيـةـ وـسـلـوكـيـةـ فـيـ الـحـيـوانـاتـ (Rogers, 2021).

تـعـدـ لـحـومـ الـدـواـجـنـ هـيـ إـحـدـىـ الـمـنـتـجـاتـ الـحـيـوـانـيـةـ الـأـكـثـرـ اـسـتـهـلاـكـاـ نـظـرـاـ لـاحـتوـائـهـ عـلـىـ الـقـلـيلـ مـنـ الـدـهـونـ وـالـبـرـوتـيـنـاتـ حـيـوـانـيـةـ الـمـنـشـأـ وـذـاتـ قـيـمـةـ غـذـائـيـةـ عـالـيـةـ،ـ لـلـفـيـتـامـنـاتـ وـالـمـعـادـنـ فـضـلـاـ عـنـ إـنـتـاجـ هـذـهـ الـلـحـومـ بـمـدـةـ زـمـنـيـةـ قـصـيرـةـ،ـ وـبـشـكـلـ سـهـلـ وـغـيرـ مـكـلـفـ نـسـبـيـاـ مـقـارـنـةـ بـالـلـحـومـ الـحـمـراءـ (Barbut, 2002).

لـوـحظـ وـجـودـ عـدـدـ مـنـ الـدـرـاسـاتـ السـابـقـةـ عـنـ تـأـثـيرـ الـبـسـفـيـنـوـلـ أـ فـيـ الـحـيـوانـاتـ الـمـخـتـلـفـةـ وـاجـنتـهاـ إـلـاـ أـنـ هـذـهـ الـدـرـاسـاتـ لـمـ تـتـنـاـوـلـ بـشـكـلـ مـباـشـرـ تـأـثـيرـ مـادـةـ الـبـسـفـيـنـوـلـ أـ عـلـىـ الدـجاجـ وـالـتـأـثـيرـاتـ النـسـجـيـةـ فـيـ الـكـبدـ وـالـكـلـيـةـ وـتـأـثـيرـهـ بـجـرـعـةـ أـقـلـ مـنـ الـجـرـعـةـ الـمـمـيـتـةـ الـوـسـطـيـةـ فـيـ إـنـتـاجـيـةـ الـدـواـجـنـ.

اهداف الدراسة :

تحديد الجرعة المميتة الوسطية للبسفينول أ في فروج اللحم وتأثير الجرعات المختلفة من المادة على فروج اللحم من خلال المعايير الآتية :

١. الوزن لفروج اللحم .
٢. الوزن النسبي لبعض الاعضاء الداخلية (الكبد والكلية) .
٣. تركيز فيتامين د٣ في المصل الدم .
٤. تركيز البسفينول أ في نسيج عضلات فروج اللحم .
٥. دراسة التغيرات المرضية والنسجية في نسيج الكبد والكلية .

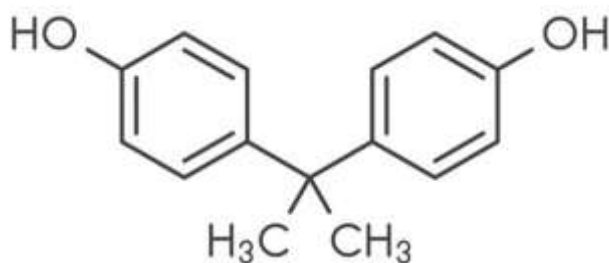
الفصل الثاني

استعراض المراجع

Literatures Review

١-١ : البسفينول أ وتركيبه الكيميائي

البسفينول أ (Bisphenol A- BPA) مركب كيميائي يعرف بالاسم الكيميائي -4,4'-bis(4-hydroxy phenyl) propane صيغته الكيميائية $C_{15}H_{16}O_2$ حاوي على مجموعتين هيدروكسي فينيل (Ranjit *et al.*, 2010) . يدخل في صناعة راتجات الايبوكسي ومتعدد الكاربونات وهو مركب صلب أبيض اللون (Hoekstra and Simoneau, 2013; Flint *et al.*, 2012).



bisphenol A

الشكل ١-٢ : التركيب الكيميائي للبسفينول أ (Wang *et al.*, 2020)

٢-٢ : نظرة تاريخية عن البسفينول أ

في عام ١٨٩١ تم اكتشاف البسفينول أ من قبل الكيميائي الروسي الكساندر ديانين، إذ يتم تصنيعه باستخدام تفاعل كيميائي يعمل من خلال تكثيف الفينول مع الأسيتون في وجود محفز حمضي (Das *et al.*, 2004). وظهرت أول لمنشورات العلمية عن البسفينول أ في عام ١٩٠٥ ونشرت باسم الكيميائي ثوماس زنك الذي كان يعمل في جامعة ماربورغ في المانيا (Thomas Zinck, 1905). وفي عام ١٩٥٠ إستخدام هذا المركب في صناعة البلاستيك متعدد الكاربون، وفي الصمغ الايبوكسي الذي يغلف علبة الأغذية (Markis *et al.*, 2013).

وقد قام британский исследователь Карлос Волкель (Volkel *et al.*, 2002) بالكشف عن خصائصه الإستروجينية في بداية الثلثينيات من القرن العشرين، وفي عام ١٩٧٧ تم الاشارة إلى أول تأثير ضار للجرع المنخفضة من البسفينول أ على صحة الإنسان (Volkel *et al.*, 2002)، إذ تم تجريب ستة اشخاص متقطعين بجرعة منخفضة من البسفينول (٥ ملagram/كيلوغرام) أ ليتحول في الكبد إلى – BPA glucoronid ثم يطرح مع الإدرار، وقد سبب اضطرابات آيضية وفي عملية التمثيل الغذائي لتأثيره الضار على خلايا البنكرياس وإنخفاض افراز الانسولين وأيضاً الكلولوز في الجسم (Almeida *et al.*, 2018).

وفي عام ١٩٩٣ تم اكتشاف إرتشاح البسفينول أ من عبوات المتعدد الكربون التي يتم تعقيمهها في المؤصلة والاعتقاد بأن له علاقة في ارتفاع نسبة الإصابات السرطانية للثدي في الإنسان (Krishnan *et al.*, 1993; Ikezuki *et al.*, 2002).

٢-٣: الصفات الكيميائية والفيزيائية للبسفينول أ

بعد البسفينول أ مركب صناعي صلب ذو لون أبيض يذوب في الماء ويذوب بشدة في المذيبات العضوية والحامضية والقلويات والمنظفات (Staples *et al.*, 1998)، والبسفينول أ يحتوي على مجموعتان وظيفيتين من الهيدروكسي فينول تسمحان للبسفينول بالتفاعل مع مستقبلات هرمون الاستروجين والأندروجين (Michałowicz, 2014). لا يتآكسد البسفينول أ ضوئياً مما يمنحه القدرة على الحماية من التاكل لذلك يدخل في حفظ المنتوجات الغذائية المعلبة وتغليف المواد الغذائية البلاستيكية، وتغليف المواد الغذائية مثل مسحوق الخبز والحبوب والخميرة (Bowes and Halden, 2019).

٢-٤: إنتاجه وإستخدامه

ينتشر استخدام البسفينول أ في جميع أنحاء العالم بسبب الاستخدام الكبير له في صناعة المواد البلاستيكية إذ وصل إنتاجه العالمي إلى مليون طن في العام ١٩٨٠ (Fiege *et al.*, 2000). وفي عام ٢٠٠٩ بلغ إنتاجه ٢.٢ مليون طن (EDE, 2010). إذ ان انتاج واستخدام هذه المادة مستمر ومتزايد بشكل مضطرب إذ وصل إنتاجه ٧.٧ مليون طن عام ٢٠١٥ ومن الممكن يصل إلى ١٠٦ مليون طن في عام ٢٠٢٢ (Lehmller *et al.*, 2018).

يدخل في الصناعة البلاستيكية الشائعة بصورة عامة مثل علبة الأدوية واللقاحات وأنابيب المياه المعدنية وقناني المياه وغيرها (Huang *et al.*, 2012). كما يستخدم البسفينول أ كمبيد للفطريات في الزراعة (Watanabe *et al.*, 2003).

من خصائص هذه المادة والتي جعلتها تستعمل على نطاق واسع في انتاج اللدائن البلاستيكية أنها تكون أكثر مرنة ومقاومة للتكسر من باقي المواد الداخلة في صناعة المواد البلاستيكية وبالأخص في قناني وأنابيب المياه ويستخدم متعدد الكاربونات في صناعة المنتجات البلاستيكية الشائعة الاستخدام (Hoekstra and Simoneau, 2013; Mustatfa and Nasser, 2017) كما يدخل في تركيب حشوات الاسنان كمادة مانعة للتسرب وكذلك في صناعة العدسات والاجهزه الطبية والورق الحراري وكطلاء داخلي ويستخدم لحفظ الأطعمة والمشروبات (Ayazgok *et al.*, 2017; Fic, *et al.*, 2013; Lee *et al.*, 2013; Qiu, *et al.*, 2018; kazemi *et al.*, 2017) بعد البسيفينول أ من المواد التي عدت مؤخرأً من المواد ذات العلاقة بالسمية في الانسان (Zeinab *et al.*, 2012). ولها محاذير سمية على الكائنات الحية منها الإنسان والحيوان لذلك تم التقليل من إستخدامه في الاتحاد الأوروبي وفرنسا وكندا بعد سنة 2008، فضلاً عن إجبار الشركات المصنعة للمواد البلاستيكية والتي تدخل في الصناعات الطبية الى البحث عن بدائل له (Fouyet *et al.*, 2021).

ومن هذه البدائل Sulfone bis(4-hydroxyphenyl) (BPS) من المركبات الكيميائية العضوية (Lee *et al.*, 2013) ذات وزن جزيئي ٢٧٠,٢٧ دالتون (Zenata *et al.*, 2017) ومن مميزاته ذات ثبات واستقرار لدرجات الحرارة العالية ومقاوم لأشعة الشمس أكثر من البسيفينول أ (Skledar *et al.*, 2016) في العديد من المنتجات الاستهلاكية كبديل للبسيفينول أ (BPA)، حيث يستخدم بشكل شائع في انتاج الورق الحراري (Skledar *et al.*, 2016) وعلبة حفظ الاغذية والفواكه (Mokra *et al.*, 2017). كما اثبت وجوده في مياه الصرف الصحي (Rochester *et al.*, 2015; Macczak *et al.*, 2017).

ومن البدائل الاخرى هو BPF bis(4-hydroxyphenyl) Methane، حيث كذلك يعتبر من المركبات الكيميائية العضوية يعرف بالنظير الاستخدام (BPA) يمتاز بوزن جزيئي ٢٣,٢٠٠ دالتون ويستخدم في صناعة راتنجات البولي كاربونات (Qiu *et al.*, 2018; Fic *et al.*, 2013) بالإضافة الى ذلك يدخل بشكل خاص في الادوات التي تستعمل في زيادة القوة والمثانة مثل راتنجات الايبوكسي والطلاءات (Qiu *et al.*, 2018). كما اظهرت دراسة حديثاً الى وجود تراكم لهذه المركب في الأدرار الانسان (Mokra *et al.*, 2017). كما أوضحت الدراسات لي وجود تشابه في التركيب الكيميائي لكل من (BPS) و(BPF)، تعتبر مركبات سامة للكائنات الحية مثل (BPA). كما اشارت الدراسات أن (BPF) يسبب سمية حادة الى معتدلة ونشاط استروجين ضعيف (Qiu *et al.*, 2018)، وفي دراسة اجريت على جسم الكائن الحي اشارت الى فعاليته الاستروجينية ، والاندروجينية وله تأثيرات فسيولوجية كيميائية حيوية أخرى

ولكن اظهرت هذه البذائل تأثيرات متماثلة لتلك التي يسببها البسفينول أ من سمية للجينات والدخول بعمل الغدد الصماء ولكنها تميّز بالثبات عند درجات الحرارة العالية (Frenzilli *et al.*, 2021)

٢-٥: مساوى مادة البسفينول أ

الاستخدام الواسع النطاق للبسفينول أ أدى إلى تلوث بيئي واسع وتعرض الإنسان والحياة البرية إلى تأثيراته الضارة (Corrales *et al.*, 2015). إذ ان ارتفاع درجة الحرارة إلى ٢٧ درجة مئوية او التعرض لمحيط حامضي يعمل على زيادة تحرر البسفينول أ من المنتجات البلاستيكية (Liao and Kannan, 2013).

ويعد المحيط من الأماكن التي حصل فيها التلوث بالبسفينول أ بسبب رمي المخلفات البلاستيكية في المياه أو الهواء المنبعث من المصانع المنتجة للمواد البلاستيكية أو من خلال رمي فضلات تلك المعامل في المياه ومصادرها بشكل مباشر (Riberio *et al.*, 2017).

وقد أجريت دراسة حول تحليل مكونات أحد علب الاغذية والمشروبات الحاوية على مادة البسفينول أ وجد في مكوناتها نسبة البسفينول أ يفوق الحد الأدنى المسموح به للتعرض لهذه المادة، وقد تم إثبات تراكيز عالية لمادة البسفينول أ في الاغذية المعلبة من الاغذية الطازجة (Yonekubo *et al.*, 2008). كما أوضحت دراسات عديدة بأن تحرير مادة البسفينول أ الدالة في صناعة البولي كاربونات وراتجات الإيبوكسي إلى الاغذية ومياه الشرب عن طريق الكشف عن وجود مادة البسفينول أ بكميات كبيرة في المواد الغذائية منها اللحوم والأسماك والفاكه والخضروات والحبوب (Shao *et al.*, 2007; Munguia-Lopez *et al.*, 2005; Yoshida *et al.*, 2001; Niu *et al.*, 2012) كما وجدت مادة البسفينول أ في عينات الحليب المعلبة (O'Mahony *et al.*, 2013).

٢-٦: آلية التعرض وامتصاص وايضاً مادة البسفينول أ

اشارت الدراسات منذ عام ٢٠٠٢ أن من الاليات امتصاص مادة البسفينول أ عندما يدخل إلى الجسم وعن طريق الجهاز الهضمي يتم امتصاصه بسرعة ويكون استقلابه في الكبد والامعاء يطرح معظم (BPA) المبتلع مع الأدرار على شكل مستقلبات نشطة من ثنائي الفينول أ glucuronide و ثنائي الفينول أ sulphate (Dekant and Volkel., 2008). وتنتمي هذه العملية خلال ٦ ساعات ولكن يتم التخلص مادة البسفينول أ بشكل كامل خلال ٢٤ ساعات ،

ولتقييم مستوى تركيز هذه المادة عن طريق الأدرار والدم ويسبب طرحها من الجسم والمأكولة عن طريق الطعام والشراب (Vandenberg *et al.*, 2010).

توجد ثلاثة آليات لدخول مادة البسفينول أ يتم امتصاص البسفينول أ عن طريق الجهاز الهضمي وينتقل إلى الدورة الدموية مباشرة ثم الكبد إذ يتم أيضًا ليتحول إلى مركب BPA-glucuronide (Yang *et al.*, 2015). وعند حقن مادة البسفينول أ تحت الجلد والتجميف البروتوني يدخل إلى الدم بشكل BPA-glucuronide ثم يطرح خارج الجسم عن طريق الإدرار وخلال نصف ساعة (Dekant and Volkel 2008; Volkel *et al.*, 2002).

إن مسار دخول البسفينول أ من الجهاز الهضمي أو الجلد أو الجهاز التنفسي إلى سائل الدم غير معروف لحد الان (Flint *et al.*, 2012). كما إن إعطاء البسفينول أ فموياً يكون ذو تأثير أقل من إعطائه عن طريق الحقن تحت الجلد (Tominaga *et al.*, 2006).

إن التعرض لهذه المادة ازداد في الآونة الأخيرة بسبب زيادة إنتاج هذه المادة بشكل مستمر إبتداءً من مصانع المنتجة للمواد البلاستيكية والهواء المستنشق والمنبعث بالإضافة إلى العاملين في تصنيع مادة البسفينول أ وراتنجات الأيبوكسي (Yonghua *et al.*, 2009). إذ كان تعرض العمال لهذه المادة بشكل كبير عن طريق الاستنشاق ولامسته للجلد، عادة ما يرتفع مستوى هذه المادة في الأدرار لدى العمال المعرضين للبسفينول أ، كما إجريت دراسة على العمال المعرضين لهذه المادة حيث أظهرت أن نصفهم يعانون من أعراض التهاب الجلد (Chu *et al.*, 2006).

٧-٢: التأثيرات السمية للبسفينول أ

١-٧-٢: في الإنسان

إن النظام الغذائي هو الطريق الحاسم للتعرض للبسفينول أ (Cichna, 2012). يدخل البسفينول أ إلى الأطعمة بشكل اساسي من خلال تحرره من بطانة المشروبات وعلبة الطعام وتحصل عملية التلوث للأطعمة أثناء عملية الانتاج والمعاملة والتعبئة والنقل (Chen *et al.*, 2016) ، كما ربطت الابحاث بين الشرب من قاني البولي كاربونات وزيادة تركيز البسفينول أ في الأدرار (Carwile, *et al.*, 2009).

تم الكشف عن وجود البسفينول أ بكميات عالية في عينات الدم والبول والأنسجة وال بلازما المأكولة من الإنسان (Vandenberg *et al.*, 2007).

إن زيادة التعرض للبسفينول لها مخاطر عديدة منها السمنة والسكري وامراض القلب (Desai *et al.*, 2018; Teppala *et al.*, 2012)

وفي الآونة الأخيرة تمت دراسات عديدة والمكثفة تشير إلى ضرورة تقدير الجرعة الضارة وتحديد نسبتها لما لها من اضرار مسخية ومسرطنة وأضطرابات في الغدد الصماء ولضمان سلامة المواد الملمسة للأغذية.

وضع الاتحاد الأوروبي قيوداً على الاستخدام وتم تحديد الحد المقبول به من قبل الاتحاد الأوروبي في الغذاء 0.6 ملغم / كغم غذاء (ECD, 2011). وقد اعتمدت هيئة السلامة الأوروبية الحد الأقصى المقبول من البسفينول أ عند 4 ميكروغرام / كغم من وزن الجسم يومياً (EFSA, 2015) ومن الجدير بالذكر تؤثر مادة البسفينول أ على صحة الإنسان حتى عند التراكيز التي عدت آمنة حالياً (Tonini *et al.*, 2021).

ان لمادة البسفينول أ تأثيراً ضاراً على النسل النامي بسب عبوره المشيمة والسائل الامنيوسي الى الجنين اثناء فترة الحمل (Vandenberg *et al.*, 2012). كما وضحت احدى الدراسات للأجنة والنسل النامي أكثر عرضة لهذه المادة من الكائنات الحية البالغة بسب انخفاض نشاط الانزيمات المرتبطة بهذا المركب (Geens *et al.*, 2009).

ينتقل البسفينول أ من الأم الى النسل عن طريق الانتقال داخل الرحم اثناء التطور الجنيني قبل الولادة وعن طريق الرضاعة الطبيعية خلال مدة الولادة المبكرة (Reddivari *et al.*, 2017) يرتبط التعرض لمادة البسفينول أ بأمراض القلب والأوعية الدموية والسمنة، وأنفاس ضغط الدم، واظطراب الغدة الدرقية، والسكري، وأورام الثدي، والعقم، في الإنسان، والحيوانات البرية والمائية (Rochester., 2013).

٢-٧-٢: في الحيوانات

في القوارض يتم التعرض للبسفينول أ اثناء التطور المبكر محدثاً آثاراً ضارة طويلة المدى مثل تغير في الغدد التناسلية والرحم وقناة البيض (Newbold *et al.*, 2007; Williams *et al.*, 2014) وعند تعرض الفقريات التي تضع البيض مثل اسماك الزبرة والبرمائيات والدجاج للبسفينول أ اثناء التمايز الجنسي يحصل تغير في شكل الخصية والخناثة (Chen *et al.*, 2017; Tamschick *et al.*, 2016).

كما أن التعرض لمادة البسفينول أ قبل الولادة وبجرعة منخفضة يؤثر على الأعضاء التناسلية لذكور الجرذان والفئران مما يسبب ارتفاعاً في حجم البروستات وانخفاض حجم البربخ والإنتاج اليومي للحيوانات المنوية، فضلاً عن اضطراب في الإفرازات الهرمونية من خلايا ليدج وسرتولي (Tohei *et al.*, 2001). كما توصل الباحثون ان التعرض لهذه المادة طوال الحياة الجنينية وأثناء مدة الطفولة يحفز الإجهاد التأكسدي للأنسجة، مما يؤدي في النهاية الى تلف

الدماغ والكلى والخصية في الفئران (Kabuto *et al.*, 2004). كما يقلل من مستويات الانزيمات المضادة للاكسدة في كبد ذكور الجرذان (Bindhumol *et al.*, 2003). كما لوحظ انخفاض الخصوبة في ابقار الحلوبي في السنوات الاخيرة ناتجاً عن العديد من العوامل، ولكن هناك أدلة على أن الفشل التناسلي في حيوانات المزرعة قد يكون نتيجة للتعرض الحاد أو الطويل الامد للمواد الكيميائية المسببة لاضطرابات الغدد الصماء مسببة تعطل الأستروجين ويعتبر من الهرمونات ضروري لتكاثر في الأنثى . ومن هذه المواد هو البسفينول أ (BPA) حيث تسبب زيادة في حدوث تكيس المبايض (Fortune and Yang , 2011).

٢-٣-٧-٢: في الدجاج والسمان

توصلت دراسة حول تأثير البسفينول أ على أجنة الأفراخ إلى إنخفاض كبير في مستوى الدهون والبروتين (Sadighara *et al.*, 2013). أجريت دراسة على بيض الدجاج بعد أن تم حقنه بمادة البسفينول أ إذ لوحظ إنخفاض نسبة الفقس مع حصول تشوهات في الأعضاء التناسلية للأجنة الفاقدة أو الناقفة (Sashihara *et al.*, 2003). وإشارة دراسة أخرى أن الأفراخ الفاقدة والمعرضة للبسفينول أ خلال مدة الفقس تكون أكثر حساسية للهرمونات الأستروجينية من غيرها من الأفراخ (Bern, 1992). أما في الطيور فتكون مرحلة الحياة الجنينية المبكرة مرتبطة بالهرمونات، إذ يمكن لهرمون الأستروجين الخارجي أن يؤثر العدد التناسلي لأجنة الذكور، إذ إن التعرض للبسفينول أ يحدث تأثيرات شبيهة بالإستروجين، مثل تأثير الخصية اليسرى وانخفاض سمك قشرة البيض في أجنة الدجاج، وكذلك تشوهات في قناة مولر ovoteties في إناث أجنة السمان فضلاً عن العثور على تراكيز عالية من البسفينول أ في الطيور البرية (Berg *et al.*, 2001; JessI *et al.*, 2018b). اظهرت الدراسة للطيور المعاملة بمادة البسفينول أ مظهراً غير ناضج للخصية مع أنابيب منوية صغيرة ومحوددة في تكوين الحيوانات المنوية ، كما تشير هذه النتائج عن تأثير البسفينول أ لخاصية الأستروجين والتي بدورها تعطل نمو العرف والخصيتين عند الذكور من خلال آلية اضطرابات الغدد الصماء (Fueuya *et al.*, 2003).

٢-٨: تأثير سمية البسفينول أ على الكبد

الكبد يعد من الأعضاء المهمة في جسم الكائن الحي بوصفه مصفاة لجميع المواد الداخلة إلى الجسم حيث تتأثر خلاياه نسحياً ووظيفياً (Jaeschke, 2008) ، إذ ثبت أن مادة البسفينول أ من المواد التي تتسبب في تلف خلايا الكبد بسبب الاجهاد التاكسدي (Oxidative stress) والى انخفاض كبير في أنزيمات مضادات الأكسدة وانخفاض مستوى الكلوتاثيلون (GSH)

glutathione ، وان زيادة في إعطاء جرعة مادة البسفينول أ تؤدي إلى زيادة كبيرة في مستويات أنزيمات الكبد أنخفاض في نشاط الجينات المضادة للأكسدة في أنسجة الكبد الذي تسببه السمية الكبدية (Zeinab *et al.*, 2012). وقد لوحظ ان الجرعة المنخفضة من مادة البسفينول أ تسبب تلف خلايا الكبد مما يؤدي خلال الوظيفي للمتوكندريا ويؤدي إلى إنتاج الجذور الحرة للأوكسجين (ROS) reactive oxygen species (Moon *et al.*, 2012).

حيث يلعب الكبد دوراً مهماً في السيطرة على العديد من العملية الفسيولوجية للجسم ونتيجة لذلك فإنه له دوراً مهم في القضاء على مادة البسفينول أ المبتلة حيث عند دخول مادة البسفينول أ النشط والغير مقترب عن طريق الفم ، فإنه يتحدى بسرعة في الكبد ويتم التخلص منه لاحقاً عن طريق الصفراء أو الأدرار(Ginsberg and Rice, 2009) فضلاً عن وجود إنزيم - β -glucuronidase في العديد من الأنسجة وقدر على تفكك هذه المادة (Ginsberg, and Rice, 2009) . كما اشارت دراسات حديثة أن معظم مادة البسفينول أ في البلازما مرتبطة ببروتين المصل وأن تراكم البسفينول أ أعلى بثلاث مرات في الدهون مقارنة بالأنسجة الأخرى (Csandy *et al.*, 2002) . كما أن إعطاء (BPA) للحيوانات يكون مرتبطاً بتغيير مستويات الدهون في الدم وهذا يتداخل مع آلية الأكسدة ومضادات الأكسدة في الكبد (Ke *et al.*, 2016; Korkmaz *et al.*, 2010).

وفي دراسة أجريت على الفئران والجرذان لعدة اجيال حيث تم تجريعها فموياً لمادة البسفينول أ إذ لوحظ حدوث تغيرات نسجية كثيرة في الكبد والكلى تزامناً مع زيادة التركيز (آل فرحان ، ٢٠١٥). كما توجد عدة تأثيرات للبسفينول أ منها الإجهاد التأكسدي (Rencuzogullari and Aydin, 2019)، تعطيل في وظائف المايتوكندريا (Bhattarai *et al.*, 2016)، أجهاد في الشبكة الاندوبلازمية الداخلية (khan *et al.*, 2016)، الالتهابات (Wang *et al.*, 2019، 2021)، الكبد حيث اظهرت دراسة اجريت على الفئران التي تم تجريعها فموياً للبسفينول أ لمدة ٣٠ يوم أدى إلى حدوث زيادة في إنزيمي AST و ALT مقارنة مع مجموعة السيطرة (Sangai *et al.*, 2012)، حيث يعتبر الكبد أكثر الأعضاء تأثراً للملوثات مما أدى إلى ارتفاع مستوى إنزيماته في المصل (Coughlin, 2011).

كما أوضحت الدراسات أن البسفينول أ دور كبير على أحداث تغيرات مرضية ونسجية عديدة على الكبد على الرغم من قابلية الكبد على أزالة السمية وله وظائف عديدة إلا أنه سريع التأثر

والتلف بسبب امتلاكه الاوعية الدموية المزدوجة في التجهيز الدموي عن طريق الوريد البابي والشريان الكبدي (Grasso and Hinton, 1991).

٩-٢ : تأثير البسفينول أ على الكلية

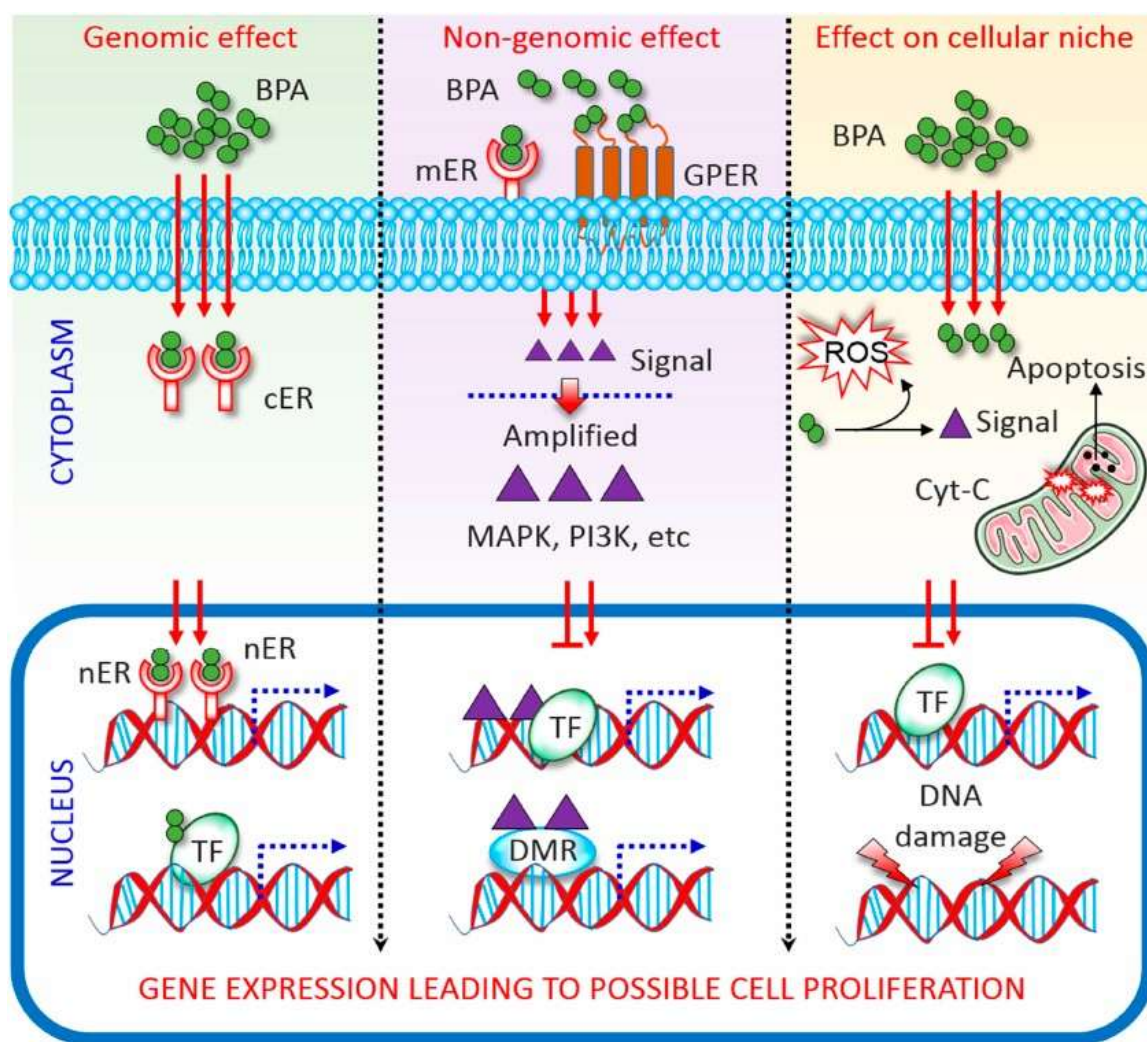
اشارات عدة دراسات أن البسفينول أ (BPA) يسبب العديد من الاضطرابات الكلوية ،حيث تمثل الكلية الهدف الاساسي اثناء دخول المادة عن الطريق الفموي حيث يلاحظ زيادة تركيزها لدى مرضى الكلى المزمن (Mas *et al.*, 2017). أن سبب تعطيل في خلايا الكلية والبيلة البروتينية بسبب المعاملة بمادة البسفينول أ (Olea-Herrero *et al.*, 2014). من خلال دراسة اجرها (Stump, 2010)، أن التجريع الفموي للبسفينول أ له تأثيرات على الكبد والكلية وزن الجسم عند معاملة الجرذان بالتراكيزين (٦٠٠-٥٠٠) ملغم/كغم وفي دراسة اجرتها آل فران (٢٠١٥)، حيث لوحظ حالات تخرّج تجلطي ونزف وارتشاح الخلايا الالتهابية واحتفاق وتغيرات تكسية عند معاملة الجرذان بالبسفينول أ . كما أظهرت نتائج ايضا وجود زيادة معنوية في وزن الكلية في الجرذان المعاملة بتركيز ٢٠٠ ملغرام / كغم من البسفينول أ وفيتامين C .

١٠-٢ : النشاط الحيوي للبسفينول أ

النشاط الحيوي للبسفينول أ والذي يعتبر مادة كيميائية معطلة للغدد الصماء يعمل بشكل انتقائي لمستقبلات الاستروجين (ER) estrogen receptor وتنشيط مستقبلات كاما (ER γ) (Rahman *et al.*, 2015; Rahman *et al.*, 2016; Rahman *et al.*, 2020; Vandenberg *et al.*, 2009) ضلاً عن ذلك فهو مضاد وعوامل النمو المرتبطة بالاستروجين (Vandenberg *et al.*, 2009) يمتلك البسفينول أ خصائص الكيميائية البنوية المشابهة لهرمون الأستروجين وله قابلية الارتباط بكل مستقبلات هرمون الغدة الدرقية وله خصائص مضادة للأندروجين (ER α) وبيتا Beta alpha Receptors (kobroob *et al.*, 2018; Rahman *et al.*, 2020; Meli *et al.*, 2020) (ER β) Receptors . 2020)

كما يمتلك البسفينول أ مسارات الجينومية (non genomic pathway) وغير الجينومية (genomic pathway)، وان المسار الجينومي يرتبط بمستقبلات الاستروجين الواقعه في سايتوبلازم الخلية (cER) أو في النواة (nER). حيث يرتبط ثانوي ER-BPA مع الكروماتين ويعمل على تنشيط عامل النسخ (TF) (transcription factors)، مما يؤدي الى نسخ الجينات المستهدفة والتأثير على وظائف الخلية (Rahman *et al.*, 2016; Heldring *et al.*, 2007). اما بالنسبة للمسارات

الجينومية، يرتبط (BPA) بالأمستقبلات المقترنة بالبروتين (GPCR) (G protein-coupled receptors) المرتبطة بالمستقبلات (mER) (ER)، مع غشاء الخلية وأن تنشيط كل المستقبلين يؤدي إلى إشارات إلى لهرمون الأستروجين عبر الفسفرة (TF) وتنشيط العديد من أنظمة الكيناز (Kinase)، في الإنسان الخلايا السرطانية في المبيض أظهرت الفسفرة (TF) إلى التوسط عن طريق تنشيط بروتين (Kinase) المنظم بالميتوجين (mitogen-activated phosphatidylinositol 3-kinase و protein kinase MAPK) والتغيرات في protein Kinase A ومستويات cAMP protein Kinase C ()، والتي تتبع ارتباط البسفينول أ مع (Nadal *et al.*, 2000) (mER) (GPCR).



الشكل (٨-٢) : يوضح تأثير المسارات الجينومية والغير الجينومية (Amjad *et al.*, 2020)

١١- تأثير البسفينول أ على فيتامين د٣ في فروج اللحم

فيتامين D عبارة عن مجموعة من سيكوستيرويدات قابلة للذوبان في الدهون ، تلعب دوراً حيوياً في أيض العظام ويبدو أن لها بعض الخصائص المضادة لالتهابات والمناعة ، حيث توجد عدة أشكال من فيتامين D وهي Ergocalciferol (VD1) ، Lumisterol with Ergocalciferol (VD1) ، (Vaishya *et al.*, 2015) Cholecalciferol (VD3) ، (VD2) . (Voulgaris *et al.*, 2017) أن من أسباب النقص تؤدي إلى تشوّه العظام وزيادة التعرض لكسور العظام (Pludowski *et al.*, 2018) بصورة عامة يلعب دوراً رئيساً في الوظائف المهمة في الإنسان الحيوان ، ويساعد في عمل الجهاز العصبي والهيكلية والأوعية الدموية ويساعد في امتصاص الكالسيوم بشكل صحيح واستخدامه في العمليات البيولوجية المختلفة ، وبسبب الحاجة الماسة لفيتامين د٣ مما أدى إلى زيادة متطلبات الدواجن الحديثة العالية الأداء لهذا الفيتامين لكونه له القابلية على زيادة هضم المعادن ، ومؤشرات المناعة ، وصحة العظام ، وجودة قشرة البيض (Swiatkiewicz *et al.*, 2017).

أ) النقص الشديد: <10 نانوغرام / مل

ب) النقص: <20 نانوغرام / مل

ج) عدم الكفاية: > 29 – 20 نانوغرام / مل

د) الكفاية: 30-100 نانوغرام / مل

ه) السمية: > 100 نانوغرام / مل (Balci and Ergun, 2019).

كما أكدت الدراسات إلى وجود ربط بين البسفينول أ والعديد من من أمراض الذكري الجنسي للجنسين في مرحلة النمو، وأنخفاض الخصوبة عند الرجال، وفقاً لتقرير عام ٢٠١٠ من منظمة الغذاء والدواء (FDA, 2010) Food and Drug Administration (FDA). كما أجريت دراسة عن تأثيرات فيتامين D3 بالإضافة إلى مادة البسفينول أ على تمایز الخلايا الجذعية اللحمية المشتقة من الدهون البشرية (hADMSCs) إلى الخلايا الشحمية حيث لوحظ تراكمات دهنية أكثر عند معاملة فيتامين D3 بتركيز ١٠ نانومتر مع البسفينول أ مقارنة مع تركيز ١،٠ نانومتر فيتامين D3 مع البسفينول أ ، كما أظهرت هذه الدراسة إلى أن الخلايا الجذعية اللحمية المشتقة من الدهون البشرية والمعاملة بتركيز ١،٠ نانومتر لفيتامين D3 مع البسفينول أ أدى إلى تثبيط تحفيز للتعبير الجينية التي تظم على علامات شحمية مثل مستقبلات منشط للبيروكسيسوم γ (PPARY) (CCAAT) والبروتين الرابط المحسن الفا (α)، (C/EBP) وبروتين الرابط المحسن بيتا (β, C/EBP) (Salehpour *et al.*, 2021).

الفصل الثالث

المواد وطرائق العمل

Materials and Methods

١-٣: أفراخ الدجاج

تم الحصول على أفراخ الدجاج من (مفسس النبراس الحديث)، اذا تم جلب ١١٢ فرخاً نوعية روز(٣٠٨) بعمر يوم واحد ، وتمأخذ الأوزان وكانت أوزانها ما بين ٣٥ ± ٥ غرام وتم ادخاله وتربيتها في بيت الحيوانات المختبرية التابع لكلية الطب البيطري، جامعة الموصل وتم وضعها في أقفاص خاصة لتربيه الأفراخ وكان ابعاد الاقفاص $١٨٥ \times ١٥٠ \times ١٥٠$ سم وتم تهيئه الظروف الجيدة المناسبة والخاصة بأفراخ الدجاج من تهوية ودرجة حرارة ٣٥-٣٢ م مع اضاءة ٢٣ ساعة و ١ ظلام وأعطيت العلف طوال مدة التجربة ، كما أعطيت الماء وبشكل دائمي طول مدة التجربة .

٢-٣: ثاني الفينول (البسفينول أ)

تم استعمال مادة البسفينول أ ويرمز لها (BPA) المجهز من قبل شركة سكما يمتاز هذا المنتج بكونه صلباً أبيض اللون وبصيغة كيميائية هي ($C_{15}H_{16}O_2$) وزن جزيئي /٢٢٨,٢٩ دالتون (Wang et al., 2020) .



الشكل (١-٣): صورة لنموذج مادة ثاني الفينول (البسفينول أ) المستخدمة في الدراسة

٣-٣: الأجهزة والمواد المستخدمة في الدراسة الحالية**٣-١: الأجهزة المستخدمة**

الجدول (١-٣) الأجهزة والمواد المستخدمة في التجربة والشركات المصدر لها

| المنشأ | الشركة المجهزة | اسم الجهاز | ت |
|---------|---------------------|--|----|
| Germany | Chalice | جهاز الطرد المركزي Centrifuge | ١ |
| أنكلترا | AeADAM | ميزان الكتروني حساس Electronic balance | ٢ |
| أنكلترا | PORTEX | حمام مائي Water bath | ٣ |
| Germany | Leitz, Wetzler | المشراح الدوار Microtome Rotary | ٤ |
| Germany | Chalice | انابيب اختبار وانابيب حفظ الامصال | ٥ |
| Japan | Shimadzu | ميزان وزن الحيوانات Balance | ٦ |
| India | | ماصبة احجام كبيرة وصغريرة | ٧ |
| Italy | Olympus OM-Japan | كاميرا ديجيتال Digital camera | ٨ |
| England | | جهاز المجانس الذاتي Homogenize | ٩ |
| Germany | Hanna | جهاز قياس البأها PH meter | ١٠ |
| Germany | روش | جهاز كوباس cobas | ١١ |

٣-٢-٣: المواد المستلزمات المستخدمة في التجربة

تم استخدام مواد مختلفة في هذه الدراسة كما موضح في الجداول (٢-٣)

الجدول (٢-٣): المواد الكيميائية المستخدمة في التجربة

| الرقم | المادة المستخدمة | المنشأ | الشركة |
|-------|---|----------|-----------------------|
| ١ | مادة البسيفينول أ بدرجة نقاوة %٩٩ | USA | Sigma Aldrich Company |
| ٢ | محلول الملح الفسيولوجي solution | Iraq | Pioneer |
| ٣ | الفورمالديهايد Formaldehyde | Malaysia | AgrikimaK |
| ٤ | دائي صوديوم هيدروجين فوسفيت (disodium hydrogen phosphate) (Na_2HPO_4) | Denmark | LEO |
| ٥ | كلوريد الصوديوم | Denmark | LEO |
| ٦ | صوديوم دائي هيدروجين فوسفيت (sodium dihydrogen phosphate) (NaH_2PO_4) | Denmark | LEO |
| ٧ | شمع البارفين | UK | BDH |
| ٨ | الكحول الايثيلي المطلق % ١٠٠ | Spain | Scharlam |
| ٩ | هيماتوكслиن Haematoxylin | U.K | LAP |
| ١٠ | مادة لاصقة D.P.X | England | BDH |
| ١١ | العد الجاهزة | (USA) | My BioSource |
| ١٢ | زايلول Xylole | Spain | Scharlam |

٣-٤: تحضير محلول المنظم المتعادل

محلول منظم ذو بأها ٧.٢ لغرض الإضافة إلى عينات نسيج العضلات خلال عملية الساحن في جهاز المجانس الذاتي Homogenizer.

١. استخدام مادة داي صوديوم هيدروجين فوسفيت (disodium hydrogen phosphate) ٢٣ (Na₂HPO₄) مضافاً إليها كلوريد الصوديوم (NaCl) ١٨/gm غرام. وتم وضعها في دورق زجاجي ثم إكمال حجم محلول إلى ١٠٠٠ مل بإضافة الماء المقطر.

٢. استخدم صوديوم داي هيدروجين فوسفيت (NaH₂PO₄) ٨gm مضافاً إليها كلوريد الصوديوم (NaCl)، وتم وضعها في دورق زجاجي وتم إكمال حجم محلول إلى ١٠٠٠ مل بإضافة الماء المقطر.

٣. تم أخذ ٢٨٠ مل من محلول الثاني وأضافته إلى ١٠٠٠ مل من محلول الأول.

٤. نهاية التحضير يتم معاينة الدالة الحامضية PH عن طريق PH meter للوصول إلى محلول منظم ذو بأها ٧.٢ وذلك بمعاملة محلول بمادة حامضية HCl أو مادة قاعدية NaOH حسب الحاجة للوصول إلى بأها ٧.٢ (Sharma *et al.*, 2017).

٣-٥: تصميم التجارب

٣-٥-١: المحور الأول تحديد الجرعة الوسطية المميتة للبسفينول أ في فروج اللحم.

كان الهدف من هذه التجربة هو تحديد الجرعة المميتة الوسطية للبسفينول أ عن طريق التجريع الفموي وخلال ٢٤ ساعة، أُستخدم لهذا الغرض ثمانية ذكور أفراخ فروج اللحم من نوع روز ٣٠٨ بعمر يوم واحد بوزن ٣٥ غرام (± 5 غرام) واستخدمت تقنية الصعود والنزول لهذا الغرض (Dixon, 1980). أعطيت الجرعة الأولية والتي قدرت بحوال ٣٢٠٠ ملغرام/ كغم من وزن الجسم (Preethi *et al.*, 2014) مع مراقبة أفراخ فروج اللحم للحظة نفوق الطائر (\times) أو بقاءه حياً (O) وخلال ٢٤ ساعة، مع زيادة الجرعة بمقدار ثابت (مقدار الزيادة في الجرعة ١٠٠ ملغم / كغم من وزن الجسم) عند بقاء الطائر حياً بعد إعطاء الجرعة فموياً،

اما عند نفوق الطائر فقد قللت الجرعة بمقدار ثابت (مقدار النقصان في الجرعة ١٠٠ ملغم / كغم من وزن الجسم)، وأعيدت العملية صعوداً ونزولاً بالجرعة وبالمقدار الثابت وعند عدم وجود تغيير مع التكرار في نتائج نفوق او بقاء الطائر حياً اوقفت التجربة، وتم حساب أعداد

أفراخ فروج اللحم النافقة والحية لغرض تحديد الجرعة المميتة الوسطية ومن خلال تطبيق

المعادلة الآتية:

$$\text{LD}_{50} = X_f + kd$$

إذ ان LD_{50} = مقدار الجرعة المميتة الوسطية لمادة معينة.

X_f = مقدار اخر جرعة استخدمت في الدراسة الأولية.

k = قيمة دولية ثابتة (الجدول ٣-٣).

d = مقدار الزيادة والنقصان الثابتة في الجرعة المعطاة فموياً

الجدول ٣-٣: يبين قيمة k الجدولية الثابتة (Dixon, 1980).

| الجزء الثاني من السلسلة | قيمة k للسلسلة التي تبدأ بـ | | | | |
|-------------------------|-------------------------------|-----------|------------|-------------|-------------------------|
| | 0 | 00 | 000 | 0000 | |
| XOOO | -0.157 | -0.154 | -0.154 | -0.154 | OXXX |
| XOOX | -0.878 | -0.861 | -0.860 | -0.860 | OXOX |
| XOXO | 0.701 | 0.737 | 0.741 | 0.741 | OXOO |
| XOXX | 0.084 | 0.169 | 0.181 | 0.182 | OOXX |
| XXOO | 0.305 | 0.372 | 0.380 | 0.381 | OOXO |
| XXOX | -0.305 | -0.169 | -0.144 | -0.142 | OOOX |
| XXXO | 1.288 | 1.500 | 1.544 | 1.549 | 0000 |
| XXXX | 0.555 | 0.897 | 0.985 | 1.000 | |
| | X | XX | XXX | XXXX | الجزء الثاني من السلسلة |
| | قيمة k للسلسلة التي تبدأ بـ | | | | |

٣-٥-٣: المحور الثاني دراسة التأثيرات المرضية والانتاجية للبسفينول أ في فروج اللحم

اخذ ١١٢ فرخا بعمر يوم واحد وقسمت على أربع مجاميع بواقع ثمانية وعشرون طائراً في كل مجموعة وكالاتي:

المجموعة الاولى: تعد مجموعة السيطرة، هذه المجموعة يتم اعطاء الماء المقطر عن طريق الفم.

المجموعة الثانية: تعد مجموعة معاملة بمادة البسفينول أ، ويتم تجريب أفراخ هذه المجموعة ٥٪ من الجرعة المميتة الوسطية للبسفينول أ وعن طريق الفم ثلاثة مرات في الاسبوع ولمدة أربعة أسابيع بجرعة ١٨٣,٧١ ملغرام / كغم من وزن الجسم.

المجموعة الثالثة: تعد مجموعة معاملة بمادة البسفينول أ، ويتم تجريب أفراخ هذه المجموعة ١٠٪ من الجرعة المميتة الوسطية للبسفينول أ وعن طريق الفم ثلاثة مرات في الاسبوع ولمدة أربعة أسابيع بجرعة ٣٦٧,٤١ ملغرام / كغم من وزن الجسم.

المجموعة الرابعة: تعد مجموعة معاملة، ويتم تجريب أفراخ هذه المجموعة ٢٠٪ من الجرعة المميتة الوسطية للبسفينول أ وعن طريق الفم ثلاثة مرات في الاسبوع ولمدة أربعة أسابيع بجرعة ٧٣٤,٨٢ ملغرام / كغم من وزن الجسم.

تصميم التجاري لمجاميع الأفراخ المستخدمة للدراسة:



الشكل (٣-٣) : تصميم التجاري لمجاميع الأفراخ المستخدمة للدراسة

تم في هذه الدراسة تقسيم مدة التجربة إلى ٢٨ يوماً إذ تم قتل سبعة أفراخ من كل مجموعة وعند ١٤، ٢١، ٢٨ واجراء الآتي:

١. تم تجريح الأفراخ ثلاثة تجريعات فموية متتالية لمدة ثلاثة أيام من مادة البسفينول أ من كل أسبوع.
٢. تم اخذ الأوزان الأسبوعية لكافية الأفراخ في بداية كل أسبوع.
٣. حساب الوزن النسبي للكلب والكلية .
٤. تم أخذ الأعضاء (الكلب والكلى) بعد اجراء الصفة التشريحية وتم وزنها بعد ها تم وضعها بالفور مالين بتركيز ١٠ % لحين اجراء التقطيع النسجية وفحصها.
٥. اخذ عينات الدم في أنابيب الاختبار لغرض اجراء فصل المصل وقياس تركيز فيتامين د٣
٦. أخذ عينات من نسيج عضلات الصدر وحفظها باتجميد لغرض قياس تركيز البسفينول أ فيها.

٣-٧: حساب معدل الوزن الأسبوعي

تم وزن الأفراخ عند بداية كل أسبوع من بدا التجربة، وان معدل الزيادة الوزنية فيتم قياسها من خلال طرح وزن الأسبوع الحالي من وزن الأسبوع السابق (Shewita and Ahmed, 2015).

٣-٨: اجراء الصفة التشريحية:

تم قتل الأفراخ من خلال قطع الاوردة الوداجية وعند انتهاء العملية تم رش الماء على الأفراخ لغرض تسهيل عملية التشريح المرضي، لاحقاً تم اجراء قطع من منطقة المجمع صعوداً إلى البطن ثم إلى القفص الصدري وانتهاءً في منطقة الرقبة، تم لاحقاً عملية جمع الأعضاء المشمولة بالدراسة وهي كل من الكلب والكلية ووضعت في الفورمالين الداري المتعادل بتركيز ١٠ % لغرض التثبيت ولحين إجراء العمليات النسجية المرضية عليها (Luna, 1968).

٣-٩: العمليات النسجية المرضية:

بعد مرور ٧٢ ساعة من وضع العينات النسجية في الفورمالين بتركيز ١٠ % ثم أخذت عينات ممثلة للحالة من كل عضو بحجم لا يزيد عن ١ سنتيمتر مكعب، ووضعت هذه العينات النسجية في حاوية التمرير النسجي المعلمة لغرض التعرف عليها لاحقاً.

تم سحب الماء من العينات النسجية باستخدام تراكيز تصاعدية من الكحول المثيلي ولمدة ساعتين عند كل تركيز والتي شملت ٧٠، ٨٠، ٩٥، ١٠٠٪، لاحقاً تم ترويق العينات النسجية باستخدام الزايلين بمرحلتين لمدة نصف ساعة في كل مرحلة ولحين تحول لون العينة إلى اللون الأصفر الجلاطيني والتي أشارت إلى انتهاء عملية سحب الكحول الأثيلي من العينة وانتهاء عملية الترويق، ثم وضع العينات في ثلاثة مراحل من شمع البرافين السائل الحار عند درجة ٥٨ درجة مئوية ولمدة ساعة في كل مرحلة لغرض إتمام عملية التشريب، وبعد انتهاء هذه العملية تم صب العينات النسجية في قوالب من الألمنيوم لغرض تسهيل عملية التقطيع النسجي (Luna, 1968). تم اجراء التقطيع النسجي باستخدام المشراح الدوار سمك ٥ مايكرومتر، ثم طوفت الشرائح في حمام مائي ساخن عند درجة حرارة ٥٠ مئوية ثم حملت على شرائح نسجية زجاجية وتركت لتجف في درجة حرارة الغرفة لغرض التلوين النسجي الروتيني لاحقاً (Luna, 1968). تم تلوين المقاطع النسجية باستخدام ملون الهاريس هيماتوكسيلين والايوسين الأحمر الكحولي وحسب الطريقة التي ذكرت من قبل (Suvarna *et al.*, 2017).

٣-١٠: اختبار الانزيم المناعي الممترز لتركيز البسفينول أ في نسيج عضلات الصدر

استعمل هذا الاختبار لغرض قياس تركيز البسفينول أ في نسيج العضلات لأفراخ فروج اللحم، اذ استعملت عدة قياسات التي جهزته من شركة MyBioSource.

العينات : جمعت عينات العضلات الصدر بوزن غرام واحد عينة واحدة من نسيج العضلات، وتم غسل العينات بمحلول الملحي الفسيولوجي وتم إضافة المحلول المنظم المحضر سابقاً ووضعها في أنبوبة جهاز المجانس الذاتي وأضيف إليها المحلول المنظم المحضر سابقاً سحت العينات بالكامل ووضعها في أنابيب اختبار نظيفة ثم وضعها في جهاز الطرد المركزي، وطردت عند سرعة ٤٠٠٠ دورة / دقيقة ولمدة ١٥ دقيقة ، وتم جمع السائل الرائق الطافي ووضع في أنابيب بندروف وحفظت عند درجة - ٢٠ درجة مئوية لحين أجراء الفحص عليها.

٣-١١: مبدأ تقنية الانزيم المناعي الممترز ELISA

استخدمت تقنية الانزيم المناعي الممترز للتحري عن معقدات (Ab-Ag)، وجود ارتباط بين المستضدات والاجسام المضادة الخاصة بها يسندل عليه بتحول لون المزبج عديم اللون إلى مزبج مُلوّن. ان مبدأ التقنية (Double Antibody Sandwich) تعتمد على خصائص المادة المراد تحليلها (المادة الهدف) لأكثر من اثنين المحدّدات المستضدية (epitopes)، ويمكن تحديد

بواسطة كل من الاجسام المضادة المغطاة والملقط مسبقاً، والجسم المضاد للكشف عنها بوقت واحد.

١٢-٣: المواد والادوات المستعملة في الفحص

١. قارئ الصحيفة الدقيق (مرشح ذات طول موجي ٤٥٠ نانوغرام أو ٥٧٠ نانوغرام).
 ٢. مرحلة الغسل (حقن كمية ٣٥٠ مايكرو ليتر في كل حفرة بشكل دقيق).
 ٣. ماسات أحادية القناة عالية الدقة (تتراوح ١٠٠٠.٥ مايكرو ليتر والى ١٠٠٠ مايكرو ليتر).
 ٤. ماسات متعددة القنوات عالية الدقة (تتراوح ٨ أو ١٢ وعلى نطاق ٣٠٠-٥٠ مايكرو ليتر).
 ٥. حاضنة وعلى درجة ٣٧ م°.
 ٦. جهاز الطرد المركزي ذات درجة منخفضة فضلاً عن تبريد (-٤، -٢٠، -٨٦).

١٣-٣: خطوات الاختبار

١. تم اخراج عدة الأليزا من الثلاجة قبل ٢٠ دقيقة والبدء في الاختبار حال وصول عدة الاختبار إلى درجة حرارة الغرفة.
 ٢. تم تخفيف محلول الغسل المركز بالماء المقطر المزدوج بنسبة ٢٥:١ وإعادة المتبقي من محلول المركز غير المستخدم الى العلبة.
 ٣. حضر محلول القياسي بإضافة ١ مل من محلول التخفيف الى المادة القياسية المحفوظة بالتجفيف وترك لمدة ٣٠ دقيقة. بعد التأكد من اكتمال الذوبان للمادة القياسية تم مزجه برفق بشكل جيد وتم تعليمه إذ استخدمت التراكيز ٢٠٠، ١٠٠، ٥٠، ٢٥، ٦.٢٥ ١٢.٥ ٣.١٢ نانوغرام/مل لرسم المنحنى القياسي.
 ٤. تم أخذ سبعة أنابيب اختبار نظيفة وتم تعليمها بالتراكيز ٦.٢٥، ١٢.٥، ٢٥، ٥٠، ١٠٠ نانوغرام/مل. تم اضافة ٣٠٠ مايكرو ليتر من محلول التخفيف القياسي الى كل أنبوبة اختبار. تم سحب ٣٠٠ مايكروليتر من محلول التخفيف من المادة القياسية المعد تحضيرها ٢٠٠ نانوغرام/مل وأضيفت الى الأنبوة الحاوية على ٥٠ نانوغرام/مل ومزجت بشكل جيد. كذلك تم سحب ٣٠٠ مايكرو ليتر من محلول التخفيف من أنبوبة الاختبار الحاوية على ١٠٠ نانوغرام/مل وأضيفت إلى الأنبوة الحاوية على ٥٠

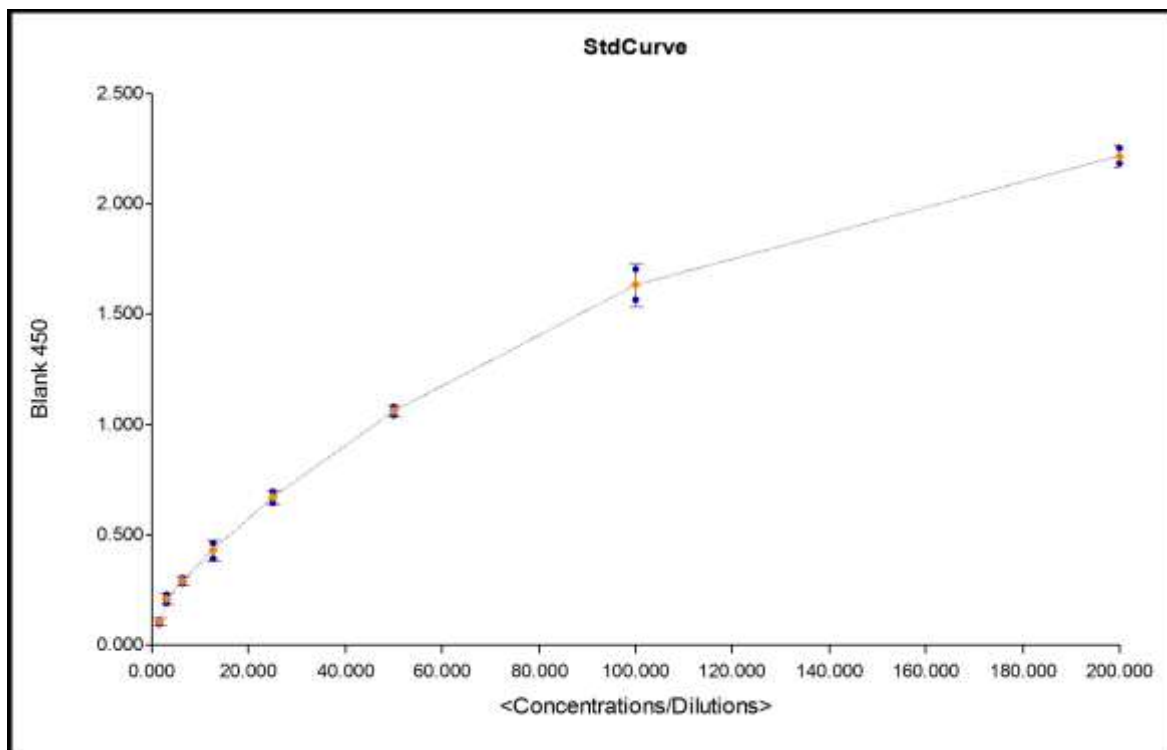
نانوغرام/مل ومزجت بشكل جيد. كررت هذه الخطوات مع أنبوبة الاختبار الحاوية على 3.12 نانوغرام/مل من محلول القياسي. اعتبر محلول التخفيف القياسي في أنبوبة الاختبار الحاوية على صفر نانوغرام/مل محلول قياسي سالب. من الجدير بالذكر ضرورة التخلص من محلول القياسي المعاد تحضيره (٢٠٠ نانوغرام / مل) بعد اجراء الاختبار إذ أنه لا يمكن إعادة استخدامه.

٥. تم أخذ الحجم المناسب من محلول الاجسام المضادة بما يتلاءم مع اعداد الحفر الصغيرة المطلوب فحصها حيث تم تخفيفه بمحلول التخفيف للأجسام المضادة بنسبة ١:١٠٠ مع مراعاة تحضير محلول المحفف قبل ٣٠ دقيقة وعدم إعادة استخدام محلول المحفف مرة ثانية.

٦. تم أخذ الحجم المناسب من محلول المقتربن بالأنزيم بما يتلاءم مع اعداد الحفر الصغيرة المطلوب فحصها حيث تم تخفيفه بمحلول التخفيف للمقتربن بنسبة ١:١٠٠ مع مراعاة تحضير محلول المحفف قبل ٣٠ دقيقة وعدم إعادة استخدام محلول المحفف مرة ثانية.

٧. حضر محلول كاشف اللون قبل ٣٠ دقيقة من خلال إضافة كاشف اللون A وكاشف اللون B بنسبة ٩:١.

اعتماداً إلى التراكيز القياسية وقراءات الكثافة البصرية (O.D) تم تحديد معدلة الانحدار المنحنى القياسي يليها حساب تركيز مادة السمية في عينات الدراسة بوجود قراءات الكثافة البصرية (O.D) لها باستعمال برنامج (Software)، كما في الشكل (٣-٣).



الشكل (٣-٣) المنحنى القياسي للبسفينول أ (MyBioSource)

١٤-٣ : تقدير مستوى فيتامين د ٣ (Cholcaliceferol) في المصل

تم جمع العينات الدم للأفراد البالغ عددها ١١٢ عينة مقسمة على أربع مجاميع والجرعة لمدة ثمانية وعشرون يوماً، ثم وضعت العينات الدم في أنابيب مفرغة من الهواء ومعقمة وكان حجم العينة ٥ مل أضيف إليها هلام Glot Activator Gel، وخالية من مانع التخثر وتركت بشكل مائل لمدة ساعة واحدة لفصل أكبر كمية ممكنة من مصل الدم من خلال التقليل من عملية التحلل الدموي. بعد ذلك تم وضعها في جهاز الطرد المركزي وطردت عند سرعة ٣٠٠٠ دورة / دقيقة ولمدة عشرة دقائق، بعد ذلك بواسطة ماصة دقيقة يُسحب وتم جمع السائل الرائق الطافي (مصل الدم) ووضع في أنابيب بندروف وحفظت عند درجة -٢١ درجة مئوية لحين إجراء الفحص عليها (Kuo and Li, 2014).

٣-١-٤: تقدیر فيتامين د ٣ في مصل الدم

أستخدم جهاز كوباس من شركة Roche الألمانية من نوع 411e لتقدير تركيز فيتامين د ٣ في مصل الدم وبدأ التقنية المستخدمة يعتمد على قياس الطيف الضوئي الممتص من جزيئات المواد المراد قياسها في المصل.

٣-١-٤: خطوات العمل

١. اخراج الكواشف المطلوبة من التبريد ووضعها بدرجة حرارة الغرفة لمدة ٣٠ دقيقة.
٢. وضع عينات المصل في أنابيب اختبار من نوع Hitachi Tube وترقم على نفس الارقام المطلوبة داخل جهاز الكوباس نوع 411e ثم تسجل المعلومات والفحوصات المراد قياسها .
٣. تحضن العينات لمدة ١٥ دقيقة أذ يحرر فيتامين (OH-25) د ٣ من البروتين المرتبط مع الفيتامين.
٤. تحضن العينات المعالجة مسبقاً بالروثينيوم (فيتامين د ٣) المرتبط بالبروتين ، لاحتوائه على معقد من فيتامين (OH- 25) د ٣ وروثينيلاتيد Ruuthenylated (فيتامين د ٣ المرتبط بالبروتين VDBP).
٥. إضافة الجسيمات الدقيقة المغلفة بالستربتافيدين وفيتامين (OH- 25) د ٣ والمسمى بالباليوتين وغير المرتبطة بالريثينيوم والمسمى بفيتامين د ٣ المرتبط بالبروتين ، يتكون معقد من الروثينيلاتيد نتيجة لتكوين فيتامين (25-OH) د ٣ ويكون ارتباط عبر تفاعل البيوتين والستربتافيدين . ينتج عنه مركب يسحب الى خلية الجهاز القياسيه وعندها تلتتصق مغناطيسيأً على سطح قطب كهربائي والمواد غير الملتصقة تهمل بواسطة Pro Cell - ProCell وعمل تطبيق جهد القطب ثم يحفز انبعاث كيميائي يقاس بواسطة مصاعف الضوئي تسجل النتائج من خلال منحنى المعايرة الذي يُقاس بواسطة الباركود الكاشف .
٦. تقرأ النتائج تلقائياً في نهاية كل اختبار وعن طريق الجهاز وذلك من خلال منحنى المعايرة المخزون في ذاكرة الجهاز.

٣-١٤-٣ : الكواشف

- PT1 Pretreatment reagent 1 (white cap), 1 bottle, 4 mL:
Dithiothreitol 1 g/L, pH 5.5.
- PT2 Pretreatment reagent 2 (gray cap), 1 bottle, 4 mL:
Sodium hydroxide 55 g/L.
- M Streptavidin-coated microparticles (transparent cap), 1
bottle, 6.5 mL: Streptavidin-coated microparticles 0.72 mg/mL;
preservative.
- R1 Vitamin D binding protein-BPRu (gray cap), 1 bottle, 9
mL: Ruthenium labeled vitamin D binding protein
150 µg/L; bis-tris propane buffer 200 mmol/L; albumin
25 g/L; pH 7.5; preservative.
- R2 25-hydroxyvitamin D~biotin (black cap), 1 bottle, 8.5 mL:
Biotinylated vitamin D (25-OH) 14 µg/L; bis-tris propane
buffer 200 mmol/L; pH 8.6; preservative.

الفصل الرابع

النتائج

Results

التجربة الاولى : تم حساب الجرعة الوسطية المميتة لمادة البسفينول أ وخلال ٢٤ ساعة من خلال التجريغ الفموي للأفراخ وبعمر يوم واحد وفقا (الجدول ١-٤).

أشارت نتائج الدراسة الحالية المتعلقة بتحديد الجرعة المميتة الوسطية للبسفينول أ وخلال أربعة وعشرين ساعة من خلال استخدام الصعود والنزول في الجرعة المعطاة للأفراخ فروج اللحم بعمر يوم واحد كانت ٣٦٧,٤١ مليغرام / كيلوغرام من وزن الجسم وعن طريق الفم (الجدول ١-٤).

الجدول ١-٤ : الجرعة المميتة الوسطية للبسفينول أ في افراخ فروج اللحم

| المعايير | النتائج |
|--------------------------------|---|
| الجرعة المميتة الوسطية | ٣٦٧,٤١ مليغرام/ كيلوغرام من وزن الجسم عن طريق الفم |
| مدى الجرعة | ٣٢٠٠ - ٣٦٠٠ مليغرام/ كيلوغرام من وزن الجسم |
| الجرعة الاولية | ٣٢٠٠ مليغرام/ كيلوغرام من وزن الجسم |
| الجرعة النهائية | ٣٦٠٠ مليغرام/ كيلوغرام من وزن الجسم |
| مقدار الزيادة والنقصان | ١٠٠ مليغرام/ كيلوغرام من وزن الجسم |
| عدد الأفراخ المستخدمة | (ثمانية) (XXXX XOXO) |
| مدى وقت ظهور العلامات السريرية | ٨ - ١٢ ساعة |
| علامات التسمم | تهدل الاجنة والتدمع ونفوش الريش مع صعوبة في التنفس، ثم الخمول والرقود ومن ثم اختلالات عصبية وتتنفسية ثم الموت |

X موت الأفراخ خلال ٢٤ ساعة، O بقاء الأفراخ حية خلال ٢٤ ساعة.

٤-١-١: الجرعة المستخدمة في الدراسة الحالية

بالاعتماد على نتائج الجدول السابق فإن الجرعة المستخدمة في الدراسة كانت كالتالي:

جرعة ٥% من الجرعة المميتة الوسطية كانت ١٨٣,٧١ ملغرام / كغم من وزن الجسم (المجموعة الثانية)، جرعة ١٠% من الجرعة المميتة الوسطية كانت ٣٦٧,٤١ ملغرام / كغم من وزن الجسم (المجموعة الثالثة)، جرعة ٢٠% من الجرعة المميتة الوسطية كانت ٧٣٤,٨٢ ملغرام / كغم من وزن الجسم (المجموعة الرابعة).

٤-٢: معدل الزيادة الوزنية الأسبوعي لأفراد فروج اللحم

تشير نتائج التحليل الإحصائي إلى عدم وجود فرق معنوي بين مجموعة السيطرة (الأولى) والمجاميع الثانية والثالثة والرابعة المعاملة في اليوم الأول وعدم وجود فرق معنوي بين المجاميع المعاملة نفسها وكانت التراكيز مختلفة لمادة البسفينول أ المجرعة فموياً إذ بلغ معدل الأوزان ٣٩,٢، ٣٩,٧، ٣٨,١ ، ٣٩,٧، ٣٨,٠، ٤٠,٠ غم على التوالي.

في الأسبوع الأول من التجربة لوحظ وجود فرق معنوي لمعدل وزن الأسبوعي عند مستوى معنوية ($A > 0.05$) في مجموعة السيطرة (الأولى) عن باقي المجاميع المعاملة، حيث سجلت ارتفاع معدل وزن أسبوعي هي مجموعة السيطرة $9 \pm 147,8$ ، عدم وجود فرق معنوي بين المجاميع المعاملة خلال الأسبوع نفسه عند ($A < 0.05$)، إذ بلغت معدل الأوزان $129,0, 130,4, 131,4, 147,8$ غم.

في الأسبوع الثاني أظهرت نتائج ارتفاع معنوي ($A > 0.05$) لمجموعة السيطرة (الأولى) على المجاميع الثلاثة المعاملة بمعدل وزن أسبوعي 2.7 ± 481.5 غ ثم يليها المجموعة الرابعة والثالثة والثانية إذ لم يلاحظ فرق معنوي بينهما وبمعدل وزن $4,4, 6 \pm 414, 2, 7 \pm 410, 6, 5, 6 \pm 410, 5, 2, 9 \pm 411, 6$ غم على التوالي.

وفي الأسبوع الثالث من التجربة ارتفاع معنوي لمجموعة السيطرة (الأولى) عن باقي المجاميع بمعدل وزن أسبوعي $2,0 \pm 794,2$ غم، أما المجموعة الثانية والرابعة لم يلاحظ هناك فروقات معنوية بينهما وبمعدل وزن $3,1 \pm 689,3, 2,1 \pm 689,1, 4,7 \pm 688,1$ غم على التوالي، أما بالنسبة لمجموعة الثالثة سجلت وزن $4,4 \pm 675,9$ غم إذ لوحظ انخفاض فرق معنوي بينها وبين الاولى والثانية والرابعة $2,0 \pm 794,2, 3,1 \pm 689,3, 4,7 \pm 688,1$ غم.

أما في الأسبوع الرابع من التجربة أعطت المجموعة السيطرة (الأولى) أعلى قيمة للوزن الأسبوعي بمعدل $1328,2 \pm 1328,4$ غم وسجلت ارتفاعاً ملحوظاً عند مستوى معنوية ($P < 0.05$) على باقي المجاميع، أما المجاميع الثانية والثالثة والرابعة فلم تسجل أي فروقات معنوية بينهم من حيث الأوزان $1148,3 \pm 1148,4$ ، $1155,5 \pm 1155,5$ ، $1167,2 \pm 1167,5$ غم ، أما المجموعة الثانية سجلت أقل معدل وزن أسبوعي بمعدل $1148,3 \pm 1148,4$ غم .

الجدول (٤-٢) : يوضح تأثير البسفينول على معدل الوزن الأسبوعي في فروج اللحم

| العمر (معدل الوزن [غم/طائر] ± الخطاء القياسي) | | | | | المجاميع |
|---|-----------------------------|-----------------------------|-----------------------------|----------------------------|---------------|
| الأسبوع الرابع | الأسبوع الثالث | الأسبوع الثاني | الأسبوع الأول | اليوم الأول | |
| a ₄ , 1 ± 1328, 2 | a ₅ , 0 ± 794, 2 | a ₂ , 7 ± 481, 5 | a ₀ , 9 ± 147, 8 | a ₀ , 4 ± 39, 2 | السيطرة |
| b ₅ , 4 ± 1148, 3 | b ₂ , 1 ± 689, 3 | b ₆ , 9 ± 411, 2 | b ₀ , 9 ± 131, 4 | a ₀ , 8 ± 39, 7 | البسفينول %٥ |
| b ₅ , 5 ± 1167, 2 | b ₂ , 9 ± 675, 4 | b ₅ , 6 ± 410, 6 | b ₀ , 8 ± 130, 4 | a ₀ , 4 ± 38, 1 | البسفينول %١٠ |
| b ₈ , 7 ± 1155, 5 | b ₄ , 7 ± 688, 1 | b ₂ , 7 ± 414, 4 | b ₀ , 7 ± 129, 0 | a ₀ , 1 ± 40, 0 | البسفينول %٢٠ |

- الأحرف المختلفة عمودياً تشير إلى وجود فرق معنوي بين المجاميع خلال الأسبوع نفسه عند $P < 0.05$.

٤-٣ : وزن الكبد النسبي

إذ تشير نتائج التحليل الإحصائي إلى عدم وجود فرق معنوي بين المجاميع الأربع في الأسبوع الأول إذ بلغت الأوزان الكبد في المجاميع $0,62 \pm 0,24$ ، $0,61 \pm 0,32$ ، $0,81 \pm 0,56$ ، $0,51 \pm 0,00$ غم على التوالي .

في الأسبوع الثاني من التربية أشارت النتائج إلى عدم وجود فروقات معنوية بين المجاميع السيطرة (الأولى) والمجاميع المعاملة بمادة البسفينول أ وهي الثانية والثالثة والرابعة من حيث بلغت أوزان الكبد $1,32 \pm 1,33$ ، $1,37 \pm 1,32$ ، $1,40 \pm 1,42$ ، $1,40 \pm 1,45$ غم .

أظهرت نتائج الأسبوع الثالث عدم وجود فرق معنوي بين المجاميع الأربع من ضمنها السيطرة (الأولى) والمجاميع الأخرى المعاملة بمادة البسفينول أ وهي الثانية والثالثة والرابعة من حيث

بلغت أوزان الكبد أبتدأ من السيطرة $1,89 \pm 22,09$ ، $2,71 \pm 21,85$ ، $1,80 \pm 21,48$ ، $0,50 \pm 21,48$ ، $4,45 \pm 22,06$ غم وعلى التوالي .

في الأسبوع الرابع من التجربة إذ تشير نتائج التحليل الاحصائي إلى عدم وجود فرق معنوي بين المجاميع الاربعة من ضمنها السيطرة (الاولى) والجاميع الاخرى المعاملة بمادة البسفينول A وهي الثانية والثالثة والرابعة من حيث بلغت أوزان الكبد أبتدأ من السيطرة $3,25 \pm 37,60$ ، $3,04 \pm 38,23$ ، $2,59 \pm 37,48$ ، $2,05 \pm 37,02$ ، $0,53 \pm 37,37$ غم على التوالي عند مستوى معنوية ($P < 0.05$) .

الجدول (٤-٣) : يوضح تأثير البسفينول A على الوزن النسبي للكبد في فروج اللحم

| الأسبوع (الوزن النسبي للكبد [غرام] ± الخطاء القياسي) | | | | المجاميع |
|--|--------------------|--------------------|-------------------|---------------|
| الأسبوع الرابع | الأسبوع الثالث | الأسبوع الثاني | الأسبوع الأول | |
| a $3,25 \pm 37,60$ | a $1,89 \pm 22,09$ | a $0,12 \pm 14,00$ | a $0,61 \pm 5,64$ | السيطرة |
| a $3,04 \pm 38,23$ | a $2,71 \pm 21,85$ | a $1,52 \pm 14,00$ | a $0,81 \pm 5,32$ | البسفينول %٥ |
| a $2,59 \pm 37,48$ | a $0,50 \pm 21,48$ | a $1,33 \pm 13,32$ | a $0,62 \pm 5,24$ | البسفينول %١٠ |
| a $0,53 \pm 37,02$ | a $1,45 \pm 22,06$ | a $2,02 \pm 13,37$ | a $0,51 \pm 5,00$ | البسفينول %٢٠ |

- الأحرف المختلفة عمودياً تشير إلى عدم وجود فرق معنوي بين المجاميع خلال الأسبوع نفسه عند $P < 0.05$.

٤-٤ : وزن الكلية النسبي

أشارت نتائج التحليل الاحصائي إلى عدم وجود فروقات معنوية بين المجاميع الاربعة منها السيطرة والمجاميع الثلاثة الاخرى الثانية والثالثة والرابعة في الاسبوع الاول من التجريبي الفموي لمادة البسفينول A ، حيث لوحظت أوزان الكلية النسبي $0,05 \pm 1,21$ ، $0,02 \pm 1,22$ ، $0,07 \pm 1,23$ ، $0,11 \pm 1,11$ ، $0,05 \pm 1,11$ غم عند مستوى معنوية $P < 0.05$.

كما أشارت نتائج الاسبوع الثاني أيضاً بعدم وجود اي فروقات معنوية بين أوزان النسبي للكلية في كافة المجاميع الاربعة المجرعة فموياً منها الأولى والثانية والثالثة والرابعة إذ سجلت أوزان النسبي للكلية 14 ± 3 , 00 , 0 , 32 ± 3 , 32 , 0 , 33 ± 2 , 65 , 0 , 57 ± 4 , 00 , 0 , غم على التوالي .

في الاسبوع الثالث من التجربة أعطيت نفس النتائج بعدم وجود اي فرق معنوي بين أوزان النسبي للكلية وحسب الجدول ٤-٤ من الاسبوع الثالث سجلت الأوزان للكلية 19 ± 5 , 41 , 0 , 47 ± 5 , 64 , 0 , 44 ± 4 , 87 , 0 , 21 ± 6 , 26 , 0 , 50 ± 6 , 55 , 0 , غم على التوالي للمجاميع الاربعة ابتداءً من السيطرة عند مستوى معنوية $P < 0.05$.

في الأسبوع الرابع والأخير من التجربة لوحظ ان الأوزان الكلية لم تسجل أية فرق معنوي بين الأوزان الكلية في كافة المجاميع الاربعة المعاملة بمادة البسفينول أ أعطيت أوزان مجموعة السيطرة 47 ± 7 , 95 , 0 , وأوزان المجموعة الثانية $1,31 \pm 8$, 99 , 0 , والمجموعة الثالثة 50 ± 6 , 55 , 0 , والمجموعة الرابعة 50 ± 8 , 59 , 0 , غم.

الجدول (٤-٤) : يوضح تأثير البسفينول على الوزن النسبي للكلية في فروج اللحم

| الأسباب (الوزن النسبي للكلية [غرام] \pm الخطاء القياسي) | | | | المجاميع |
|---|---------------------|---------------------|-------------------|-------------------|
| الأسبوع الرابع | الأسبوع الثالث | الأسبوع الثاني | الأسبوع الأول | |
| a 47 ± 7 , 95 | a 19 ± 5 , 41 | a 14 ± 3 , 00 | a $0,02 \pm 1,22$ | السيطرة |
| a $1,31 \pm 8$, 99 | a 47 ± 5 , 64 | a 33 ± 3 , 32 | a $0,05 \pm 1,21$ | % ٥ البسفينول |
| a 50 ± 6 , 57 | a 21 ± 5 , 26 | a 33 ± 3 , 65 | a $0,07 \pm 1,23$ | % ١٠ البسفينول |
| a 50 ± 8 , 59 | a 44 ± 4 , 94 | a 57 ± 4 , 00 | a $0,05 \pm 1,11$ | % ٢٠ البسفينول |

- الأحرف المختلفة عمودياً تشير إلى عدم وجود فرق معنوي بين المجاميع خلال الأسبوع نفسه عند $P < 0.05$.

٤-٥ : تأثير تركيز البسفينول أ على فيتامين د ٣ في مصل فروج اللحم

أشارت نتائج التحليل الاحصائي عند أعطاء مادة البسفينول أ فموياً وبجرعة مختلفة التراكيز إلى المجاميع الاربعة بأسثناء مجموعة السيطرة (الاولى)، إذ لوحظ منذ الأسبوع الأول وجود فروقات معنوية بين مجموعة السيطرة والمجاميع الأخرى ، إذ سجلت المجموعة الرابعة أعلى

قيمة لتركيز فيتامين د ٣ بتركيز $2,31 \pm 86,29$ بيكومغرام من المجموعة الثانية والثالثة $4,71 \pm 71,20$ ، $7,23 \pm 80,36$ بيكومغرام على التوالي ، وسجلت أقل قيمة هي مجموعه السيطرة بتركيز $1,03 \pm 65,92$ بيكمغرام عند مستوى معنوية >0.05 .

أظهرت نتائج الأسبوع الثاني ارتفاعاً معنوياً لمجموعة الرابعة على بقية المجاميع الاربعة بتركيز $1,11 \pm 101,89$ بيكمغرام ثم يليها المجموعة الثالثة والثانية إذ لوحظ فرق معنوي بينهما وبتركيز $4,46 \pm 91,72$ ، $7,09 \pm 80,85$ بيكمغرام على التوالي ، وسجلت مجموعه السيطرة أقل ترکیز لفيتامين د ٣ بتركيز $2,06 \pm 66,28$ بيكمغرام عن باقي المجاميع الثانية والثالثة والرابعة عند مستوى معنوية >0.05 .

وفي الأسبوع الثالث من التجربة أرتفاعاً معنوياً لمجموعة الرابعة على باقي المجاميع بتركيز $9,95 \pm 121,67$ بيكمغرام ، أما باقي المجاميع من الثانية والثالثة سجلت فروقات معنوية حيث بلغت تركيز $6,94 \pm 89,95$ ، $6,91 \pm 105,95$ بيكمغرام على التوالي عن المجموعة الاولى والتي سجلت أقل تركيز $2,26 \pm 69,29$ بيكمغرام.

أما في الأسبوع الرابع أظهرت النتائج فرقاً معنواً في المجموعة الرابعة بتركيز $9,22 \pm 142,38$ بيكمغرام وسجلت ارتفاع عند مستوى معنوية >0.05 . مقارنة مع المجموعة الاولى والثانية والثالثة إذ وصلت التركيز إلى $5,95 \pm 68,23$ ، $2,87 \pm 97,35$ ، $7,19 \pm 119,54$ بيكمغرام.

الجدول (٤-٥) : يوضح تأثير البسفينول أعلى تركيز فيتامين د ٣ في مصل دم فروج اللحم

| الأسباب (تركيز فيتامين د ٣ [بيكمغرام/مل مصل دم] \pm الخطاء القياسي) | | | | المجاميع |
|---|---------------------|---------------------|--------------------|------------------|
| الأسبوع الرابع | الأسبوع الثالث | الأسبوع الثاني | الأسبوع الأول | |
| d $5,95 \pm 68,23$ | d $2,26 \pm 69,29$ | d $2,06 \pm 66,28$ | d $1,03 \pm 65,92$ | السيطرة |
| c $2,87 \pm 97,35$ | c $6,94 \pm 89,95$ | c $7,09 \pm 80,85$ | c $4,71 \pm 71,20$ | %٥ البسفينول |
| b $7,19 \pm 119,54$ | b $6,91 \pm 105,95$ | b $4,46 \pm 91,72$ | b $7,23 \pm 80,36$ | %١٠ البسفينول |
| a $9,22 \pm 142,38$ | a $9,95 \pm 121,67$ | a $1,11 \pm 101,89$ | a $2,31 \pm 86,29$ | %٢٠ البسفينول |

- الأحرف المختلفة عمودياً تشير إلى وجود فرق معنوي بين المجاميع خلال الأسبوع نفسه عند $P < 0.05$.

٤-٦ : تركيز البسفينول أ في نسيج العضلات الصدر (الرطب) لفروج اللحم

من خلال التحليل الاحصائي لتأثير مادة البسفينول أ على عضلات فروج اللحم إلى وجود فرق معنوي في المجموعة الرابعة من الأسبوع الأول إذ سجلت أعلى قيمة لتركيز البسفينول أ $٢,٤٧ \pm ١١,٠٢$ نانوغرام/غرام نسيج رطب مقارنة مع مجموعة الثانية والثالثة إذ سجلت المجاميع قيمة لتركيز البسفينول أ $٤٣,٥٧ \pm ٣,٥٧$ ، $٩٤,٦٢ \pm ٥,٩٤$ نانو غرام/غرام نسيج رطب، وقد سجلت المجموعة الأولى أقل قيمة تركيز $٠,٠٠ \pm ٠,٠٠$ نانوغرام/غرام نسيج رطب بالنسبة للمجاميع كلها حيث لوحظ وجود فرق معنوي عند مستوى معنوية $>٠,٠٥$.

لوحظت النتائج في الأسبوع الثاني إلى وجود فرق معنوي في المجموعة الرابعة امتازت بأعلى قيمة مقارنة مع المجاميع الأولى والثانية والثالثة حيث لوحظت قيمة التركيز $٢,٠٩ \pm ١٢,٧٢$ نانوغرام/غرام نسيج رطب للمجموعة الرابعة ، كما سجل فرقاً معنوياً بين المجموعة الثانية والثالثة إذ كانت التراكيز $٦٩,١٩ \pm ٤,٦٩$ ، $٦٨,٣٥ \pm ٦,٦٨$ نانو غرام/غرام نسيج رطب عند مستوى معنوية $>٠,٠٥$.

في الأسبوع الثالث من التربية امتازت المجموعة الرابعة على المجاميع الثلاثة بقيمة تركيز $٤٢,٩٥ \pm ١٣,٤٠$ نانوغرام/غرام نسيج رطب ، وبيلها المجموعة الثالثة والثانية والأولى ، حيث لوحظ فرق معنوي بين كافة المجاميع وحسب التراكيز $٢٢,٧٩ \pm ٧,٣٤$ ، $٢٢,٥٥ \pm ١,٠٩$ ، $٠,٠٠ \pm ٠,٠٠$ نانوغرام/غرام نسيج رطب في حين سجلت المجموعة الأولى فرق معنوي عن باقي المجاميع بأقل قيمة $٠,٠٠ \pm ٠,٠٠$ نانوغرام/غرام نسيج رطب عند مستوى معنوية $>٠,٠٥$. في الأسبوع الرابع من المعاملة بمادة البسفينول أ أظهرت النتائج في المجموعة الرابعة فرقاً معنوياً عند المقارنة بالمجاميع الاربعة بتراكيز $١٤,١٥ \pm ١٤,١٥$ نانوغرام/غرام نسيج رطب وقد سجلت المجموعة الأولى أقل تركيز $٠,٠٠ \pm ٠,٠٠$ نانوغرام/غرام نسيج رطب عند مستوى معنوي $>٠,٠٥$. مع وجود فرق بين المجموعة الثانية والثالثة إذ سجلت قيم التراكيز $٦,٣٣ \pm ٦,٧٨$ ، $٧,٧٤ \pm ٨,٧٤$ نانو غرام/غرام نسيج رطب.

الجدول ٤-٦: يوضح تركيز البسفينول في نسيج عضلات فروج اللحم

| الأسباب (تركيز البسفينول في العضلات [نانوغرام/غرام نسيج رطب] ± الخطاء القياسي) | | | | | المجاميع |
|--|----------------|----------------|---------------|-----|-----------|
| الأسبوع الرابع | الأسبوع الثالث | الأسبوع الثاني | الأسبوع الأول | | |
| ٠,٠٠±٠,٠٠ | ٠,٠٠±٠,٠٠ | ٠,٠٠±٠,٠٠ | ٠,٠٠±٠,٠٠ | | السيطرة |
| ٥٠,٣٣±٦,٠٦ | ٥١,٠٩±٥,٢٢ | ٥٠,١٩±٤,٦٩ | ٥٠,٥٧±٣,٤٣ | %٥ | البسفينول |
| b٠,٧٤±٨,٧٨ | b٠,٧٩±٧,٣٤ | b٠,٣٥±٦,٦٨ | b٠,٦٢±٥,٩٤ | %١٠ | البسفينول |
| a١,٩٠±١٤,١٥ | a٠,٩٥±١٣,٤٢ | a٢,٠٩±١٢,٧٢ | a٢,٤٧±١١,٠٣ | %٢٠ | البسفينول |

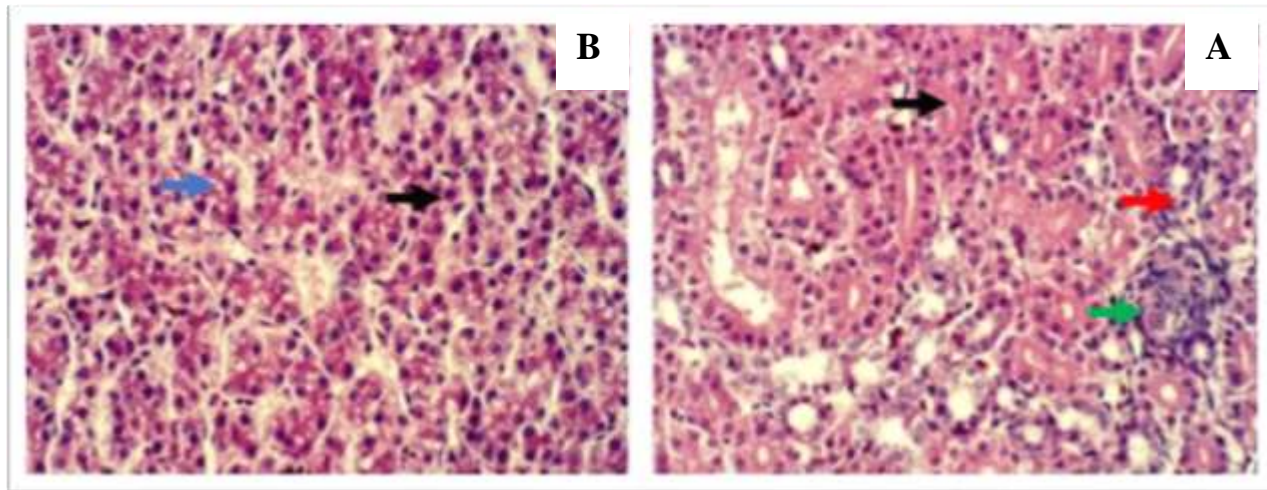
- الأحرف المختلفة عمودياً تشير إلى وجود فرق معنوي بين المجاميع خلال الأسبوع نفسه عند $P<0.05$.

٤ - ٧: التغيرات المرضية النسجية

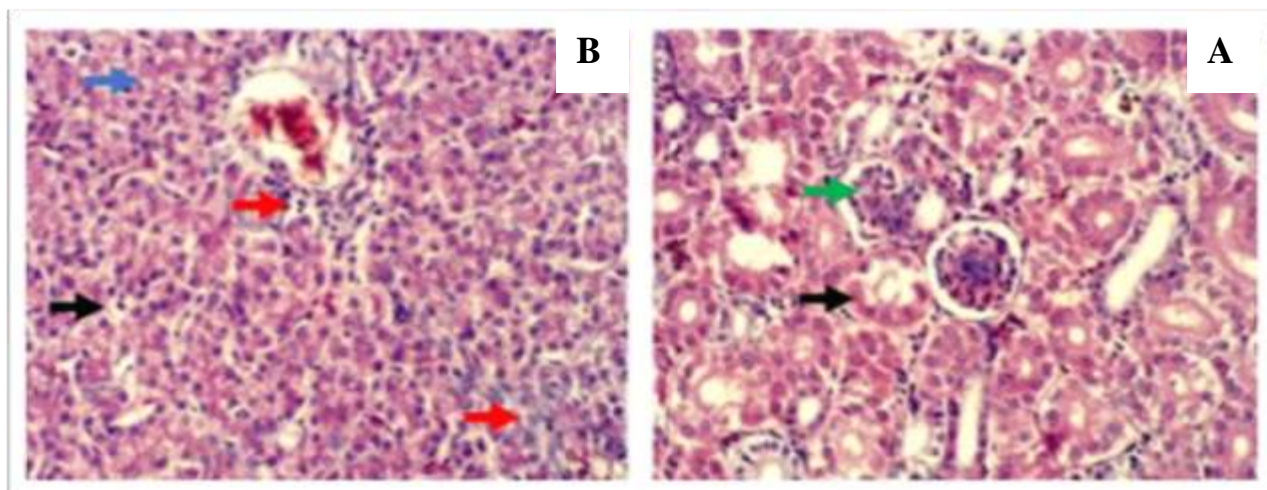
تبين من المقطع النسيجي في الكلية لأفراخ فروج اللحم من مجموعة السيطرة ، والمجاميع المعاملة بالبسفينول أ . حيث يشمل التركيب الطبيعي لنسج الكلية وجود قشرة واللب والكبيبات والنبيبات الكلوية . أشارت نتائج الدراسة المرضية النسجية إلى ظهور آفات مرضية في نسيج كل من الكبد والكلية، إذ لوحظ في نسيج الكلية وجود تغيرات مرضية تنكسية في اليوم السابع مع انتشار التنسك الفجوي فضلاً عن ارتشاح بسيط للخلايا الالتهابية مع أحثاق في الاوعية الدموية

الدموية ، وفي اليوم الرابع عشر لوحظ وجود النخر التجلطي وتوتر الخلية الضبوبي متمثل بتتخثر للنبيبات الكلوية وكذلك الكبيبات ، أما في اليوم الحادي والعشرين فقد لوحظ ارتشاح كثيف للخلايا الالتهابية أحادية النواة وبالأخص اللمفية مع انتشار واضح للتتخثر التجلطي في نسيج الكلية مع وجود تتخثر في النسيج الخلالي الكلوي ، أما في اليوم الثامن والعشرين فقد لوحظ التتخثر التجلطي منتشرًا في كامل نسيج الكلية مع تحطم في اللمة الكبيبية فضلاً عن ارتشاح الخلايا اللمفية. أما بالنسبة للمقطع النسيجي في الكبد في مجموعة السيطرة التي توضح النسيج الطبيعي ، حيث يلاحظ الوريد المركزي محاط بالخلايا الكبدية المرتبة بصورة شعاعية والجيانيات بين الخلايا الكبدية. أما نسيج الكبد لأفراخ فروج اللحم المعاملة بمادة البسفينول أ فقد أظهرت المقاطع النسيجية في اليوم السابع إلى وجود تنسك فجوي في عدد من الخلايا الكبدية، أما في اليوم الرابع عشر فقد لوحظ انتشار للتنسق الفجوي وتتخثر الخلايا الكبدية حول الوريد

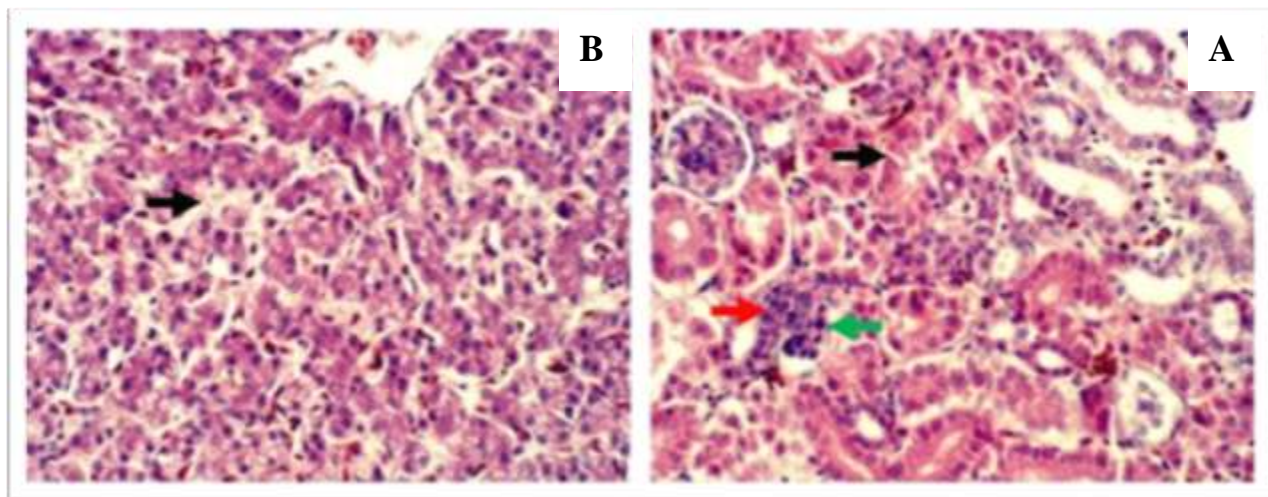
المركري، أما في اليوم الحادي والعشرين فقد لوحظ وجود التخثر التجلطي مع ارتشاحات بسيطة للخلايا الالتهابية أحادية النواة في نسيج الكبد حول الباحة البابية وفي اليوم الثامن والعشرين فقط لوحظ فرط تنسج القنية الصفراوية مع التنسك الفجوي في الخلايا الكبدية.



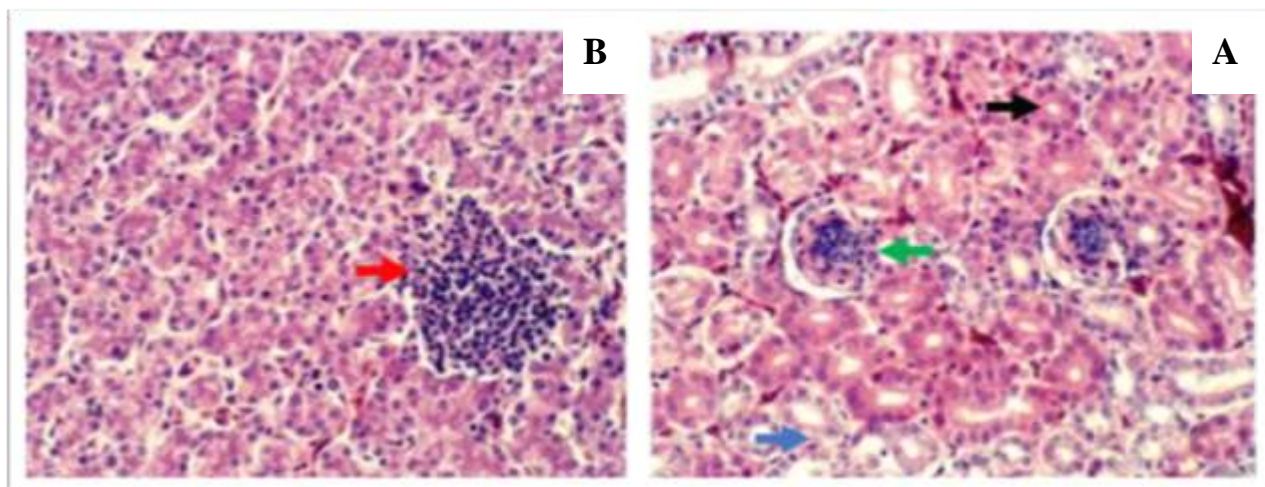
الشكل ٤-٤: مقاطع نسجية في الكلية (A) والكبد (B) لليوم (٧) في المجموعة المعاملة باستخدام ٥ % من الجرعة المميتة الوسطية للبسفينول أ، إذ يلاحظ التخثر التجلطي (السهم)، التنسك الفجوي (السهم)، ارتشاح خلايا التهابية (السهم)، تحطم في اللمة الكبيبية مع توسيفها بشكل انفاس خلوية (السهم)، الهيماتوكسيلين والآيوسين. $\times 400$.



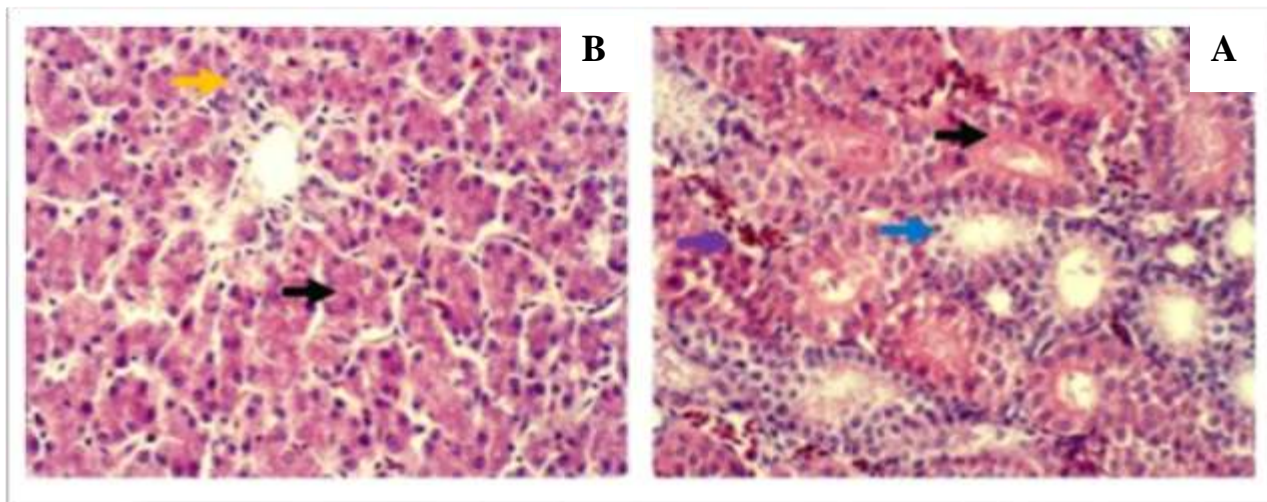
الشكل ٤-٥: مقاطع نسجية في الكلية (A) والكبد (B) لليوم (١٤) في المجموعة المعاملة باستخدام ٥ % من الجرعة المميتة الوسطية للبسفينول أ، إذ يلاحظ التخثر التجلطي مع انفاس خلوية (السهم)، التنسك الفجوي (السهم)، ارتشاح خلايا التهابية (السهم)، تحطم في اللمة الكبيبية (السهم). الهيماتوكسيلين والآيوسين. $\times 400$.



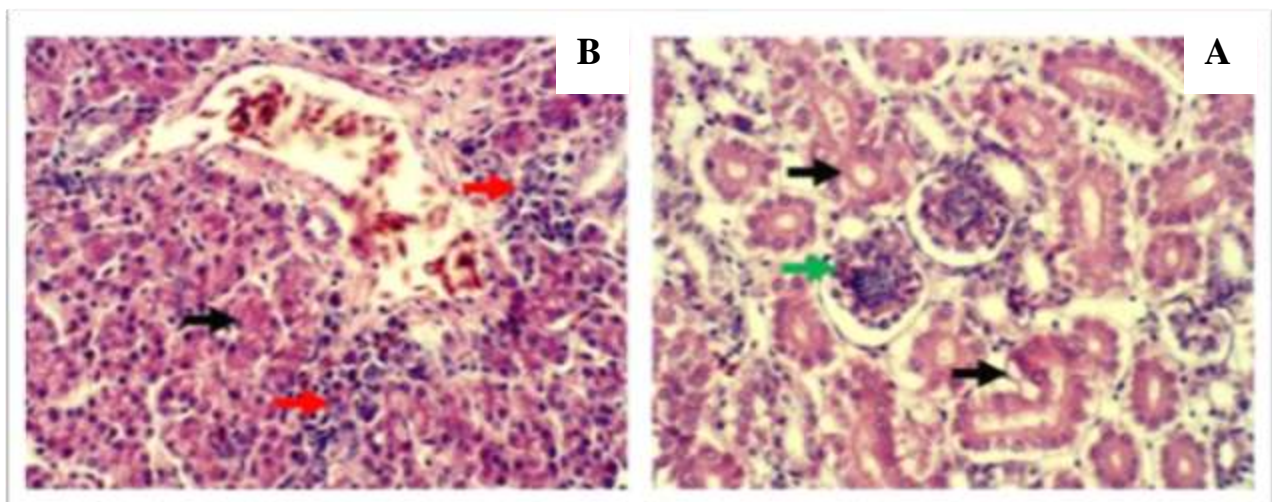
الشكل ٤-٣: مقاطع نسجية في الكلية(A) والكبد (B) لليوم ٢١ في المجموعة المعاملة باستخدام ٥٪ من الجرعة المميتة الوسطية للبسفينول أ، إذ يلاحظ النخر التجلطي مع انفاث خلوية (السهم)، ارتشاح خلايا التهابية (السهم)، تحطم في اللمة الكبيبية مع توسيفها بشكل انفاث خلوية (السهم).
الهيمازوكسيلين والايوسين. $\times ٤٠٠$.



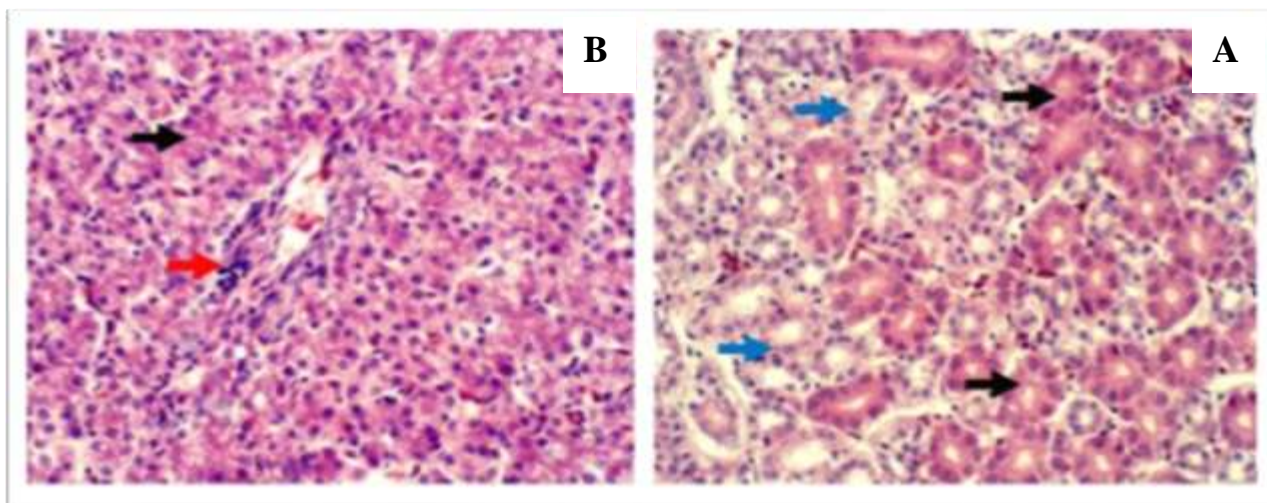
الشكل ٤-٤: مقاطع نسجية في الكلية (A) والكبد (B) لليوم ٢٨ في المجموعة المعاملة باستخدام ٥٪ من الجرعة المميتة الوسطية للبسفينول أ، إذ يلاحظ النخر التجلطي مع انفاث خلوية (السهم)، التكس الفجوي (السهم)، ارتشاح خلايا التهابية (السهم)، تحطم في اللمة الكبيبية مع توسيفها بشكل انفاث خلوية (السهم).
الهيمازوكليلين والايوسين. $\times ٤٠٠$.



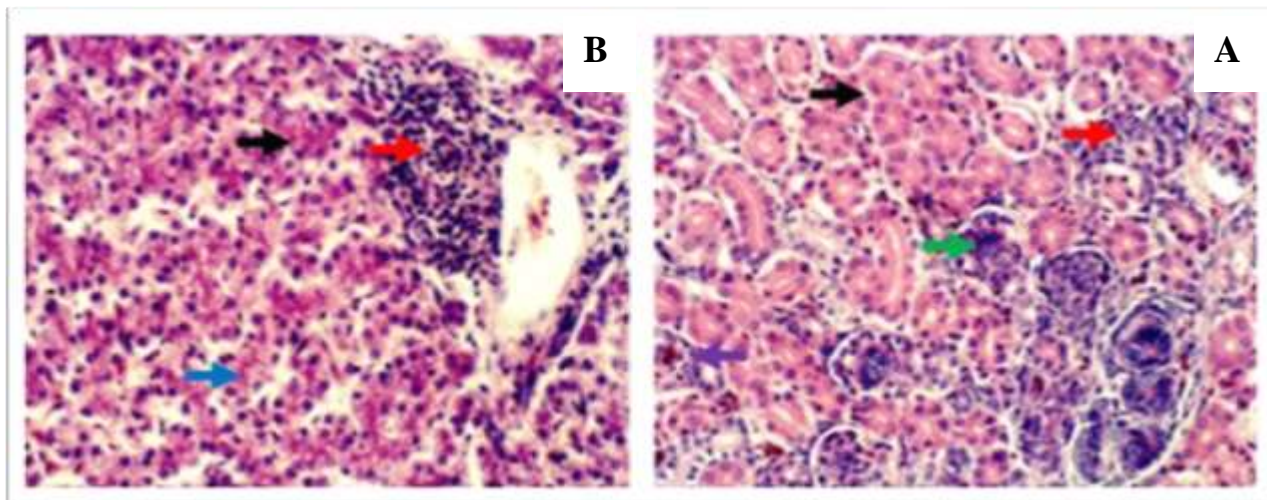
الشكل ٤-٥ : مقاطع نسجية في الكلية (A) والكبد (B) لليوم (٧) في المجموعة المعاملة باستخدام ١٠٪ من الجرعة المميتة الوسطية للبسفينول أ، إذ يلاحظ النخر التجلطي مع انقاض خلوية (السهم)، التكس الفجوبي (السهم)، تحطم في اللمة الكبيبية مع توسيفها بشكل انقاض خلوية (السهم)، النزف الخلالي (السهم)، الهيماتوكسيلين والابوسين. $\times ٤٠٠$.



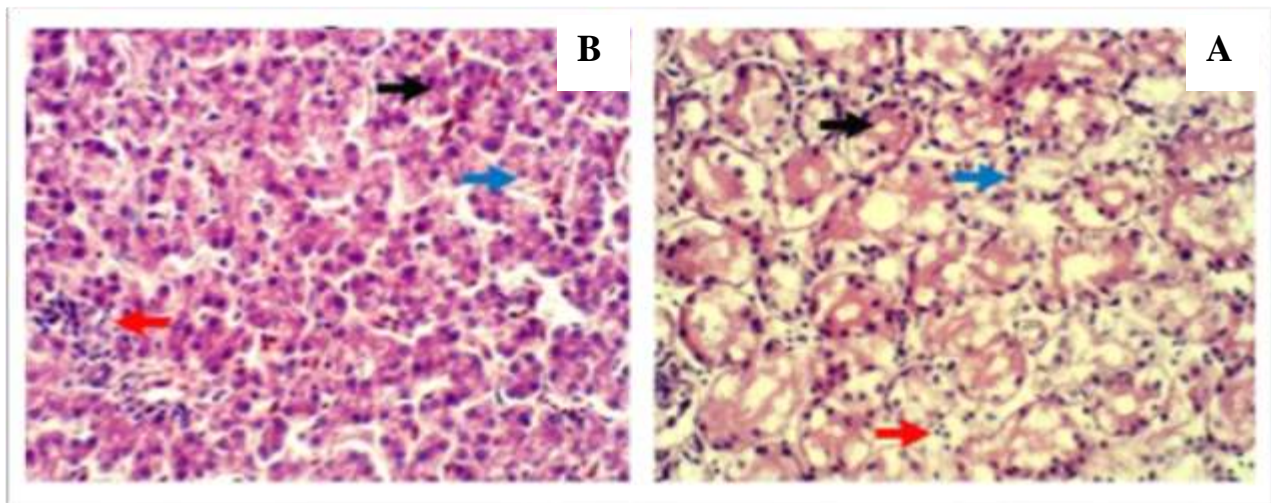
الشكل ٤-٦: مقاطع نسجية في الكلية (A) والكبد (B) لليوم (٤) في المجموعة المعاملة باستخدام ١٠٪ من الجرعة المميتة الوسطية للبسفينول أ، إذ يلاحظ النخر التجلطي مع انقاض خلوية (السهم)، ارتشاح خلايا التهابية (السهم)، تحطم في اللمة الكبيبية مع توسيفها بشكل انقاض خلوية (السهم)، الهيماتوكليلين والابوسين. $\times ٤٠٠$.



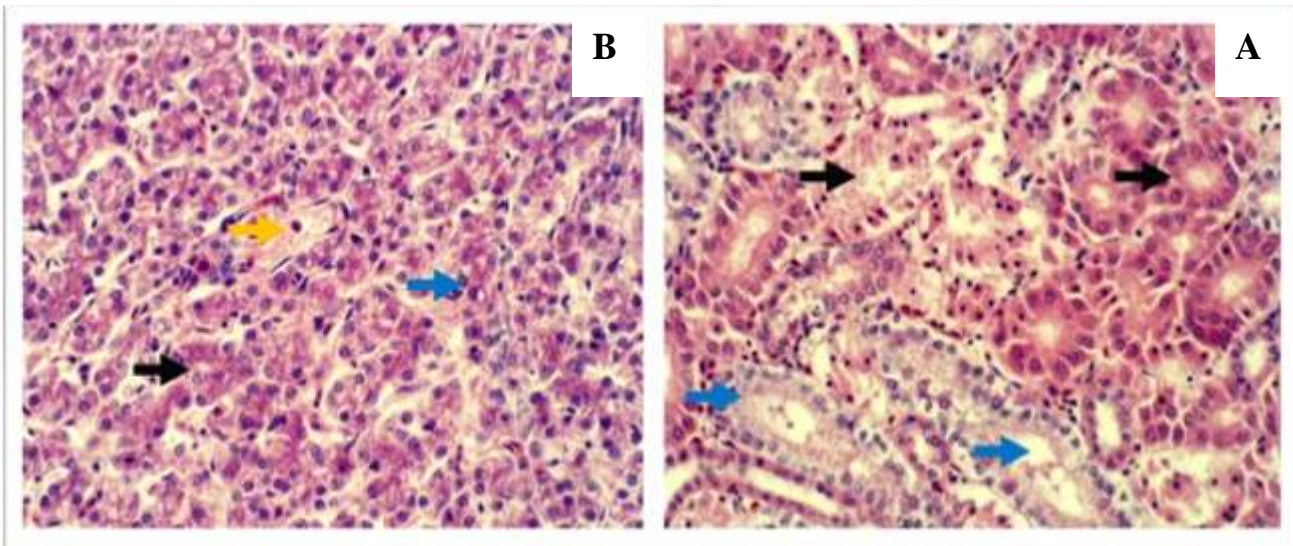
الشكل ٤-٧: مقاطع نسجية في الكلية (A) والكبد (B) لليوم ٢١ في المجموعة المعاملة باستخدام ١٠٪ من الجرعة المميتة الوسطية للبسفينول أ، إذ يلاحظ النخر التجلطي مع انقاض خلوية (السهم)، التنكس الفجوي (السهم)، ارتشاح خلايا التهابية (السهم)، الهيماتوكسيلين والابوسين. ٤٠٠×.



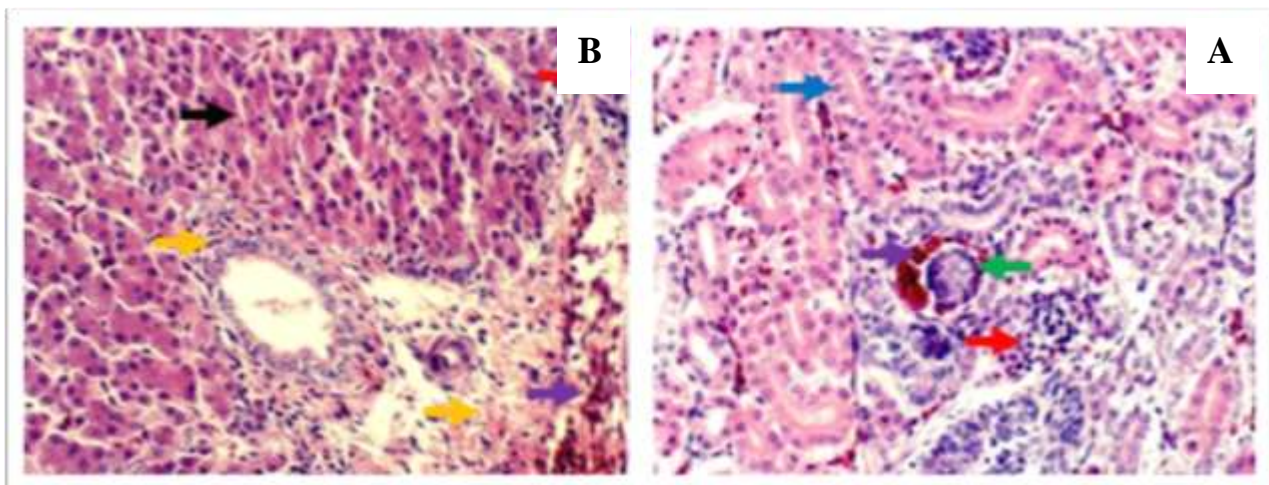
الشكل ٤-٨: مقاطع نسجية في الكلية (A) والكبد (B) لليوم ٢٨ في المجموعة المعاملة باستخدام ١٠٪ من الجرعة المميتة الوسطية للبسفينول أ، إذ يلاحظ النخر التجلطي مع انقاض خلوية (السهم)، التنكس الفجوي (السهم)، ارتشاح خلايا التهابية (السهم)، تحطم في اللمة الكبيبية مع توسيفها بشكل انقاض خلوية (السهم)، النزف الخلالي (السهم)، الهيماتوكسىلين والابوسين. ٤٠٠×.



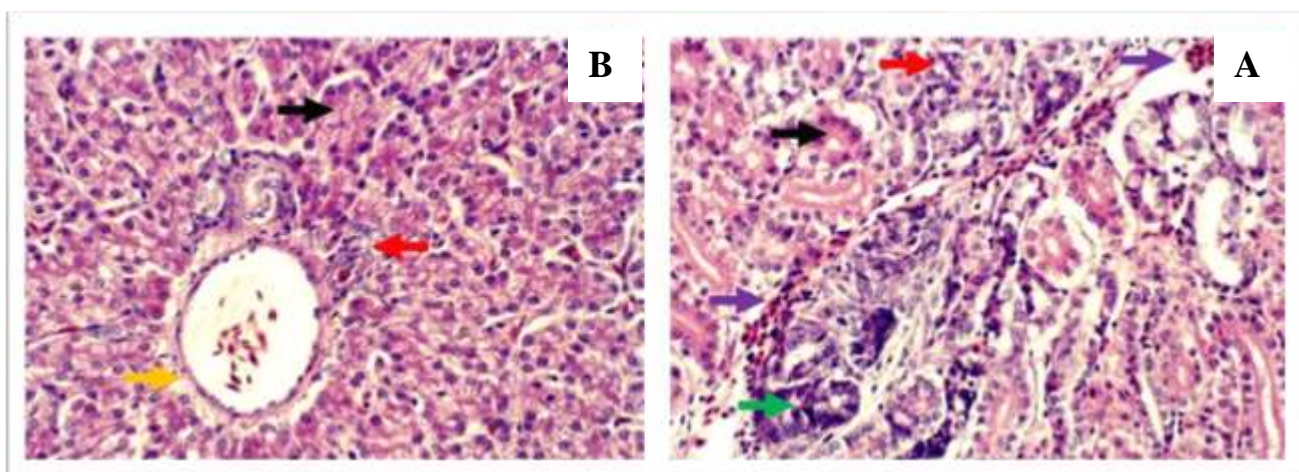
الشكل ٤-٩: مقاطع نسجية في الكلية (A) والكبد (B) لليوم ٧ في المجموعة المعاملة باستخدام ٢٠٪ من الجرعة المميتة الوسطية للبسفينول أ، إذ يلاحظ النخر التجلطي مع انقاض خلوية (السهم)، التنسف الفجوي (السهم)، ارتتاح خلايا التهابية (السهم)، الهيماتوكسيلين والايوسين. $\times ٤٠٠$.



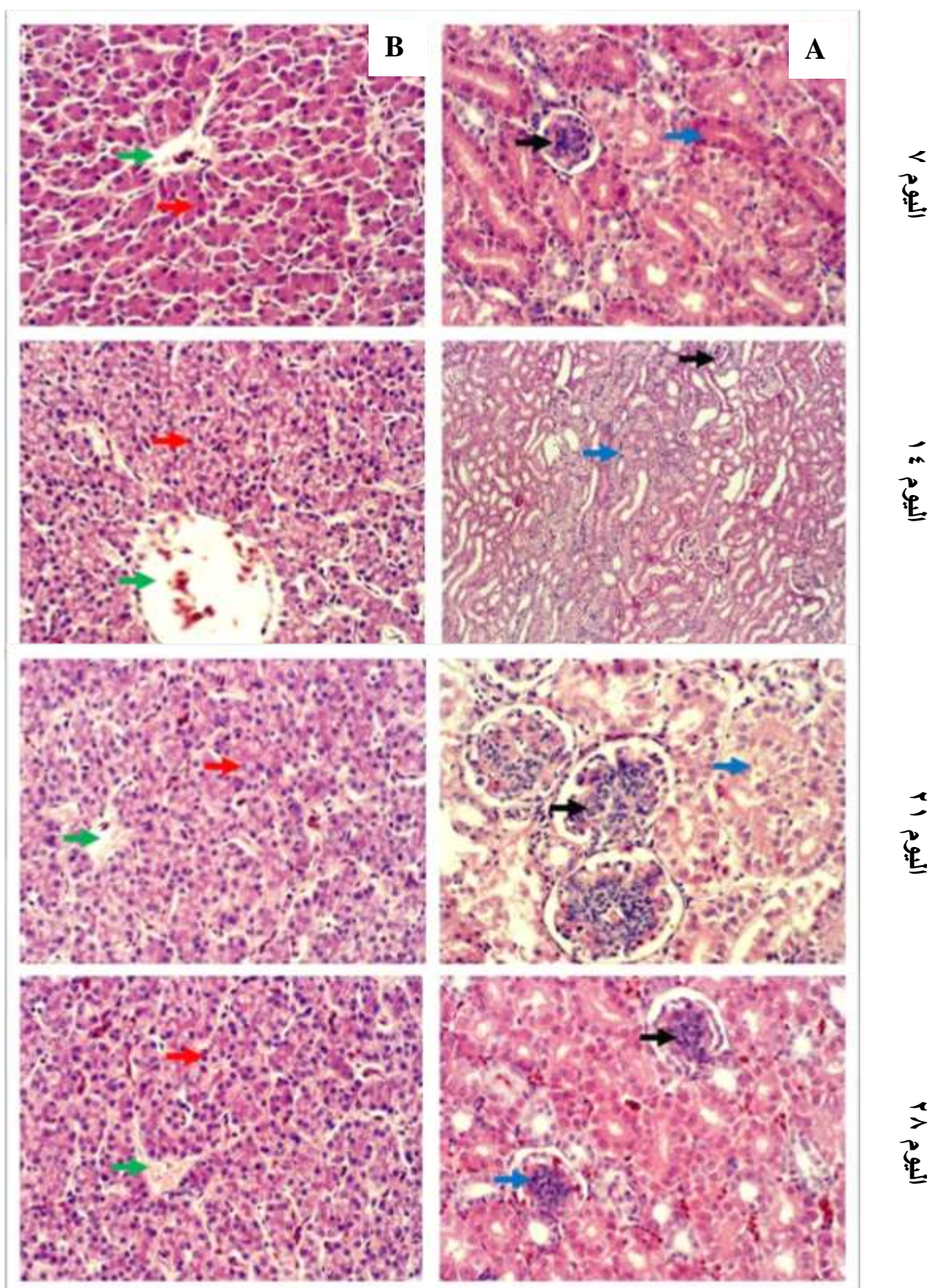
الشكل ٤-١٠: مقاطع نسجية في الكلية (A) والكبد (B) لليوم ٢١ في المجموعة المعاملة باستخدام ٢٠٪ من الجرعة المميتة الوسطية للبسفينول أ، إذ يلاحظ النخر التجلطي مع انقاض خلوية (السهم)، التنسف الفجوي (السهم)، فضلاً عن التليف (السهم). الهيماتوكسيلين والايوسين. $\times ٤٠٠$



الشكل ٤-١١: مقاطع نسجية في الكلية (A) والكبد (B) لليوم ٢٨ في المجموعة المعاملة باستخدام ٢٠٪ من الجرعة المميتة الوسطية للبسفينول أ، إذ يلاحظ النخر التجلطي مع انفاس خلوية (السهم)، التكس الفجوي (السهم)، ارتشاح خلايا التهابية (السهم)، تحطم في اللمة الكبيبية مع توسيفها بشكل انفاس خلوية (السهم)، النزف الخلالي (السهم)، فضلا عن التليف (السهم). الهيماتوكسيلين والبايسين. $\times ٤٠$.



الشكل ٤-١٢: مقاطع نسجية في الكلية (A) والكبد (B) لليوم ١٤ في المجموعة المعاملة باستخدام ٢٠٪ من الجرعة المميتة الوسطية للبسفينول أ، إذ يلاحظ النخر التجلطي مع انفاس خلوية (السهم)، التكس الفجوي (السهم)، ارتشاح خلايا التهابية (السهم)، تحطم في اللمة الكبيبية مع توسيفها بشكل انفاس خلوية (السهم)، النزف الخلالي (السهم)، فضلا عن التليف (السهم). الهيماتوكليلين والبايسين. $\times ٤٠$.



الشكل ٤-١٣: مقاطع نسجية في الكلية (A) والكبد (B) للأيام ٧، ١٤، ٢١ و ٢٨ في مجموعة السيطرة، إذ يلاحظ التركيب السوي للمرة الكبيبية (السهم)، النببات الكلوية (السهم)، الخلايا الكبدية (السهم)، الوريد المركزي (السهم). الهيماتوكسيلين والإيوسين. $\times ٤٠٠$.

الفصل الخامس

المناقشة

Discussion

٥ -١: تأثير البسفينول أ على معدل الوزن الأسبوعي

أشارت نتائج الدراسة الحالية ان أعطاء مادة البسفينول أ للأفراخ فروج اللحم والجرعة فموياً وبتراكيز مختلفة من اليوم الأول للمجاميع الثلاثة لم يلاحظ أي فرق معنوي مابين معدل الوزن الأسبوعي للمجاميع مقارنة مع مجموعة السيطرة ، وفي الأسبوع الأول من التربية كان معدل الوزن الأسبوعي في انخفاض في كافة المجاميع مقارنة مع مجموعة السيطرة وهذا ينطبق على كافة المجاميع ، في الأسبوع الثاني والثالث والرابع ، كما لوحظ عدم وجود فروقات معنوية بين المجاميع المعاملة خلال الأسبوع نفسه ، وهذه النتائج لا تتفق مع ما ذكره (Vom saal *et al.*, 2012) عند معاملة الجرذان بمادة البسفينول أ يسبب زيادة في الوزن الجسم ويعزى إلى زيادة في النسيج الدهني وحجم الخلايا الشحمية Adipocyte ، ومما ثلثة لدراسة أجراها في أسماك (Abdel-Tawwab and Hamaed , 2018) . نوعية Nile tilapia لوحظ وجود انخفاض بالوزن نتيجة خمول ، وعدم القدرة على التنفس ، وظهور علامات عصبية وتداي الاجنة .

٥ -٢: تأثير البسفينول أ على وزن الكبد النسبي

من خلال الدراسة الحالية على وزن الكبد النسبي لم يلاحظ أيه فروقات معنوية في كافة المجاميع مقارنة مع السيطرة ، ومع كافة الأسابيع ، وهذه النتائج تتطابق ماتوصل اليه (Stump *et al.*, 2010) إذ وضحت دراسته للبسفينول أ وعن طريق التجريع الفموي له تأثيرات على الكبد والكلية ووزن الجسم عند المعاملة الجرذان لعدة أجيال بالبسفينول أ ، وهذه النتائج غير مطابقة لما توصلت (آل فرحان ، ٢٠١٥) انخفاض معدل وزن الكبد معنويًا في الجرذان المجزعة فموياً وبجرعة عالية للذكور الجرذان ، ومن تأثيرات البسفينول أ على الكبد زيادة تكاثر الخلايا الكبدية (Takahashi and Oishi , 2003) . اذا كانت هذه الزيادة بدون تغيرات مرضية نسجية عدّ تغيراً فسلجياً لزيادة العمل أو متطلبات الأيض (Evans *et al.*, 1997) . وقد تؤثر بعض

الجرعة من البسفينول أ انخفاض في وزن الجسم والاعضاء الداخلية وارتفاع في سمية الكبد . (Richter *et al.*, 2007)

٣-٥ : تأثير مادة البسفينول أ على الوزن النسبي للكلية

بيّنت نتائج الدراسة الحالية بالنسبة لوزن النسبي للكلية لم تظهر أية تغييرات معنوية للمجاميع المعاملة مقارنة مع السيطرة، وهذه النتائج تتفق مع (آل فرحان ، ٢٠١٥) كذلك لم تلاحظ أية تغييرات معنوية في وزن الكلية النسبي للجرذان (الإناث) عند المعاملة بنفس المادة، وجاءت مشابهة في عدم تغير وزن الكلية في الجرذان الإناث المعاملة بالبسفينول أ في دراسة (Kobayashi *et al.*, 2005). ولا تتفق مع نتائج الزيادة الوزن النسبي للكلية في دراسة أجراها (Sangai *et al.*, 2014)، وأشار إلى سبب الزيادة هو الخلل والاعتلال في وظائف الكلية نتيجة المعاملة بالبسفينول أ وخلل في أيض النواتج السامة وتراكم وزيادة الكرياتينين و يؤدي إلى عدم قابلية الكلية في طرح هذه السموم.

٤-٥ : تأثير البسفينول أ على تركيز فيتامين D3

كما أشارت نتائجا دراستنا عند معاملة أفراد فروج اللحم بمادة البسفينول أ ارتفاع بتركيز فيتامين D3 طردياً مع زيادة تركيز الجرعة المميتة الوسطية $50\%, 10\%, 20\%$ ، كما لا تتفق هذه الدراسة مع ما جاء به دراسة أن الأفراد المعرضين لتركيز أعلى من الفئران يلاحظ مستوى تركيز فيتامين D3 أقل من الأفراد الذين لم يتم التعرض لهذه المادة (Johns *et al.*, 2016; Johns *et al.*, 2017) وأن نتيجة هذا الاختلاف يعود إلى أن مادة البسفينول أ هي من المواد المسيبة لاضطرابات الغدد الصماء فتعمل على ارتفاع وانخفاض في الفيتامينات ومنها فيتامين D3 .

٥-٥ : التغيرات المرضية النسجية في الكبد والكلية

أشارت نتائج الدراسة الحالية إلى أن إعطاء البسفينول أ بجرع مختلفة من الجرعة المميتة الوسطية إلى حدوث آفات تنكسية فجوية في الأيام الأولى من الدراسة وازدادت شدة هذه الآفات مع تقدم المدة الزمنية للتغير إلى تأثيرات مرضية نسجية لارجعية تمثلت بالتخثر التجلطي في نسيج الكبد والكلية مع توسيفها بشكل انفاس خلوية مما سبب ارتشاح لخلايا التهابية أحادية النواة متمثلة بالخلايا البلعمية، والخلايا الممفية ، في النسيج المتضرر كما تتفق مع ما جاء به في لكتد الفئران (Al-Mossawi *et al.*, 2013)، وكذلك تتفق مع (Wang *et al.*, 2019) . كذلك شملت الآفات في الكلية حدوث توسيع في حيز بومان في اللمة الكبيبية وفي الأيام المتقدمة تم تسجيل تحطم في اللمة الكبيبية وتجمعها بشكل انفاس خلوية ، أما في الكبد فقد سجل

ارتشاح لخلايا التهابية أحادية النواة مع فرط تنسج خلايا كوبفر فضلاً عن التزف الخلالي (Helal *et al.*, 2018).

أشارت العديد من الدراسات السابقة إلى تأثير البسفينول أ على نسيج الكبد والسمية المرضية في هذه الخلايا، إذ أشارت الدراسة التي اجرتها (Mahdavinia *et al.*, 2021) إلى إحداث تأثيرات مرضية في الكبد تمثلت في تتكس وتنخر الخلايا الكبدية وفرط تنسج في الباحثات البابية لکبد الفئران وسبب ارتفاع في مستوى صورة الدهن في الدم، كما أشارت الدراسة التي قام بها (Bindhumol *et al.*, 2003) إلى أن البسفينول أ يحدث تغيرات تتكيسية مرضية في الكبد والتي يمكن علاجها بتجريع فيتامين ج مع ارتفاع في معايير الاجهاد التأكسدي في نسيج الكبد. ان الدراسات السابقة جاءت متطابقتان مع نتائج الدراسة الحالية من ان إعطاء البسفينول أ يحدث تغيرات مرضية نسجية في کبد افراخ الدجاج عند إعطاء البسفينول أ بتراكيز مختلفة من الجرعة المميتة الوسطية والتي تناصفت شدتها مع مقدار الجرعة، ان هذا التأثير للبسفينول أ في نسيج الكبد يووز الى التأثيرات المحتملة من خلال التأثير على تفاعلات جذور الاوكسجين الحرر والاجهاد التأكسدي والتي تسبب عرقلة او إعاقة في عمل الخلية الكبدية المتمثلة بالأيض عموماً وايضاً الدهون خصوصاً، اذ ان البسفينول أ يسبب اضطرابات في انتاج انزيمات سايتوكروم وفي عملها في الخلية الكبدية مما يسبب إعاقة علمية لعملية الفسفر التأكسدية oxidative phosphorylation مما يسبب انتاج جذور الاوكسجين الحرر والتي تعمل على احداث الاجهاد التأكسدي والتي تتمثل في اضطرابات ايض الخلية الكبدية ثم ظهور آفة التتكس الفجوي والتي ومع مرور الوقت وتراكم المادة السامة في الخلية تصبح غير قادرة على العمل مما يؤدي بالخلية الى الموت من خلال آفة النخر التجلطي (Hassan *et al.*, 2012).

أشارت الدراسة التي اجرتها (Toledano *et al.*, 2022) إلى ان إعطاء البسفينول أ يسبب تغيرات مرضية في نسيج الكلية متمثلة ارتفاع في انزيمات وظائف الكلية مثل ارتفاع في الكرياتين والالبومين والبيوريا في مصل دم الفئران، كما أشارت دراسة أجراها (Herrero *et al.*, 2014) إلى ان إعطاء البسفينول أ يسبب حدوث ارتفاع تركيز الالبومين في البول مع ارتفاع في اظهار على التعبير overexpression عامل نمو الأورام (TNFB) من الصنف بيتا في نسيج الكلية بسبب الأذى الأصل في الخلايا الظهارية المبطنة للنبيبات الكلوية. ان نتائج الدراستين السابقتين جاءت مطابقة للدراسة الحالية من ان إعطاء البنفسينول أ سبب تغيرات مرضية في نسيج الكلية وبالأخص في اللمة الكبيبية والخلايا الظهارية المبطنة للنبيبات الكلوية، والتي يمكن أن توزع الى تأثير البنفسينول أ على الخلايا الظهارية المبطنة للنبيبات الكلوية

والمبطنة ايضاً لتلك الموجودة في الأوعية الدموية ضمن تركيب اللمة الكبيبية والتي تعمل من خلال تفعيل الموت الخلوي المبرمج لتلك الخلايا من خلال تحفيز اظهار الكاسيبيز السادس في تلك الخلايا والذي بدوره يقود الخلية الى الموت الخلوي المبرمج في المراحل الأولى من التسمم الا ان ارتفاع تركيز البسفينول في النسيج مع تقدم عمر التجربة يمكن أن يسبب اضطرابات في الوظيفية الافرازية والتي تمثل بعدم قدرة الخلايا على ترشيح البول أو إعادة امتصاص البروتين من البول المترشح والتي تنتهي بتخر الخلية التجلطي وفي النهاية إمكانية حدوث الفشل الكلوي .(Priego *et al.*, 2021)

الفصل السادس

الاستنتاجات والتوصيات

Conclusions and Recommendations

٦-١ : الاستنتاجات

١. كانت الجرعة الوسطية المميتة للبسفينول أ ٣٦٧,٤١ مليغراٌم / كيلوغرام من وزن الجسم وعن طريق الفم .
٢. أن التعرض للبسفينول أ سبب انخفاضاً في الأوزان الأسبوعي لافراخ فروج اللحم مقارنة مع مجموعة السيطرة .
٣. قدمت الدراسة الحالية دليلاً ملماً على أن التعرض للبسفينول أ وبالجرعة المختلفة لم يعط تأثيراً على الأوزان النسبي للكبد والكلية خلال مدة التجربة .
٤. أن ارتفاع نسبة تركيز فيتامين د٣ للطيور المجزعة فموياً للبسفينول أ مع تقدم عمر التجربة .
٥. زيادة تركيز البسفينول أ في نسيج العضلات في الأفراخ المعاملة ومقارنة مع مجموعة السيطرة.
٦. من خلال الدراسة الحالية لتغيرات المرضية النسجية لوحظت تغيرات نسجية تنحية وتنكيسية في كل من الكبد الكلية .

٦-٢: التوصيات

١. عدم استخدام المنتوجات البلاستيكية والتي يدخل في صناعتها البسفينول أ ولاسيما تلك التي تستعمل في حقول الدواجن من معلم ومناهل، بالإضافة إلى علب الأدوية واللقاحات.
٢. إجراء عمليات مسحية وإحصائية لمستوى تركيز البسفينول أ في الدم الإنسان والحيوانات ولاسيما الدواجن والأسماك لما لها من تأثير كبير على صحة والبيئة لكون هذه المادة تدخل في صناعة الأغذية المستهلكة من قبل الإنسان والحيوانات.
٣. إجراء دراسة على مدى تأثير ودور الفيتامينات ومضادات الاكسدة في التقليل من سمية وأذى مادة البسفينول أ.
٤. إضافة مواد علفية تحتوي على مضادات الاكسدة لغرض حماية الدواجن والمستهلك.

المصادر

References

أ – المصادر باللغة العربية :

آل فرحان ، مواهب بشير جاسم (٢٠١٥) . تأثير مادم البسفينول أ في الخصوبة وبعض معايير الدم والدور الوقائي لفيتامين E و C للحد من هذه التأثيرات في الجرдан Albino اطروحة دكتوراة ، كلية التربية للعلوم الصرفة ، جامعة كربلاء ، العراق.

ب – المصادر باللغة الانكليزية

- A. Korkmaz, M. A. Ahbab, D. Kolankaya, and N. Barlas, “Influence of vitamin C on bisphenol A, nonylphenol and octylphenol induced oxidative damages in liver of male rats,” *Food and Chemical Toxicology*, vol. 48, no. 10, pp. 2865–2871, 2010.
- Abdel-Tawwab, M., & Hamed, H. S. (2018). Effect of bisphenol A toxicity on growth performance, biochemical variables, and oxidative stress biomarkers of Nile tilapia, *Oreochromis niloticus* (L.). *Journal of Applied Ichthyology*, 34(5), 1117-1125.
- Almeida, S., Raposo, A., Almeida González, M., & Carrascosa, C. (2018). Bisphenol A: Food exposure and impact on human health. *Comprehensive Reviews in Food Science and Food Safety*, 17(6), 1503-1517.
- AL-Mossawi, A. H. (2013). Physiological and reproductive activity in rats exposed to bisphenol A during different life stages. PhD Thesis. College of Veterinary Medicine, Basrah University, 50-202.

- Amjad, S., Rahman, M. S., & Pang, M. G. (2020). Role of antioxidants in alleviating bisphenol A toxicity. *Biomolecules*, 10(8), 1105.
- Ayazgök, B., & Küçükkilinç, T. T. (2017). Düşük Doz Bisfenol A'nın Büyüklük Etkileri. *FABAD Journal of Pharmaceutical Sciences*, 42(2), 139.
- Barbut, S. (2002). An Industry Guide. Poultry Products Processing.
- Berg, C., Halldin, K., & Brunström, B. (2001). Effects of bisphenol A and tetrabromobisphenol A on sex organ development in quail and chicken embryos. *Environmental Toxicology and Chemistry: An International Journal*, 20(12), 2836-2840.
- Bern, H.A. (1992). The fragile fetus. In: Colborn T., Clement C., eds. Chemicallyinduced Alterations in Sexual and Functional Development: The Wildlife/Hurnan Connection. Princeton Scientific Publishing Co. pp. 9-15.
- Bindhumol, V., Chitra, K. C., & Mathur, P. P. (2003). Bisphenol A induces reactive oxygen species generation in the liver of male rats. *Toxicology*, 188(2-3), 117-124.
- Bondesson, M., Jönsson, J., Pongratz, I., Olea, N., Cravedi, J. P., Zalko, D.,& Gustafsson, J. A. (2009). A CASCADE of effects of bisphenol A. *Reproductive toxicology (Elmsford, NY)*, 28(4), 563-567.
- Bowes, D. A., & Halden, R. U. (2019). Breast cancer and dietary intake of endocrine disruptors: a review of recent literature. *Current Pathobiology Reports*, 7(3), 41-46.

- Cabaton, N. J., Canlet, C., Wadia, P. R., Tremblay-Franco, M., Gautier, R., Molina, J., & Zalko, D. (2013). Effects of low doses of bisphenol A on the metabolome of perinatally exposed CD-1 mice. *Environmental health perspectives*, 121(5), 586-593.
- Carwile, J. L., Luu, H. T., Bassett, L. S., Driscoll, D. A., Yuan, C., Chang, J. Y., & Michels, K. B. (2009). Polycarbonate bottle use and urinary bisphenol A concentrations. *Environmental health perspectives*, 117(9), 1368-1372.
- Chen, J., Saili, K. S., Liu, Y., Li, L., Zhao, Y., Jia, Y., & Huang, C. (2017). Developmental bisphenol A exposure impairs sperm function and reproduction in zebrafish. *Chemosphere*, 169, 262-270.
- Chen, W. Y., Shen, Y. P., & Chen, S. C. (2016). Assessing bisphenol A (BPA) exposure risk from long-term dietary intakes in Taiwan. *Science of the Total Environment*, 543, 140-146.
- Chu, C. Y., Pontén, A., Sun, C. C., & Jee, S. H. (2006). Concomitant contact allergy to the resins, reactive diluents and hardener of a bisphenol A/Fbased epoxy resin in subway construction workers. *Contact Dermatitis*, 54(3), 131-139.
- Cichna-Markl, M. (2012). Sample clean-up by sol-gel immunoaffinity chromatography for the determination of bisphenol A in food and urine. *Methods*, 56(2), 186-191.
- Cimmino, I., D'Esposito, V., Liguoro, D., Liguoro, P., Ambrosio, M. R., Cabaro, S., & Valentino, R. (2019). Low-dose Bisphenol-A regulates inflammatory cytokines through GPR30 in mammary

- adipose cells. *Journal of molecular endocrinology*, 63(4), 273-283.
- Corrales, J., Kristofco, L. A., Steele, W. B., Yates, B. S., Breed, C. S., Williams, E. S., & Brooks, B. W. (2015). Global assessment of bisphenol A in the environment: review and analysis of its occurrence and bioaccumulation. *Dose-response*, 13(3), 1559325815598308.
- Coughlin, J. L. (2011). Characterization of the Inhibition of Genistein Glucuronidation by Bisphenol A in Human and Rat Liver Microsomes. MSc. Thesis; the Graduate School of Biomedical Sciences/University of Medicine and Dentistry of New Jersey. USA.
- Das, D., Lee, J. F., & Cheng, S. (2004). Selective synthesis of Bisphenol-A over mesoporous MCM silica catalysts functionalized with sulfonic acid groups. *Journal of catalysis*, 223(1), 152-160.
- Dekant, W., & Völkel, W. (2008). Human exposure to bisphenol A by biomonitoring: methods, results and assessment of environmental exposures. *Toxicology and applied pharmacology*, 228(1), 114-134.
- Desai, M., Ferrini, M. G., Han, G., Jellyman, J. K., & Ross, M. G. (2018). In vivo maternal and in vitro BPA exposure effects on hypothalamic neurogenesis and appetite regulators. *Environmental research*, 164, 45-52.
- Dianin, A. P. (1891). Condensation of ketones with phenols. *Zhurnal Russkogo Fiziko-Khimicheskogo Obshchestva. J. Russ. Phys. Chem. Soc. St. Petersburg*, 23(488-517), 601-611.

- Dixon, W. J. (1980). Efficient analysis of experimental observations. *Annu Rev Pharmacol Toxicol*, 20, 441-462.
- E. Rencüzoğulları and M. Aydın, "Genotoxic and mutagenic studies of teratogens in developing rat and mouse," Drug and Chemical Toxicology, vol. 42, no. 4, pp. 409–429, 2019.
- EFSA Panel on Food Contact Materials, Enzymes, Flavourings and Processing Aids (CEF). (2015). Scientific opinion on the risks to public health related to the presence of bisphenol A (BPA) in foodstuffs. *EFSA Journal*, 13(1), 3978.
- Eldefrawy, F., Xu, H. S., Pusch, E., Karkoura, A., Alsafy, M., Elgendi, S., & Guo, T. L. (2021). Modulation of folliculogenesis in adult laying chickens by bisphenol A and bisphenol S: Perspectives on ovarian morphology and gene expression. *Reproductive Toxicology*, 103, 181-190.
- Erler, C., & Novak, J. (2010). Bisphenol a exposure: human risk and health policy. *Journal of pediatric nursing*, 25(5), 400-407.
- European Commission Directives. Commission Directive 2011/8/EU of 28 January 2011 Amending Directive 2002/72/EC as regards the restriction of use of Bisphenol A in plastic infant feeding bottles. Official Journal of the European Union (2011).
- Evans, L. W., Muttukrishna, S., Knight, P. G., & Groome, N. P. (1997). Development, validation and application of a two-site enzyme-linked immunosorbent assay for activin-AB. *Journal of Endocrinology*, 153(2), 221-230.
- Experts demand European action on plastics chemical".Reuters. 22 June 2010.

- Fahrenkopf, A., & Wagner, C. K. (2020). Bisphenol A (BPA) induces progesterone receptor expression in an estrogen receptor α-dependent manner in perinatal brain. *Neurotoxicology and teratology*, 78, 106864.
- FDA. *Update on Bisphenol A for Use in Food Contact Applications*. U.S. Food and Drug Administration, 2010. (available at: <https://www.fda.gov/media/78088/download>).
- Fic A, Žegura B, Sollner Dolenc M, Filipič M, Peterlin Mašić L. Mutagenicity and DNA damage of bisphenol A and its structural analogues in HepG2 cells. *Arh Hig Rada Toksikol.* 2013;64:189-200.
- Fic A., Sollner Dolenc, M., Filipič, M., & Peterlin Mašić, L. (2013). Mutagenicity and DNA damage of bisphenol A and its structural analogues in HepG2 cells. *Arhiv za higijenu rada i toksikologiju*, 64(2), 189-199.
- Fiege, H., Voges, H. W., Hamamoto, T., Umemura, S., Iwata, T., Miki, H., & Paulus, W. (2000). Phenol derivatives. Ullmann's encyclopedia of industrial chemistry.
- Fleisch, A. F.; Sheffield, P. E.; Chinn, C., Edelstein, B. L., and Landrigan, P. J. (2010). Bisphenol A and related compounds in dental materials. *Pediatrics*. 126(4)P: 760-768.
- Flint, S.; Markle, T.; Thompson, S., and Wallace, E. (2012). Bisphenol A exposure, effects, and policy: a wildlife perspective. *Journal of environmental management*, 104, 19-34.
- Fortune JE, Yang MY. Effects of Endocrine Disrupting Chemicals (Estrogens) on Bovine Ovaries. Society for the Study of Reproduction. 2011; 305:1-6.

- Fouyet, S., Olivier, E., Leproux, P., Dutot, M., & Rat, P. (2021). Bisphenol A, Bisphenol F, and Bisphenol S: The Bad and the Ugly. Where Is the Good?. *Life*, 11(4), 314.
- Frenzilli, G.; Martorell-Ribera, J.; Bernardeschi, M.; Scarcelli, V.; Jönsson, E.; Diano, N., and Asker, N. (2021). Bisphenol A and Bisphenol S Induce Endocrine and Chromosomal Alterations in Brown Trout. *Frontiers in Endocrinology*, 12.p:1-13.
- Furuya, M., Sasaki, F., Hassanin, A. M., Kuwahara, S., & Tsukamoto, Y. (2003). Effects of bisphenol-A on the growth of comb and testes of male chicken. *Canadian journal of veterinary research*, 67(1), 68.
- G. Csandy, H. Oberste-Frielinghaus, B. Semder, C. Baur,K.T.Schneider, and J. G. Filser, “Distribution and unspecific proteinbinding of the xenoestrogens bisphenol A and daidzein,”*Archives of Toxicology*, vol. 76, no. 5-6, pp. 299–305, 2002.
- G. Ginsberg and D. C. Rice, “Does rapid metabolism ensure negligible risk from bisphenol A?,” *Environmental Health Perspectives*, vol. 117, no. 11, pp. 1639–1643, 2009.
- Geens, T., Aerts, D., Berthot, C., Bourguignon, J. P., Goeyens, L., Lecomte, P., & Covaci, A. (2012). A review of dietary and non-dietary exposure to bisphenol-A. *Food and chemical toxicology*, 50(10), 3725-3740.
- Geens, T., Apelbaum, T. Z., Goeyens, L., Neels, H., & Covaci, A. (2010). Intake of bisphenol A from canned beverages and foods on the Belgian market. *Food Additives and Contaminants*, 27(11), 1627-1637.

- Geens, T., Roosens, L., Neels, H., & Covaci, A. (2009). Assessment of human exposure to Bisphenol-A, Triclosan and Tetrabromobisphenol-A through indoor dust intake in Belgium. *Chemosphere*, 76(6), 755-760.
- Grasso P & Hinton RH (1991). Evidence for and possible mechanisms non-genotoxic carcinogenesis in rodent liver. *Mutation Research* 248:271-290.
- Greiner, E., Kaelin, T., & Nakamura, K. (2007). Bisphenol A. CEH Report by SRI Consulting. daycare. *Environ Res*, 103(1), 9-20.
- Helal, E. G.; Soliman, M. G.; Badawi, M. M.; Abdel-Kawi, N. A. Fadel, H. A., and Abozaid, N. M. (2018). Physiological and Histopathological studies on Bisphenol-A compound as xenoestrogen in male albino rats. The Egyptian Journal of Hospital Medicine. 50(1).P 127-136.
- Heldring, N.; Pike, A.; Andersson, S.; Matthews, J.B.; Cheng, G Hartman, J.; Tujague, M.; Ström, A.; Treuter, E.; Warner, M.; et al. Estrogen Receptors: How Do They Signal and What Are Their Targets. *Physiol Rev*. 2007, 87, 905–931. [CrossRef].
- Hoekstra, E. J., & Simoneau, C. (2013). Release of bisphenol A from polycarbonate—a review. *Critical reviews in food science and nutrition*, 53(4), 386-402.
- Huang, Y. Q., Wong, C. K. C., Zheng, J. S., Bouwman, H., Barra, R., Wahlström, B., ... & Wong, M. H. (2012). Bisphenol A (BPA) in China: a review of sources, environmental levels, and potential human health impacts. *Environment international*, 42, 91-99.
- Ikezuki, Y., Tsutsumi, O., Takai, Y., Kamei, Y., & Taketani, Y. (2002). Determination of bisphenol A concentrations in human biological

- fluids reveals significant early prenatal exposure. *Human reproduction*, 17(11), 2839-2841.
- Jaeschke, H. (2008). Toxic responses of the liver. *Casarett's & Doull's Toxicology: The Basic Science of Poisoning*, 557-582.
- Jessl, L., Scheider, J., & Oehlmann, J. (2018). The domestic fowl (*Gallus gallus domesticus*) embryo as an alternative for mammalian experiments—Validation of a test method for the detection of endocrine disrupting chemicals. *Chemosphere*, 196, 502-513.
- Johns LE, Ferguson KK & Meeker JD. Relationships between urinary phthalate metabolite and bisphenol A concentrations and vitamin D levels in U.S. adults: National Health and Nutrition Examination Survey (NHANES), 2005–2010. *Journal of Clinical Endocrinology and Metabolism* 2016 101 4062–4069. (<https://doi.org/10.1210/jc.2016-2134>).
- Johns LE, Ferguson KK, Cantonwine DE, McElrath TF, Mukherjee B & Meeker JD. Urinary BPA and phthalate metabolite concentrations and plasma vitamin D levels in pregnant women: a repeated measures analysis. *Environmental Health Perspectives* 2017 125 087026. (<https://doi.org/10.1289/EHP1178>).
- K. R. Bhattarai, T. A. Riaz, H. R. Kim, and H. J. Chae, “The aftermath of the interplay between the endoplasmic reticulum stress response and redox signaling,” *Experimental and Molecular Medicine*, vol. 53, no. 2, pp. 151–167, 2021.
- K. Wang, Z. Zhao, and W. Ji, “Bisphenol A induces apoptosis, oxidative stress and inflammatory response in colon and liver of mice in a mitochondria-dependent manner,” *Biomedicine and Pharmacotherapy*, vol. 117, article 109182, 2019.

- Kabuto, H., Amakawa, M., & Shishibori, T. (2004). Exposure to bisphenol A during embryonic/fetal life and infancy increases oxidative injury and causes underdevelopment of the brain and testis in mice. *Life sciences*, 74(24), 2931-2940.
- Kang, J. H., Kondo, F., & Katayama, Y. (2006). Human exposure to bisphenol A. *Toxicology*, 226(2-3), 79-89.
- Kazemi, S., Kani, S. N. M., Rezazadeh, L., Pouramir, M., Ghasemi-Kasman, M., & Moghadamnia, A. A. (2017). Low dose administration of Bisphenol A induces liver toxicity in adult rats. *Biochemical and biophysical research communications*, 494(1-2), 107-112.
- Khan, D., & Ahmed, S. A. (2015). Epigenetic regulation of non-lymphoid cells by bisphenol A, a model endocrine disrupter: potential implications for immunoregulation. *Frontiers in endocrinology*, 6, 91.
- Kobayashi, K., Miyagawa, M., Wang, R. S., Suda, M., Sekiguchi, S., & Honma, T. (2005). Effects of in utero and lactational exposure to bisphenol A on thyroid status in F1 rat offspring. *Industrial Health*, 43(4), 685-690.
- Kobroob, A.; Peerapanyasut, W.; Chattipakorn, N.; Wongmekiat, O. Damaging (2018) E_ects of Bisphenol A on theKidney and the Protection by Melatonin: Emerging Evidences from In Vivo and In Vitro Studies. *Oxidative Med. Cell. Longev.* 2018, 2018, 1–15. [CrossRef]
- Krishnan AV, Stathis P, Permuth SF, Tokes L, Feldmen D.(1993) Bisphenol-A: An estrogenic substance is released from

- polycarbonate flanks during autoclaving. *Endocrinol* 132:2279–2286.
- Kuo, J. N., & Li, B. S. (2014). Lab-on-CD microfluidic platform for rapid separation and mixing of plasma from whole blood. *Biomedical microdevices*, 16(4), 549-558.
- Lee S, Liu X, Takeda S, Choi K. Genotoxic potentials and related mechanisms of bisphenol A and other bisphenol compounds: comparison study employing chicken DT40 cells. *Chemosphere*.2013;93:434-440.
- Lee, M., Kwon, J., & Chung, M. K. (2003). Enhanced prediction of potential rodent carcinogenicity by utilizing comet assay and apoptotic assay in combination. *Mutation Research/Genetic Toxicology and Environmental Mutagenesis*, 541(1-2), 9-19.
- Lee, S., Suk, K., Kim, I. K., Jang, I. S., Park, J. W., Johnson, V. J., & Kim, S. H. (2008). Signaling pathways of bisphenol A-induced apoptosis in hippocampal neuronal cells: Role of calcium-induced reactive oxygen species, mitogen-activated protein kinases, and nuclear factor-κB. *Journal of neuroscience research*, 86(13), 2932-2942.
- Lehmler, H. J., Liu, B., Gadogbe, M., & Bao, W. (2018). Exposure to bisphenol A, bisphenol F, and bisphenol S in US adults and children: The national health and nutrition examination survey 2013–2014. *ACS omega*, 3(6), 6523-6532.
- Liao, C., & Kannan, K. (2013). Concentrations and profiles of bisphenol A and other bisphenol analogues in foodstuffs from the United States and their implications for human exposure. *Journal of agricultural and food chemistry*, 61(19), 4655-4662.

- Liao, C., Liu, F., & Kannan, K. (2012). Bisphenol S, a new bisphenol analogue, in paper products and currency bills and its association with bisphenol A residues. *Environmental science & technology*, 46(12), 6515-6522.
- Luna, L. G. (1968). Manual of histologic staining methods of the Armed Forces Institute of Pathology.
- Maćczak A, Cyrkler M, Bukowska B, Michałowicz J. Bisphenol A,bisphenol S, bisphenol F and bisphenol AF induce different oxidativestress and damage in human red blood cells (*in vitro* study). *Toxicol In Vitro*. 2017;41:143-149.
- Mahdavinia, M., Khorsandi, L., Alboghobeish, S., Samimi, A., Dehghani, M. A., & Zeidooni, L. (2021). Liver histopathological alteration and dysfunction after bisphenol A administration in male rats and protective effects of naringin. *Avicenna Journal of Phytomedicine*, 11(4), 394.
- Markris, K. C., Andra, S. S., Jia, A., Herrick, L., Christophi, C. A., Snyder, S. A., & Hauser, R. (2013). Association between water consumption from polycarbonate containers and bisphenol A intake during harsh environmental conditions in summer. *Environmental science & technology*, 47(7), 3333-3343.
- MAS, S.; EGIDO, J.; GONZALEZ-PARRA, E. and EN REPRESENTACION DEL GRUPO DE ANALISIS DEL PAPEL DEL BISFENOL, A. E. E. P. E. H. (2017). The Importance of Bisphenol A, an Uraemic Toxin from Exogenous Sources, in Haemodialysis Patients. *Nefrologia*. 37(3). P: 229-234.

- Meli, R., Monnolo, A., Annunziata, C., Pirozzi, C., & Ferrante, M. C. (2020). Oxidative stress and BPA toxicity: an antioxidant approach for male and female reproductive dysfunction. *Antioxidants*, 9(5), 405.
- Michałowicz, J. (2014). Bisphenol A-sources, toxicity and biotransformation. *Environmental toxicology and pharmacology*, 37(2), 738-758.
- Mokra K, Kuźmińska-Surowaniec A, Woźniak K, Michałowicz J. Evaluation of DNA-damaging potential of bisphenol A and its selected analogs in human peripheral blood mononuclear cells (*in vitro* study). *Food Chem Toxicol*. 2017;100:62-69.
- Moon, M. K., Kim, M. J., Jung, I. K., Do Koo, Y., Ann, H. Y., Lee, K. J., & Park, Y. J. (2012). Bisphenol A impairs mitochondrial function in the liver at doses below the no observed adverse effect level. *Journal of Korean medical science*, 27(6), 644-652.
- Moreno-Gómez-Toledano, R., Arenas, M. I., Muñoz-Moreno, C., Olea-Herrero, N., Reventun, P., Izquierdo-Lahuerta, A., ... & Bosch, R. J. (2022). Comparison of the renal effects of bisphenol A in mice with and without experimental diabetes. Role of sexual dimorphism. *Biochimica et Biophysica Acta (BBA)-Molecular Basis of Disease*, 1868(1), 166296.
- Munguia-Lopez, E. M., Gerardo-Lugo, S., Peralta, E., Bolumen, S., & Soto-Valdez, H. (2005). Migration of bisphenol A (BPA) from can coatings into a fatty-food simulant and tuna fish. *Food additives and contaminants*, 22(9), 892-898.
- Murata, M., & Kang, J. H. (2018). Bisphenol A (BPA) and cell signaling pathways. *Biotechnology Advances*, 36(1), 311-327.

- Mustafa, S. R., & Nasser, H. S. (2017). Effect of environmental condition on contamination of plastic bottles withbisphenol a (bpa) by using histo pathological diagnosis and hormonal test. *Iraq journal of agricultural research*, 22(5).
- Nadal, A.; Ropero, A.B.; Laribi, O.; Maillet, M.; Fuentes, E.; Soria, B. Nongenomic actions of estrogens andxenoestrogens by binding at a plasma membrane receptor unrelated to estrogen receptor alpha and estrogenreceptor beta. Proc. Natl. Acad. Sci. USA 2000, 97, 11603–11608. [CrossRef] [PubMed]
- Newbold, R. R., Jefferson, W. N., & Padilla-Banks, E. (2007). Long-term adverse effects of neonatal exposure to bisphenol A on the murine female reproductive tract. *Reproductive toxicology*, 24(2), 253-258.
- Niu, Y., Zhang, J., Wu, Y., & Shao, B. (2012). Analysis of bisphenol A and alkylphenols in cereals by automated on-line solid-phase extraction and liquid chromatography tandem mass spectrometry. *Journal of agricultural and food chemistry*, 60(24), 6116-6122.
- O'Mahony, J., Moloney, M., McCormack, M., Nicholls, I., Mizaikoff,B., Danaher, M., 2013. Design and implementation of an imprinted material for the extraction of the endocrinedisruptor bisphenol A from milk. *J. Chromatogr. B* 931,164–169.
- Olea-Herrero, N., Arenas , M. I., Muñoz-Moreno, C., Gómez-Toledano, R. M., González-Santander, M., Arribas , I. and Bosch, R. J. (2014). Bisphenol-A Induces Podocytopathy with Proteinuria in Mice. *journal of cellular physiology*. 229(12). p. 2057-2066 .

- Pludowski, P., Holick, M. F., Grant, W. B., Konstantynowicz, J., Mascarenhas, M. R., Haq, A., & Wimalawansa, S. J. (2018). Vitamin D supplementation guidelines. *The Journal of steroid biochemistry and molecular biology*, 175, 125-135.
- Preethi, J., Singh, H. K., Venkataraman, J. S., & Rajan, K. E. (2014). Standardised extract of Bacopa monniera (CDRI-08) improves contextual fear memory by differentially regulating the activity of histone acetylation and protein phosphatases (PP1 α , PP2A) in hippocampus. *Cellular and Molecular Neurobiology*, 34(4), 577-589.
- Priego, A. R., Parra, E. G., Mas, S., Morgado-Pascual, J. L., Ruiz-Ortega, M., & Rayego-Mateos, S. (2021). Bisphenol A modulates autophagy and exacerbates chronic kidney damage in mice. *International journal of molecular sciences*, 22(13), 7189.
- Qiu, W., Shao, H., Lei, P., Zheng, C., Qiu, C., Yang, M., & Zheng, Y. (2018). Immunotoxicity of bisphenol S and F are similar to that of bisphenol A during zebrafish early development. *Chemosphere*, 194, 1-8.
- Rafael Moreno-Gómez-Toledano, María I. Arenas, Carmen Muñoz-Moreno, Nuria Olea-Herrero, Paula Reventun, Adriana Izquierdo-Lahuerta, Alba Antón-Cornejo, Marta González-Santander, Carlos Zaragoza, Marta Saura, Ricardo J. Bosch. Comparison of the renal effects of bisphenol A in mice with and without experimental diabetes. Role of sexual dimorphism. *Biochimica et Biophysica Acta*. 2022, Volume 1868, Issue 1, 166296.

- Rahman, M. S., Kwon, W. S., Lee, J. S., Yoon, S. J., Ryu, B. Y., & Pang, M. G. (2015). Bisphenol-A affects male fertility via fertility-related proteins in spermatozoa. *Scientific reports*, 5(1), 1-9.
- Rahman, M. S., Pang, W. K., Ryu, D. Y., Park, Y. J., & Pang, M. G. (2020). Multigenerational and transgenerational impact of paternal bisphenol A exposure on male fertility in a mouse model. *Human Reproduction*, 35(8), 1740-1752.
- Rahman, S.; Kwon, W.-S.; Yoon, S.-J.; Park, Y.-J.; Ryu, B.-Y.; Pang, M.-G. A novel approach to assessingbisphenol-A hazards using an in vitro model system. *BMC Genom.* 2016, 17, 577. [CrossRef] [PubMed]
- Ranjit, N., Siefert, K., & Padmanabhan, V. (2010). Bisphenol-A and disparities in birth outcomes: a review and directions for future research. *Journal of Perinatology*, 30(1), 2-9.
- Reddivari, L., Veeramachaneni, D. R., Walters, W. A., Lozupone, C., Palmer, J., Hewage, M. K., & Vanamala, J. K. (2017). Perinatal bisphenol A exposure induces chronic inflammation in rabbit offspring via modulation of gut bacteria and their metabolites. *MSystems*, 2(5), e00093-17.
- Ribeiro, E., Ladeira, C., & Viegas, S. (2017). Occupational exposure to bisphenol A (BPA): a reality that still needs to be unveiled. *Toxics*, 5(3), 22.
- Richter, C. A., Birnbaum, L. S., Farabollini, F., Newbold, R. R., Rubin, B. S., Talsness, C. E., & vom Saal, F. S. (2007). In vivo effects of bisphenol A in laboratory rodent studies. *Reproductive toxicology*, 24(2), 199-224.

- Rochester JR, Bolden AL. Bisphenol S and F: A SystematicReview and Comparison of the Hormonal Activity of Bisphenol ASubstitutes. *Environ Health Perspect.* 2015;123:643-650.
- Rochester, J. R. (2013). Bisphenol A and human health: a review of the literature. *Reproductive toxicology*, 42, 132-155.
- Rogers, K.(2021)"Bisphenol A". Encyclopedia Britannica,. <https://www.britannica.com/science/bisphenol-A>
- Rubin, B. S., Murray, M. K., Damassa, D. A., King, J. C., & Soto, A. M. (2001). Perinatal exposure to low doses of bisphenol A affects body weight, patterns of estrous cyclicity, and plasma LH levels. *Environmental health perspectives*, 109(7), 675-680.
- S. Khan, S. Beigh, B. P. Chaudhari et al., "Mitochondrial dysfunction induced by Bisphenol A is a factor of its hepatotoxicityin rats," Environmental Toxicology, vol. 31, no. 12,pp. 1922–1934, 2016.
- Sadighara, P., Jahed Khaniki, G., Baseri, E., Dehghani, M. H., Barin, A., & Mazaheri Nezhad Fard, R. (2013). Effect of bisphenol A on the quality characteristics of meat in a chicken embryo model. *Sci Int*, 1(11), 375-378.
- Salehpour, A., Shidfar, F., Hedayati, M., Farshad, A. A., Tehrani, A. N., & Mohammadi, S. (2021). Molecular mechanisms of vitamin D plus Bisphenol A effects on adipogenesis in human adipose-derived mesenchymal stem cells. *Diabetology & Metabolic Syndrome*, 13(1), 1-9.
- Sangai, N. P., Verma, R. J., & Trivedi, M. H. (2014). Testing the efficacy of quercetin in mitigating bisphenol A toxicity in liver and kidney of mice. *Toxicology and industrial health*, 30(7), 581-597.

- Sangai, N.P., Verma, R.J., Trivedi, M.H., (2012). Testing theefficacy of quercetin in mitigating bisphenol A toxicity in liver and kidney of mice. *Toxicology and IndustrialHealth.*599 : 66-80.
- Sashihara, K., Yamashita, T., Takagi, T., Nakanishi, T., & Furuse, M. (2003). Effects of intrayolk injection of bisphenol A on hatchability and sex ratio in chickens. *Journal of Applied Animal Research,* 24(2), 113-122.
- Shao, B., Han, H., Li, D., Ma, Y., Tu, X., & Wu, Y. (2007). Analysis of alkylphenol and bisphenol A in meat by accelerated solvent extraction and liquid chromatography with tandem mass spectrometry. *Food chemistry,* 105(3), 1236-1241.
- Sharma, N., Arora, S., & Madan, J. (2017). UV-Visible Spectrophotometry Method Validation for Analysis of Nefopam HCl in Poly-3-Hydroxybutyrate and Poly-ε-Caprolactone Microspheres. *Inter J Chem Tech Res,* 10(6), 74-280.
- Shewita, R. S., & Ahmed, H. A. (2015). Influence of dietary phytase and multiple enzymes supplementations on growth performance, carcass characteristics and immune response in Japanese quail. *American Journal of Life Science Researches,* 3(1).
- Skledar DG, Schmidt J, Fic A, Klopčič I, Trontelj J, Dolenc MS, Finel M, Mašič LP. Influence of metabolism on endocrine activities of bisphenol S. *Chemosphere.* 2016;157:152-159.
- Staples, C. A., Dome, P. B., Klecka, G. M., Oblock, S. T., & Harris, L. R. (1998). A review of the environmental fate, effects, and exposures of bisphenol A. *Chemosphere,* 36(10), 2149-2173.
- Stump, D. G., Beck, M. J., Radovsky, A., Garman, R. H., Freshwater, L. L., Sheets, L. P., & Hentges, S. G. (2010). Developmental

- neurotoxicity study of dietary bisphenol A in Sprague-Dawley rats. *Toxicological Sciences*, 115(1), 167-182.
- Suvarna, S. K., Layton, C., & Bancroft, J. D. (2013). Theory and practice of histological techniques. *Pbl. London, Churchill Livingstone, Elsiver*, 173-187.
- Suvarna, S., Das, U., Kc, S., Mishra, S., Sudarshan, M., Saha, K. D., ... & Narayana, Y. (2017). Synthesis of a novel glucose capped gold nanoparticle as a better theranostic candidate. *PloS one*, 12(6), e0178202.
- Świątkiewicz, S., Arczewska-Włosek, A., Bederska-Lojewska, D., & Józefiak, D. (2017). Efficacy of dietary vitamin D and its metabolites in poultry-review and implications of the recent studies. *World's Poultry Science Journal*, 73(1), 57-68.
- Takahashi, O., & Oishi, S. (2003). Testicular toxicity of dietarily or parenterally administered bisphenol A in rats and mice. *Food and chemical toxicology*, 41(7), 1035-1044.
- Tamschick, S., Rozenblut-Kościsty, B., Ogielska, M., Kekenj, D., Gajewski, F., Krüger, A., & Stöck, M. (2016). The plasticizer bisphenol A affects somatic and sexual development, but differently in pipid, hylid and bufonid anurans. *Environmental Pollution*, 216, 282-291.
- Teppala, S., Madhavan, S., & Shankar, A. (2012). Bisphenol A and metabolic syndrome: results from NHANES. *International journal of endocrinology*, 2012.
- Tohei, A., Suda, S., Taya, K., Hashimoto, T., & Kogo, H. (2001). Bisphenol A inhibits testicular functions and increases luteinizing hormone secretion in adult male rats. *Experimental biology and medicine*, 226(3), 216-221.

- Tominaga, T., Negishi, T., Hirooka, H., Miyachi, A., Inoue, A., Hayasaka, I., & Yoshikawa, Y. (2006). Toxicokinetics of bisphenol A in rats, monkeys and chimpanzees by the LC-MS/MS method. *Toxicology*, 226(2-3), 208-217.
- Tonini, C., Segatto, M., Bertoli, S., Leone, A., Mazzoli, A., Cigliano, L., & Pallottini, V. (2021). Prenatal exposure to BPA: The effects on hepatic lipid metabolism in male and female rat fetuses. *Nutrients*, 13(6), 1970.
- Vaishya, R., Vijay, V., Agarwal, A. K. and Jahangir, J. (2015). Esurgence of vitamin D: Old wine in new bottle. *Journal of clinical orthopaedics and trauma*, 6(3), 173-183.
- Vandenberg, L. N., Chahoud, I., Heindel, J. J., Padmanabhan, V., Paumgartten, F. J., & Schoenfelder, G. (2010). Urinary, circulating, and tissue biomonitoring studies indicate widespread exposure to bisphenol A. *Environmental health perspectives*, 118(8), 1055-1070.
- Vandenberg, L. N., Chahoud, I., Heindel, J. J., Padmanabhan, V., & Paumgartten, F. J. R. (2012). Urinary, Circulating, and Tissue Biomonitoring Studies Indicate Widespread Exposure to Bisphenol A. *Ciência & Saúde Coletiva*.
- Vandenberg, L. N., Hauser, R., Marcus, M., & Olea, N. (2007). Welshons WV2007 Human exposure to bisphenol A (BPA). *Reprod Toxicol*, 24(2), 139-177.
- Vandenberg, L. N., Maffini, M. V., Sonnenschein, C., Rubin, B. S., & Soto, A. M. (2009). Bisphenol-A and the great divide: a review of controversies in the field of endocrine disruption. *Endocrine reviews*, 30(1), 75-95.
- Völkel, W., Colnot, T., Csanády, G. A., Filser, J. G., & Dekant, W. (2002). Metabolism and kinetics of bisphenol A in humans at low

- doses following oral administration. *Chemical research in toxicology*, 15(10), 1281-1287.
- Vom Saal, F. S., Nagel, S. C., Coe, B. L., Angle, B. M., & Taylor, J. A. (2012). The estrogenic endocrine disrupting chemical bisphenol A (BPA) and obesity. *Molecular and cellular endocrinology*, 354(1-2), 74-84.
- Voulgaris, N., Papanastasiou, L., Piaditis, G., Angelousi, A., Kaltsas, G., Mastorakos, G., & Kassi, E. (2017). Vitamin D and aspects of female fertility. *Hormones*, 16(1), 5-21.
- Wang, K.; Zhao, Z., and Ji, W. (2019). Bisphenol A induces apoptosis, oxidative stress and inflammatory response in colon and liver of mice in a mitochondria-dependent manner. *Biomedicine and Pharmacotherapy*. 117. 109182.
- Wang, M., Cao, R., Zhang, L., Yang, X., Liu, J., Xu, M., & Xiao, G. (2020). Remdesivir and chloroquine effectively inhibit the recently emerged novel coronavirus (2019-nCoV) in vitro. *Cell research*, 30(3), 269-271.
- Watanabe, S., Wang, R. S., Miyagawa, M., Kobayashi, K., Suda, M., Sekiguchi, S., & Honma, T. (2003). Imbalance of testosterone level in male offspring of rats perinatally exposed to bisphenol A. *Industrial health*, 41(4), 338-341.
- Williams, C., Bondesson, M., Krementsov, D. N., & Teuscher, C. (2014). Gestational bisphenol A exposure and testis development. *Endocrine disruptors*, 2(1), e29088.
- Yang, X., Doerge, D. R., Teeguarden, J. G., & Fisher, J. W. (2015). Development of a physiologically based pharmacokinetic model for assessment of human exposure to bisphenol A. *Toxicology and applied pharmacology*, 289(3), 442-456.

- Yonekubo, J., Hayakawa, K., & Sajiki, J. (2008). Concentrations of bisphenol A, bisphenol A diglycidyl ether, and their derivatives in canned foods in Japanese markets. *Journal of agricultural and food chemistry*, 56(6), 2041-2047.
- Yonghua, H-E., Maohua, M., Chunhua, W-U., Wei, Y., Ersheng, G., Zhijun, Z., De-Kun, L., 2009. Occupational exposure levels of bisphenol A among Chinese workers. *J. Occup. Health* 51,432–436.
- Yoshida, T., Horie, M., Hoshino, Y., Nakazawa, H., Horie, M., & Nakazawa, H. (2001). Determination of bisphenol A in canned vegetables and fruit by high performance liquid chromatography. *Food Additives & Contaminants*, 18(1), 69-75.
- Z. H. Ke, J. X. Pan, L. Y. Jin et al., "Bisphenol A exposure may induce hepatic lipid accumulation via reprogramming the DNA methylation patterns of genes involved in lipid metabolism," *Scientific Reports*, vol. 6, no. 1, 2016.
- Zeinab, K., Hassan, Z., Elobeid, M., Virk, P., Omer, S., ElAmin, M., Daghestani, M., Ebtisam, M., Al Olayan, E., 2012. Bisphenol A induces hepatotoxicity through oxidative stress in rat model. *Oxidative Med. Cell. Longevity*, <http://dx.doi.org/10.1155/2012/194829>.
- Zenata O, Dvorak Z, Vrzal R. Profiling of bisphenol S towards nuclear receptors activities in human reporter cell lines. *Toxicol Lett.* 2017;281:10-19.
- Zincke T (1905). "Ueber die Einwirkung von Brom und von Chlor auf Phenole: Substitutionsprodukte, Pseudobromide und Pseudochloride". *Justus Liebig's Annalen der Chemie* 343: 75–99. doi: 10.1002/jlac.19053430106.

Abstract

This study was planned in order to identify the pathological and productive changes caused by Bisphenol A in broilers. In the primary study, eight males of one-day-old rose broiler chicks, weighing 40 g, were used to determine the median LD₅₀ of bisphenol A by oral administration and within 24 hours, and the up-and-down technique was used for this purpose, which determined the median lethal dose at 367.41 mg/kg body weight. body at one day old.

In this study, 112 broiler chicks of one day old, heterozygous, were used, which were divided into four groups (28 chicks for each group). At a dose of 183.71 mg / kg of body weight at a concentration of 5% of the lethal median dose, and the third group dosed 367.41 mg / kg of body weight at a concentration of 10%, and the fourth group dosed 734.82 mg / kg of body weight at a concentration of 20%, oral dose at a rate of three times per week for a period of twenty-eight days, and at the beginning of each week, productivity parameters such as the weights of chicks per week for all groups were taken, then seven chicks from each group were killed, blood samples were collected in tubes for the purpose of measuring the concentration of vitamin D₃, and the organs included in the pathological study were collected from the liver and kidney. Organs were fixed in 10% round-neutral formalin solution, and samples were taken from moist muscle tissue for the purpose of estimating the bisphenol-A concentration in broiler tissue.

The results of the current study showed that the average weekly weight of the dosed groups decreased in the average weekly weight compared to the control group and in all weeks, except for the first day,

no significant difference was observed between the dosed groups and the control group.

Regarding the effect of bisphenol A on the average relative weight of the liver in broilers, the results of the study indicated that the relative weight of the liver in the control group did not record significant differences between it and the three groups treated with bisphenol A in the first, second, third and fourth weeks.

The results of the relative weight of the kidney were also observed during the experiment period for the control group compared with all groups, no significant difference was recorded for the dosed groups and with the control group and during the first, second, third and fourth weeks of the experiment.

The results of the current study indicated that the concentration of vitamin D3 in the serum was significantly higher in the groups dosed with bisphenol A when compared with the control group in the first week, and there was a significant difference between the second, third, third and fourth group, and in the second, third and fourth weeks, and with the advancing age of the experiment.

As for the concentration of bisphenol A in muscle tissue, the results indicated that there were significant differences in the concentration of the dosed substance between the control group and the treated groups.
Experience.

The results of the histopathological study indicated the emergence of pathological lesions in the tissues of both the liver and the kidney, where it was observed in the tissue of the kidney the presence of degenerative pathological changes on the seventh day with the spread of vacuolar degeneration as well as a slight infiltration of inflammatory cells, and on

the fourteenth day the presence of thrombotic necrosis and foggy cell swelling was observed. On the twenty-first day, a dense infiltration of mononuclear inflammatory cells, especially lymphocytes, was observed, with a clear spread of thrombotic necrosis in the kidney tissue. As for the liver tissue, on the seventh day, the histological sections showed the presence of vacuolar degeneration in a number of hepatocytes, while on the fourteenth day it was observed the spread of vacuolar degeneration and necrosis of hepatocytes around the central vein. For mononuclear inflammatory cells in the liver tissue and around the portal area and on the 28th day only bile duct hyperplasia with vacuolar degeneration of hepatocytes was observed.

We conclude from the current study that the treatment of bisphenol A for broilers in poultry for a period of twenty-eight days at a different dosage and at a concentration of 20% 10% 5% for three times a week caused changes in the weekly weight of broilers, with small histopathological changes in both liver and kidney tissue. And there is no difference in relative weights in both the liver and kidney. In addition, the concentration of bisphenol A in the muscles increased with the age of the experiment, which was accompanied by a rise in the concentration of vitamin D3 in the serum with an increase in the dose.

Effect of using different levels of Bisphenol A on some productive and histopathological characteristics in broilers

A Thesis submitted

By

Eman Younis Saleem

To

The Council of the College of Veterinary Medicine
University Mosul

In

Partial Fulfillment of Requirement
For the Degree of Master of Science

In

Veterinary Medicine / Poultry Diseases

Supervised by professor

Dr. Saevan Saad AL-Mahmood

University of Mosul
College of Veterinary Medicine



Effect of using different levels of Bisphenol A on some productive and histopathological characteristics in broilers

Eman Younis Saleem

M.Sc. / Thesis
Veterinary Medicine / Poultry Diseases

Supervised by professor

Dr. Saevan Saad AL-Mahmood

